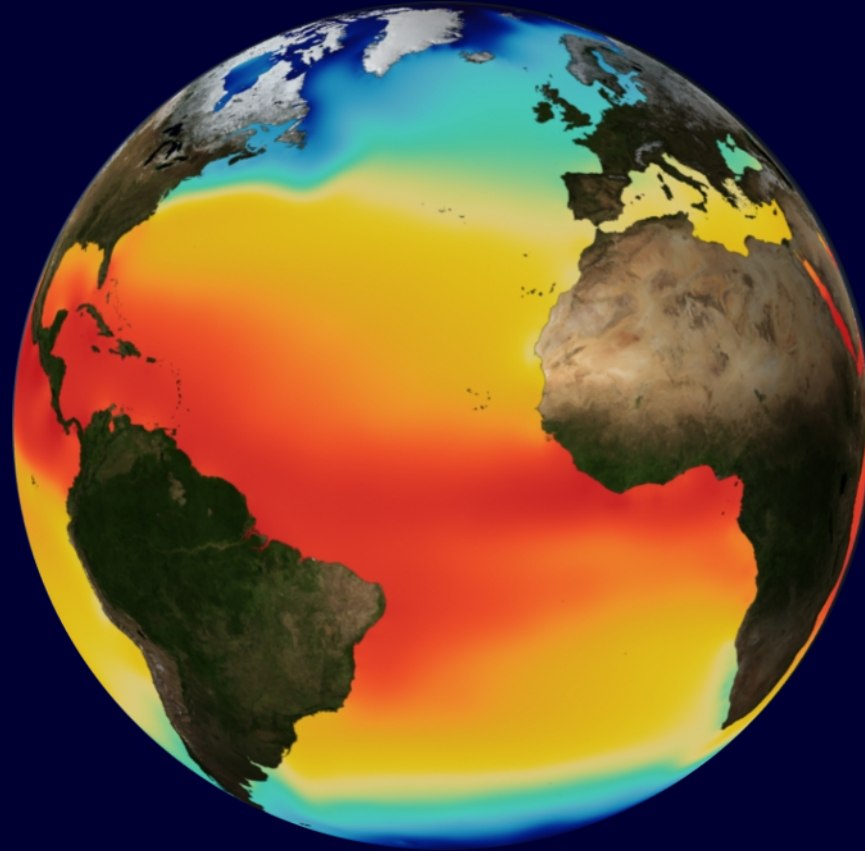


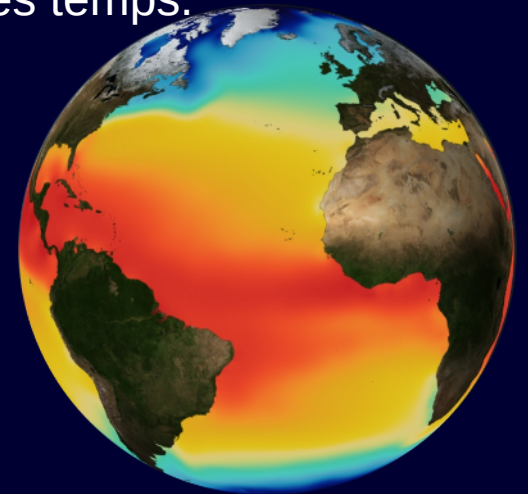
# Océan et Océanographie, session 2

## La circulation océanique et la dynamique de l'océan



# Océan et Océanographie, session 2

- Circulation thermohaline et/ou circulation méridienne de retournement.
- Description des Océans.
  - Océan Austral/Antarctique.
  - Océan Atlantique.
  - Océan Indien.
  - Océan Pacifique.
- Flux de chaleurs : Interaction océan/atmosphère.
- Autres échelles dans la dynamique de l'océan.
  - Circulation à mésoéchelle.
  - NAO : Oscillation Nord-Atlantique.
  - Oscillation atlantique multidécennale
  - Ondes de Rossby et ondes de Kelvin.
  - Interactions Océan/atmosphère à longues échelles des temps.
- «Autovariation » du système planétaire.



Circulation thermohaline et/ou circulation méridienne de retournement

# Circulation thermohaline et/ou circulation méridienne de retournement

« **Thermo** » pour température et « **halin** » pour sel.

La **circulation thermohaline**, appelée aussi circulation océanique profonde, est la circulation globale de l'océan engendrée par les différences de densité de l'eau de mer, à l'origine de courants marins de profondeur.

Elle résulte principalement du contraste thermique et salin entre les hautes et les basses latitudes. Les mélanges turbulents liés au vent et aux marées y jouent aussi un rôle, notamment dans la remontée des eaux profondes.

Progressivement, la notion de circulation méridienne de retournement s'est substituée à celle de circulation thermohaline.

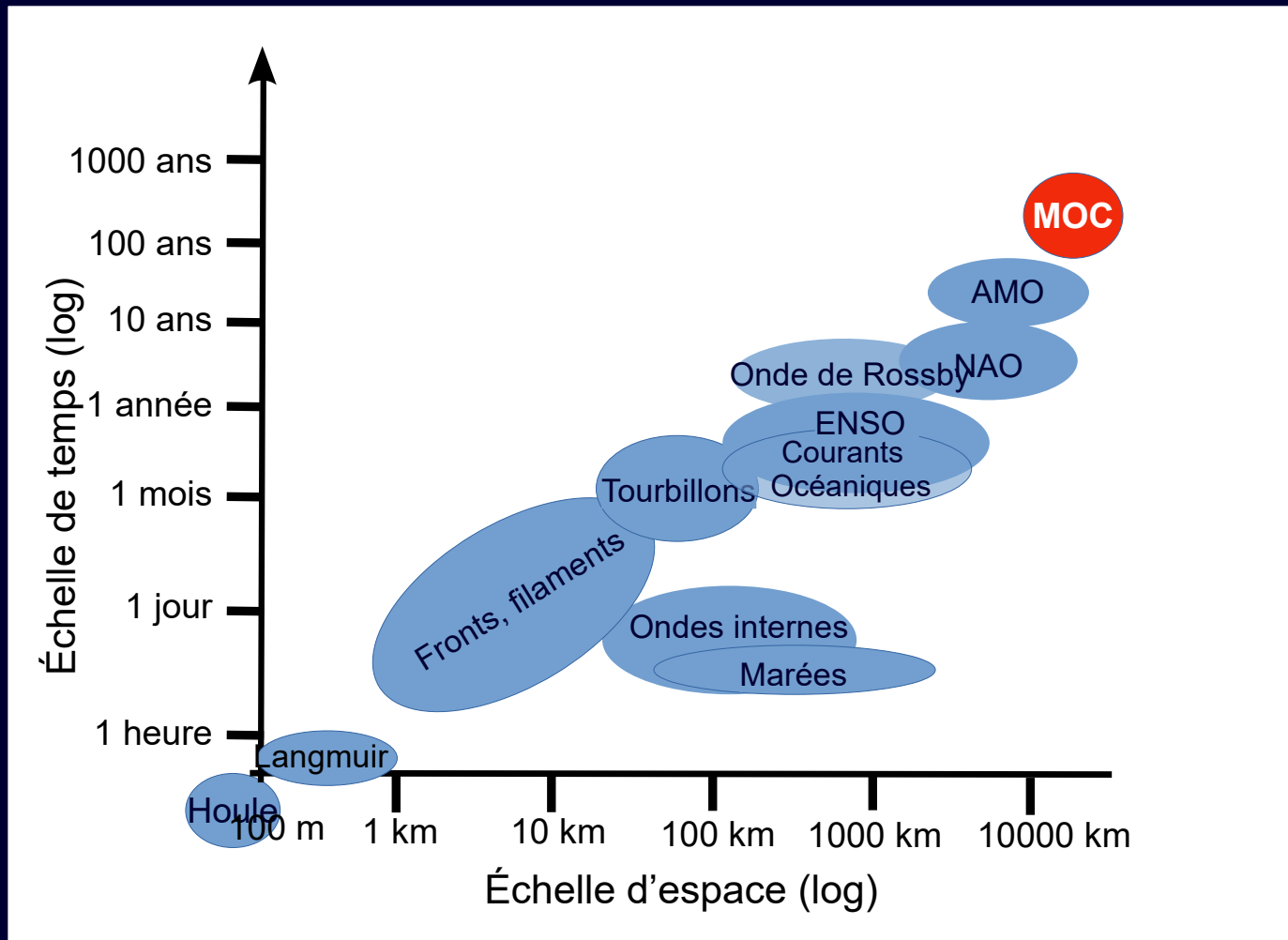
**Circulation méridienne de retournement**  
**Meridional Overturning Circulation ou MOC**

# Une question d'actualité ?

The screenshot shows the 'franceinfo' website interface. At the top, there are navigation links for 'vidéos', 'radio', 'it', 'magazines', and 'DIRECT TV'. The main header features the 'SCIENCE&VIE' logo and a search bar. Below this, there are several menu items: 'LE MAGAZINE ESP', 'MA VILLE', 'SPORT', 'FAITS DIVERS', 'ACTU', and 'LOISIRS'. A weather forecast section is visible, including 'Midi Libre', 'RÉPUBLIQUE FRANÇAISE', and 'METEO FRANCE'. A prominent article titled 'Support the Guardian' is displayed, with the text 'Available for everyone, funded by readers' and a 'Support us' button. Below this, there are navigation tabs for 'News', 'Opinion', 'Sport', and 'Cul'. The article snippet includes the text 'The Conversation Climate crisis' and 'Why the collapse of ocean current of Niña becomes t...'. At the bottom, there is a small image of a storm with the text 'Tempêtes, bais'.

The movie poster for 'The Day After Tomorrow' features a dramatic scene of a city, likely New York City, with the Empire State Building prominently visible. The sky is dark and stormy, with heavy rain falling. The text at the top of the poster reads 'OÙ SEREZ-VOUS LE JOUR D'APRÈS ?'. Below the image, the title 'THE DAY AFTER TOMORROW' is written in large, bold, white letters. Underneath the title, it says 'PAR LE RÉALISATEUR DE "INDEPENDENCE DAY"'. At the bottom, the release information 'SORTIE MONDIALE LE 28 MAI' is displayed. The poster also includes the names of the director, Roland Emmerich, and the main cast members: Dennis Quaid, Jake Gyllenhaal, Ian Holm, Emily Procter, Sela Ward, Harbala Krysar, and Thomas M. Hammel. The logos for Twentieth Century Fox, Centropolis Entertainment, and Fox France are visible at the bottom.

# Circulation thermohaline et/ou circulation méridienne de retournement



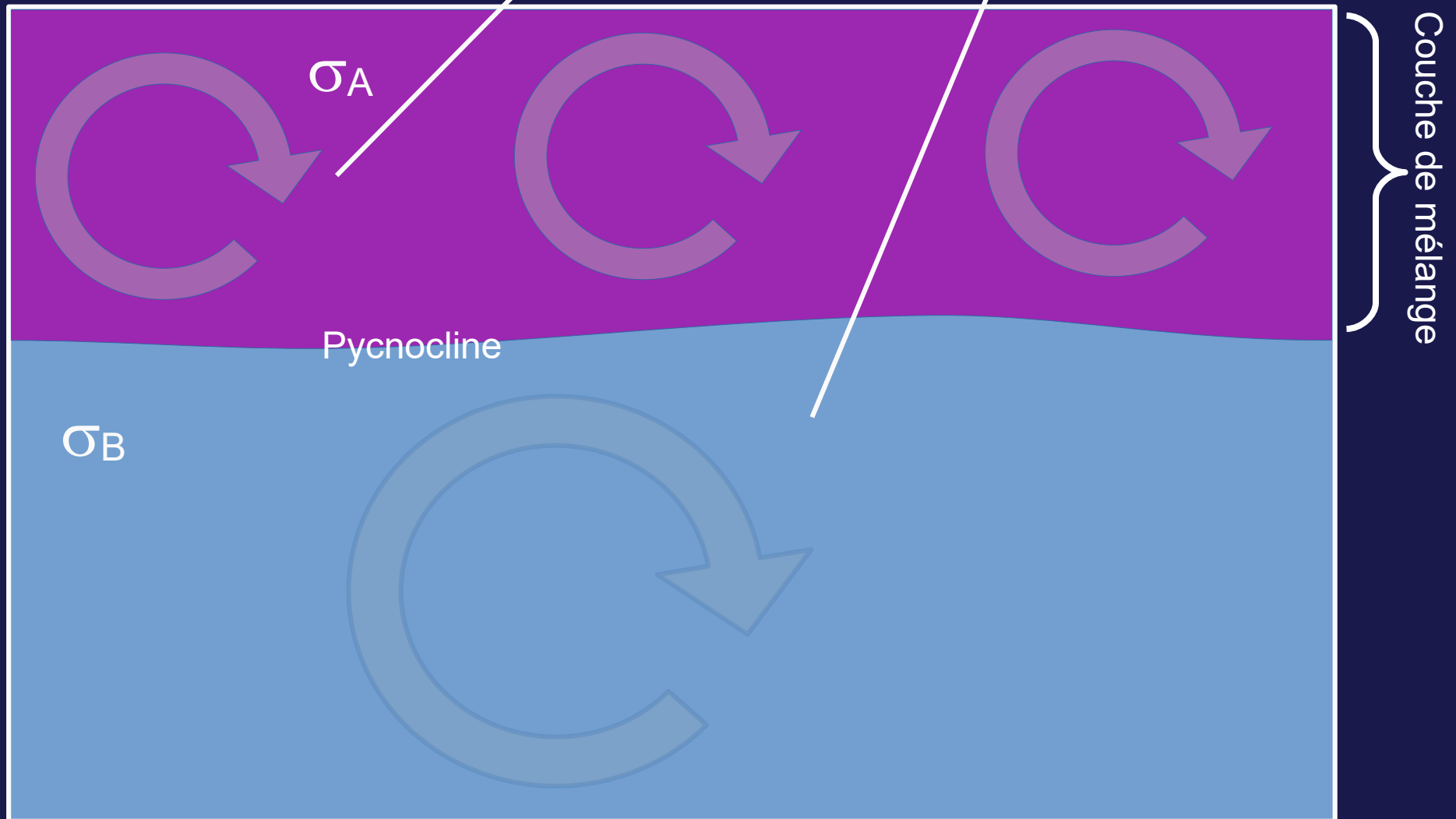
Échelles de temps et d'espace de composants de la dynamique physique de l'océan

Masse d'eau : plongée liée à la densité, stade 1

$$\sigma_A < \sigma_B$$

Couche A  
d'eau de surface

Couche B  
d'eau en profondeur

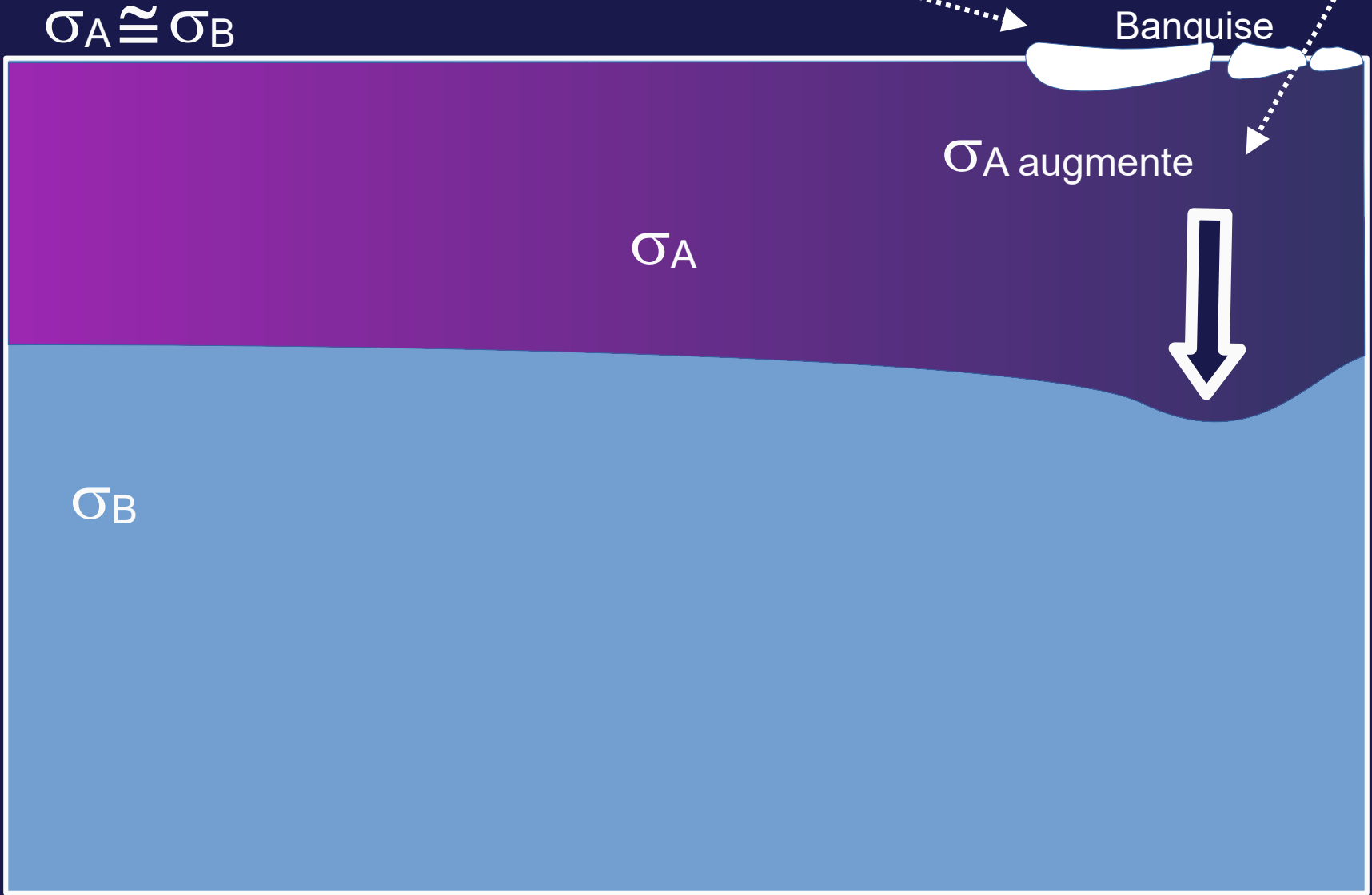


# Masse d'eau : plongée liée à la densité, stade 2

Refroidissement par évaporation et/ou augmentation de la salinité par formation de banquise :  
Augmentation de la densité



$$\sigma_A > \sigma_B$$

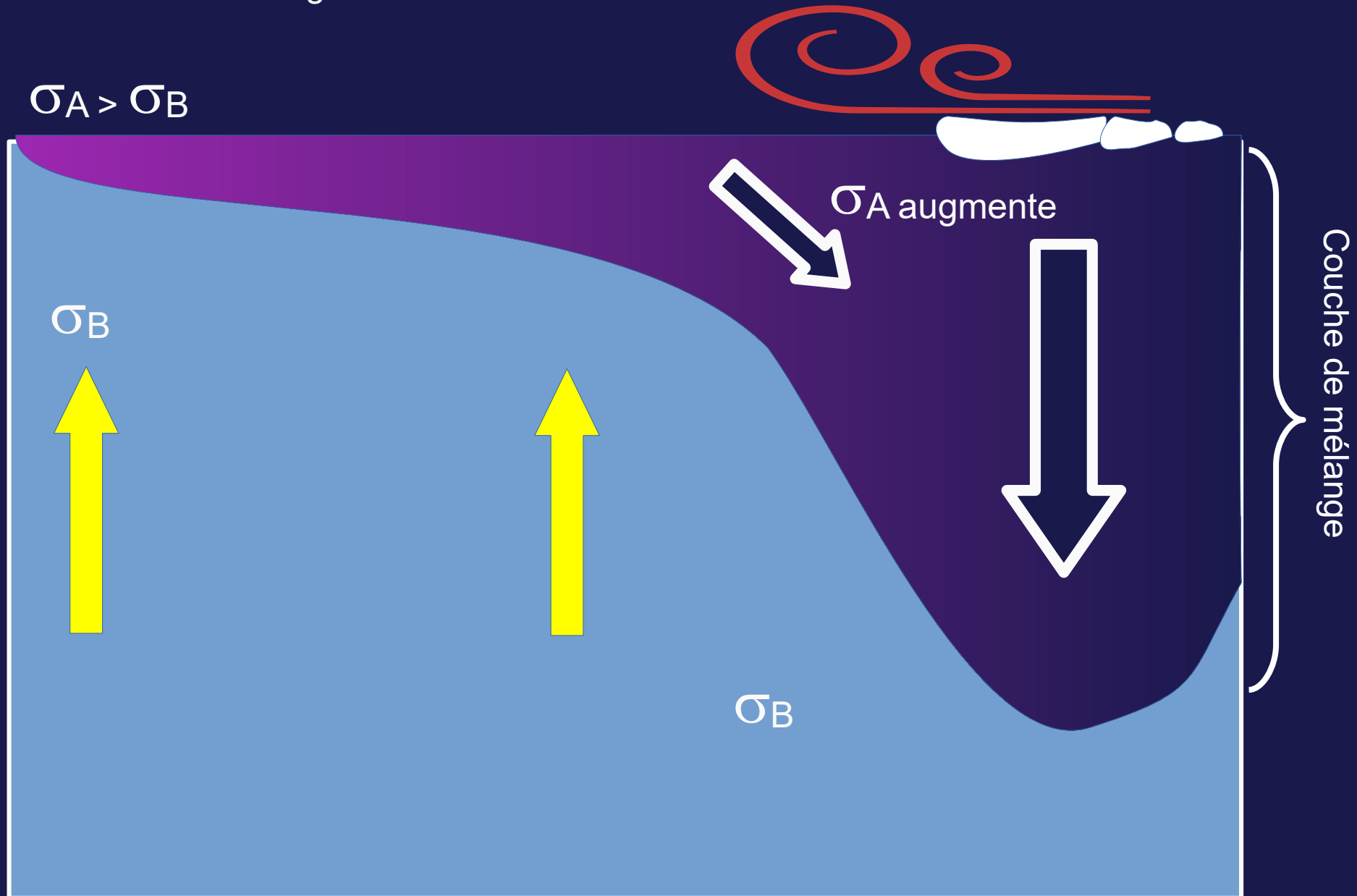


Couche de mélange

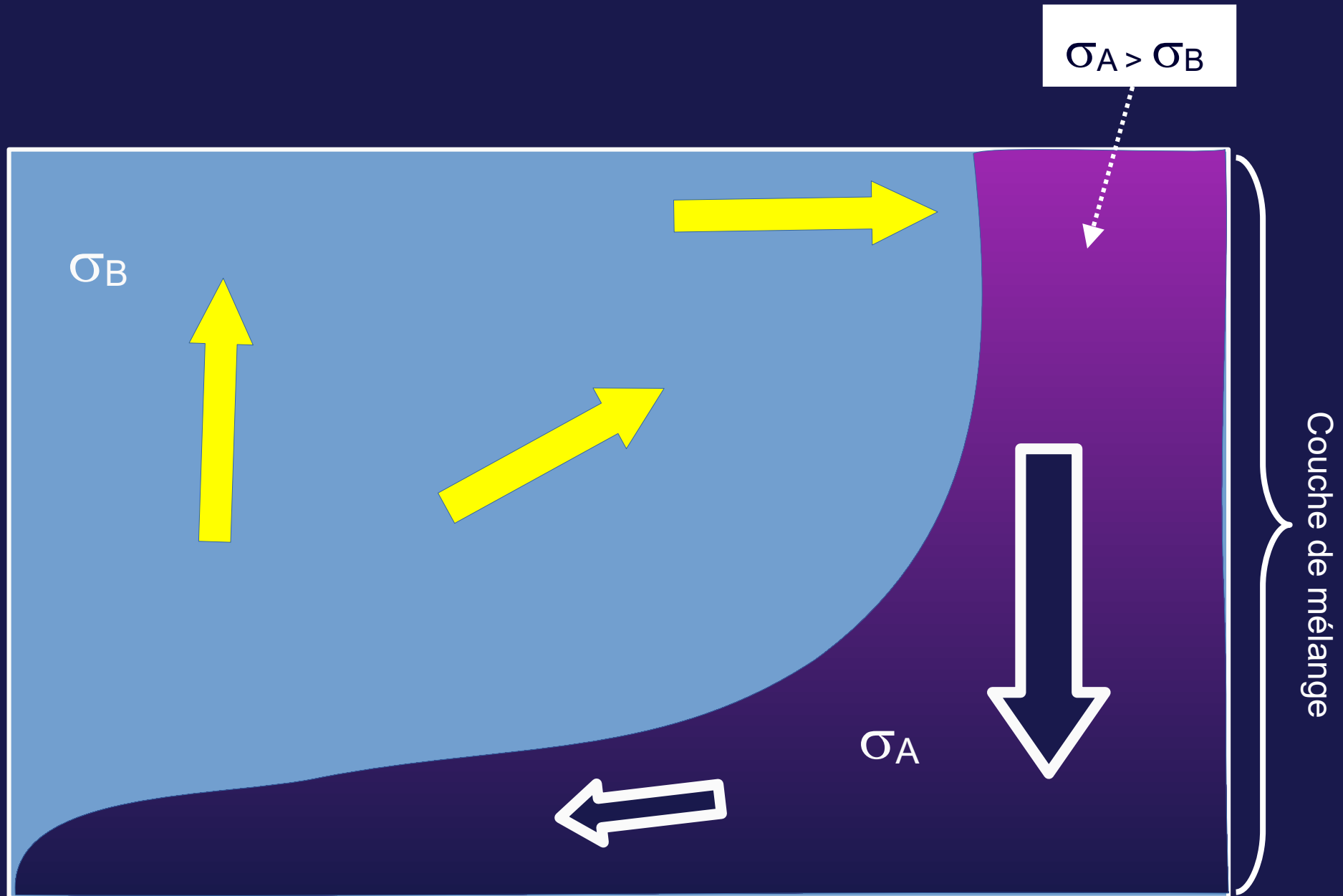


# Masse d'eau : plongée liée à la densité, stade 3

Refroidissement et/ou augmentation de la salinité :  
Augmentation de la densité en surface

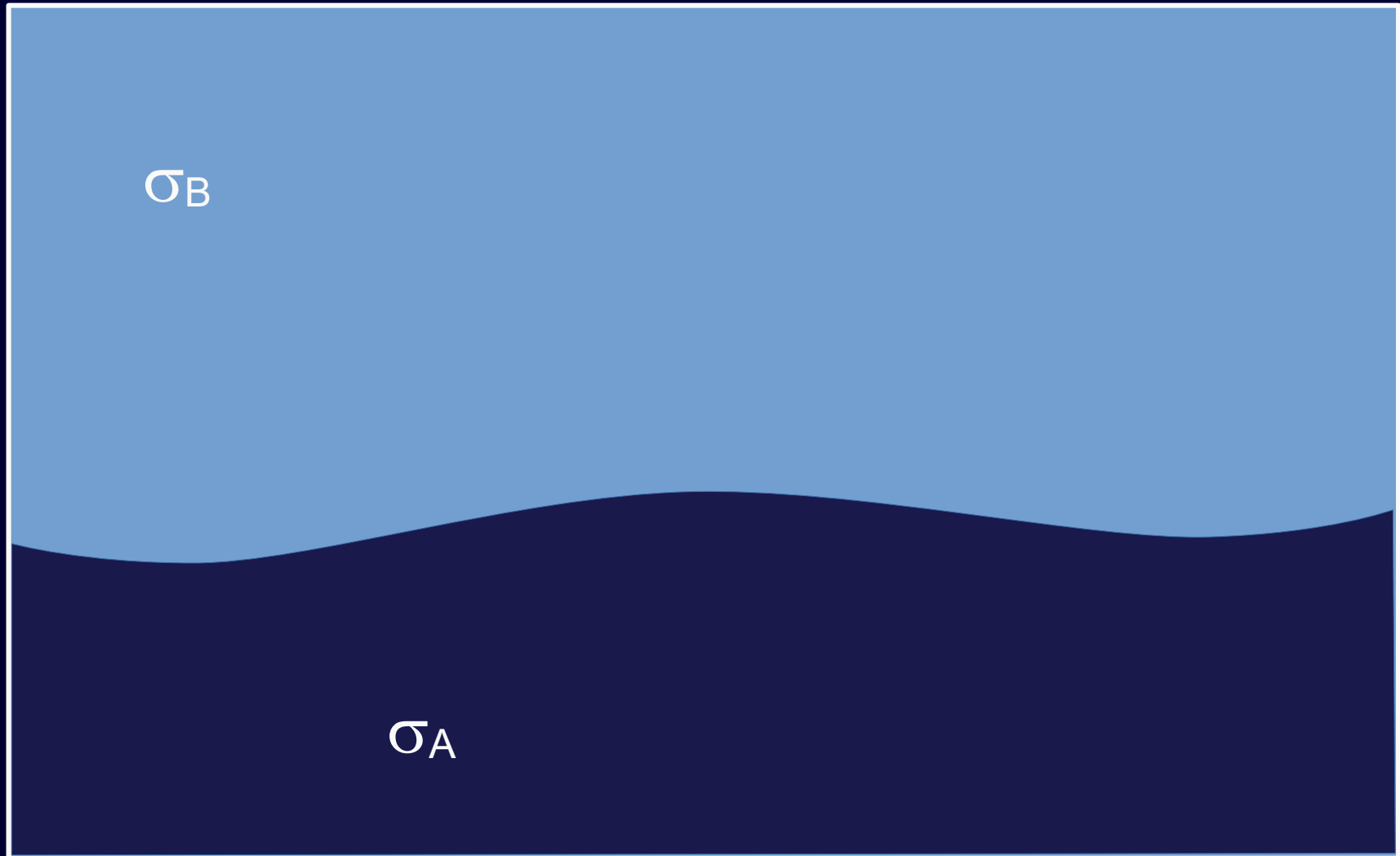


Masse d'eau : plongée liée à la densité, stade 4



Masse d'eau : plongée liée à la densité, stade 5

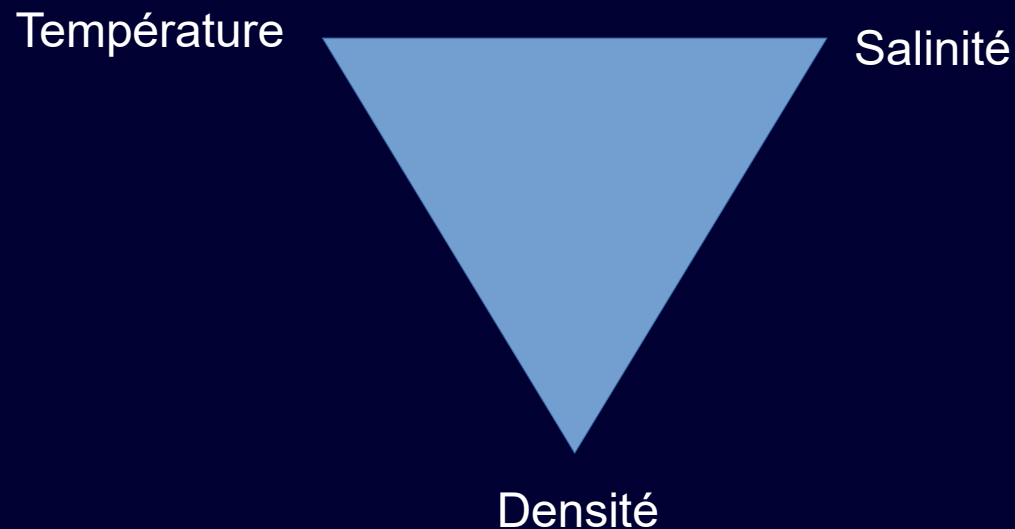
$$\sigma_A > \sigma_B$$



# Température, salinité, glace et densité

Une petite digression à une petite échelle spatiale :  
le cas des «*brinicles*»\*

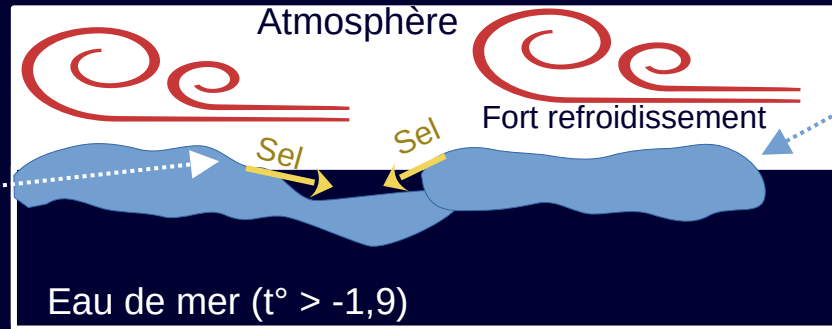
Ou nous verrons le triangle infernal en action



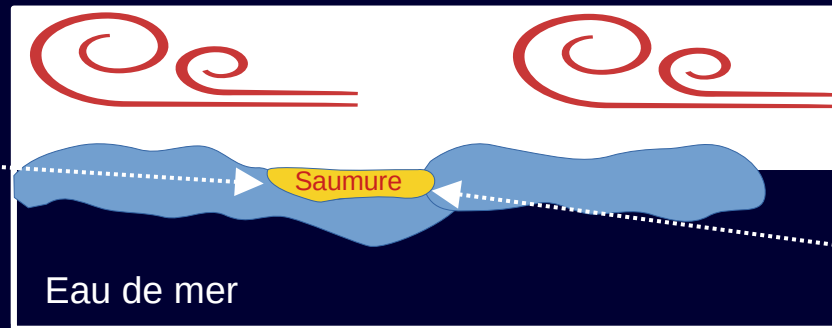
\* de «brine» (saumure) et «icicle» (stalactite de glace)

# Formation de glace, salinité, densité : petit film sur une « brinicle »

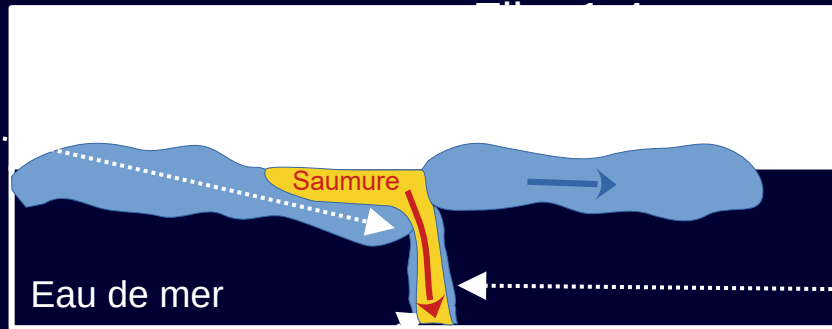
Formation de la banquise : eau de mer gèle en expulsant de la saumure



Formation de marres de saumure, très froides et très salées



Une faille dans la banquise permet à la saumure de s'échapper



Banquise



<https://www.dailymotion.com/video/xmjlio>

Augmentation de la salinité abaisse le point de congélation

la saumure, très salée, très froide et donc très dense, coule en gelant l'eau de mer à son contact

Une brinicle, surnommée le doigt glacé de la mort, contraction de «brine» (saumure) et «icicle» (stalactite de glace) est une stalactite de glace qui se forme dans l'eau de mer lorsqu'un flux d'eau salée (saumure) extrêmement froid se déverse des banquises.

# Plongée d'eaux profondes

Cela se produit dans des zones particulières, avec une importance très variable

Cela est dû aux actions de différentes causes souvent conjointes :

- + Refroidissement de surface
- + Évaporation
- + Formation de glace de mer

Zones de plongée d'eaux profondes contribuant à la MOC

Dans l'hémisphère nord :

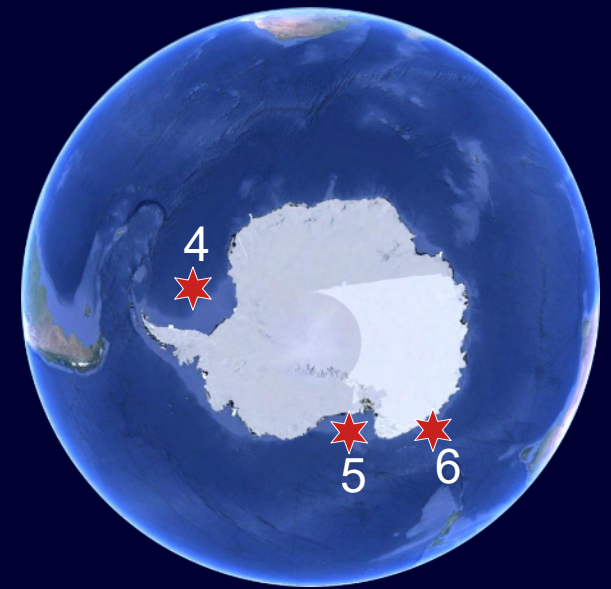
- La zone sud du Groenland (1),
- La mer de Norvège (2),
- La mer du Groenland (3).

Dans l'hémisphère sud :

- La mer de Wedell (4),
- La mer de Ross (5),
- La zone du glacier Mertz (6).

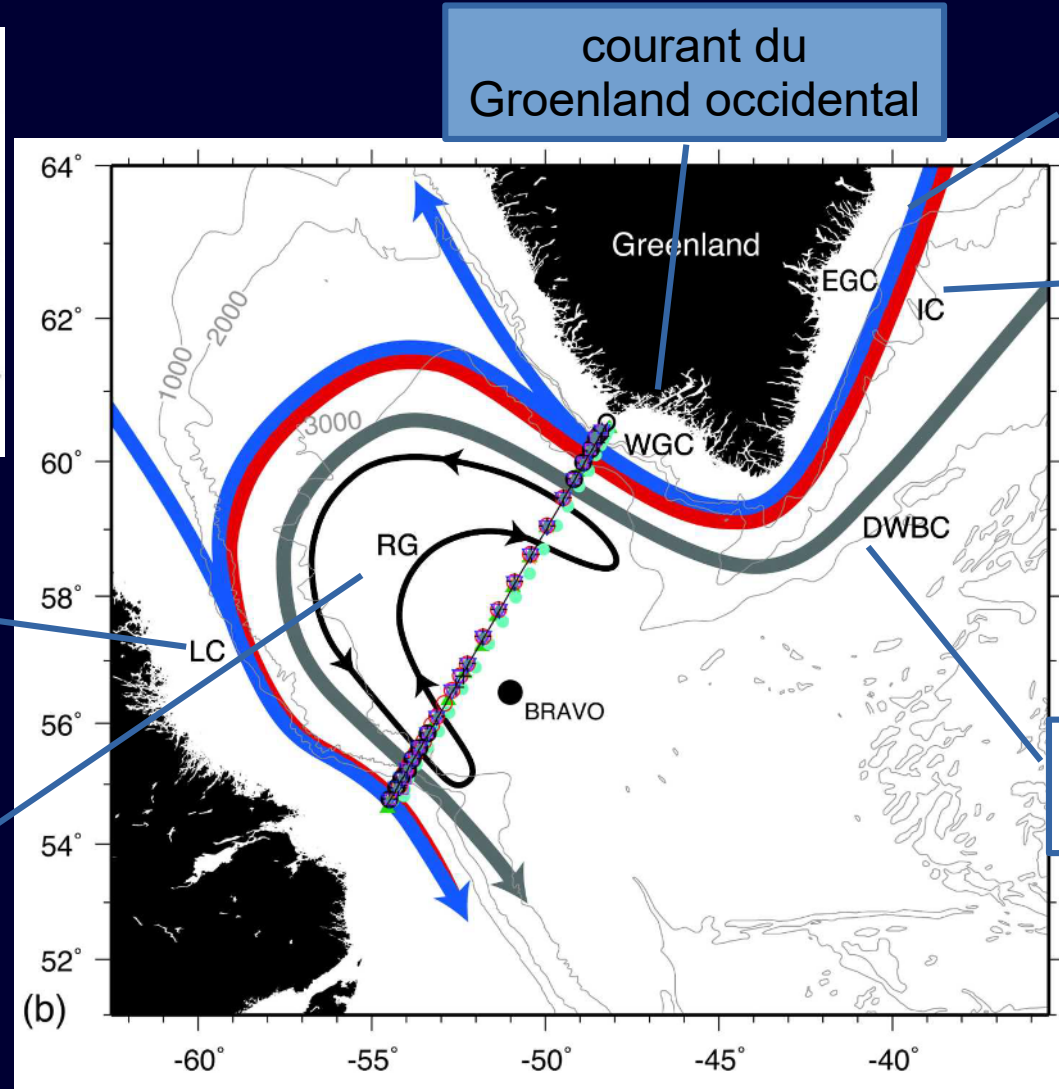
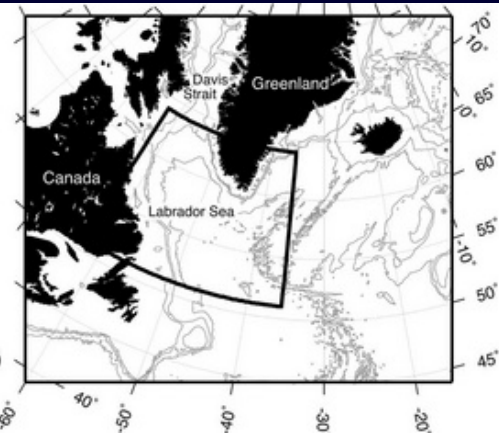


Hémisphère nord



Hémisphère sud

# Exemple de formation d'eaux denses : le sud du Groenland



courant du Groenland occidental

courant du Groenland oriental

courant d'Irminger

courant du Labrador

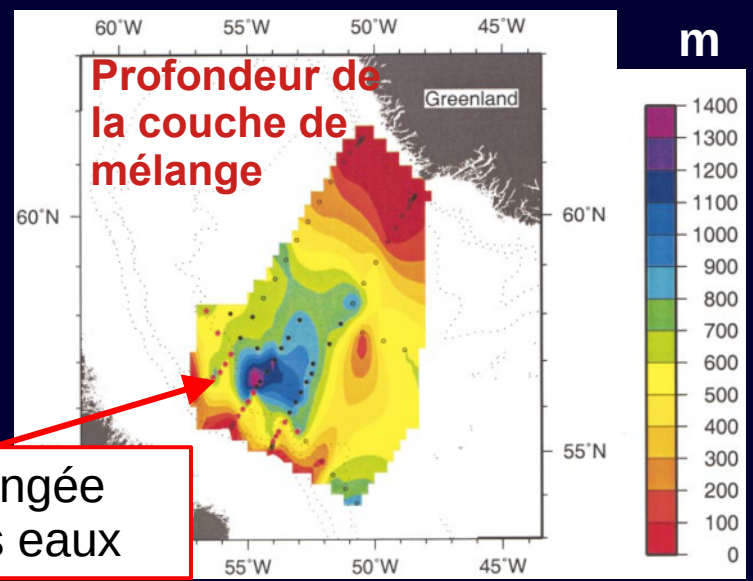
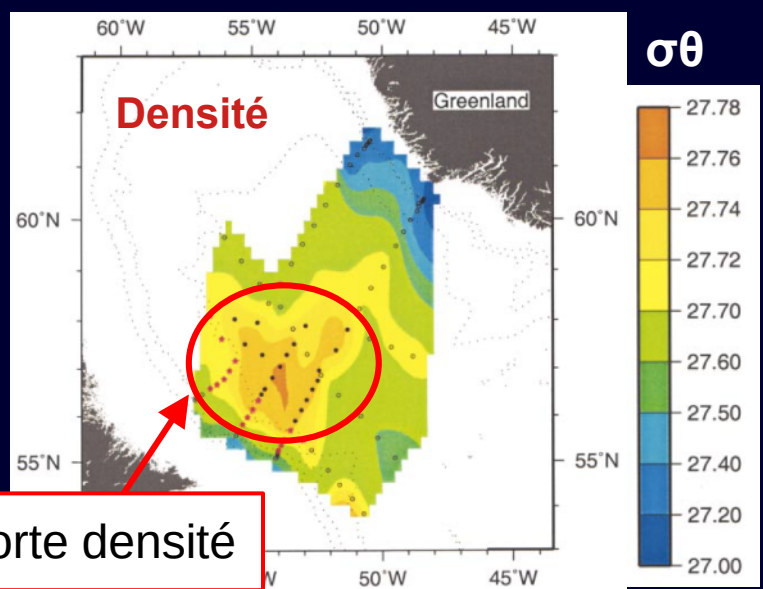
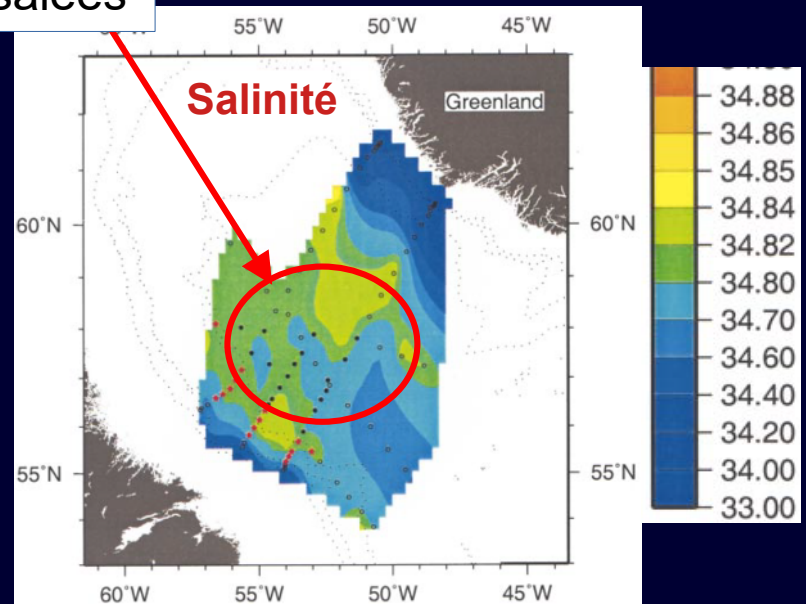
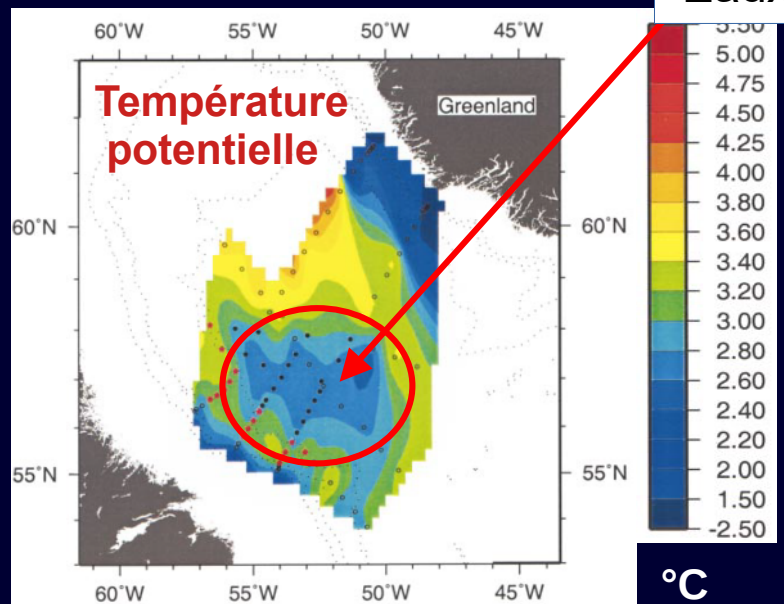
gyre cyclonique

courant profond ouest

Pickart, R. S. & Torres, D. J. Hydrography of the Labrador Sea during Active Convection. *Journal of Physical Oceanography* 32, (2002).  
Pickart, R. S. & Spall, M. A. Impact of Labrador Sea Convection on the North Atlantic Meridional Overturning Circulation. *Journal of Physical Oceanography* 37, (2007).

# Formation d'eaux denses au sud du Groenland

Eaux froides et salées

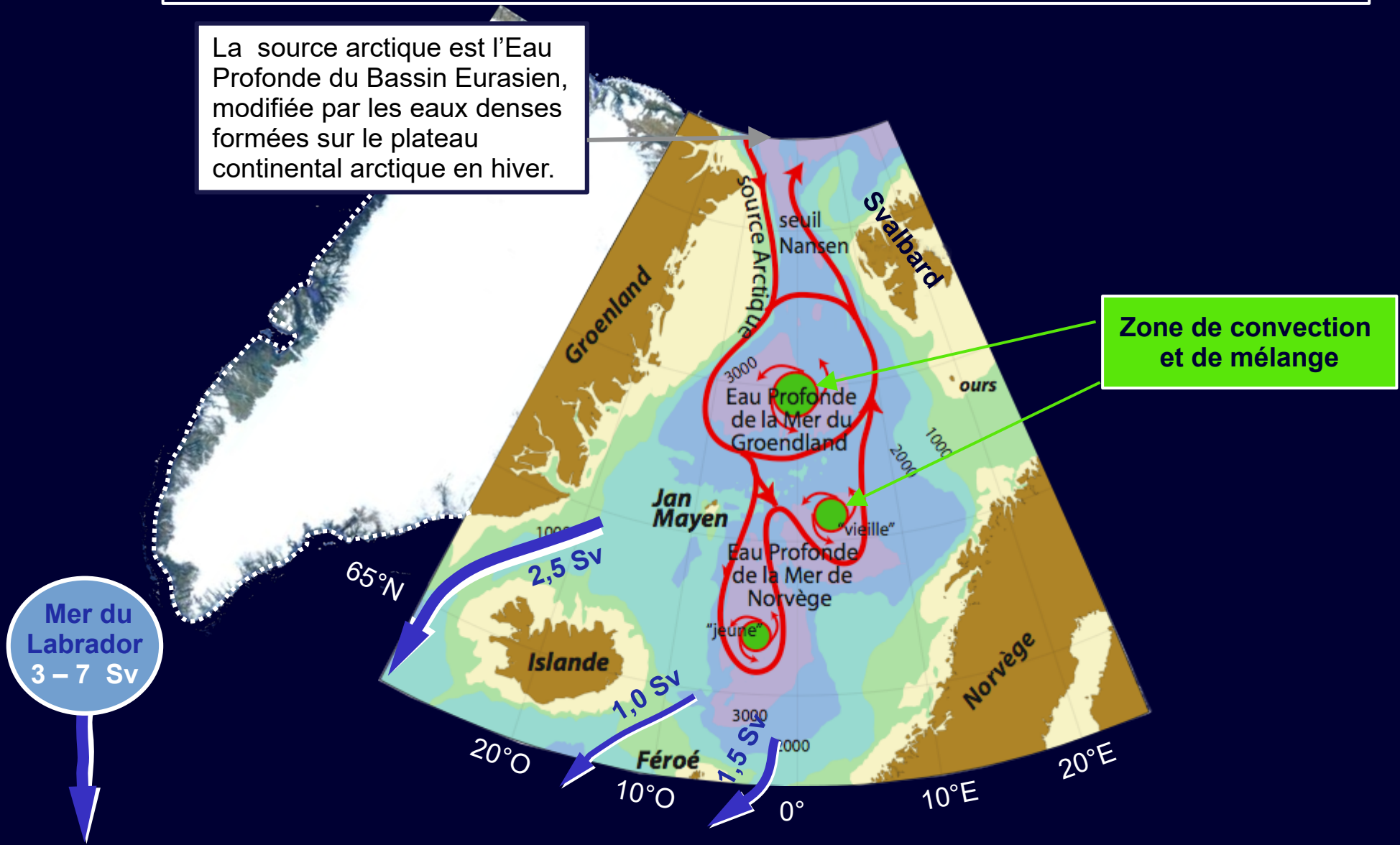


février-mars 1997

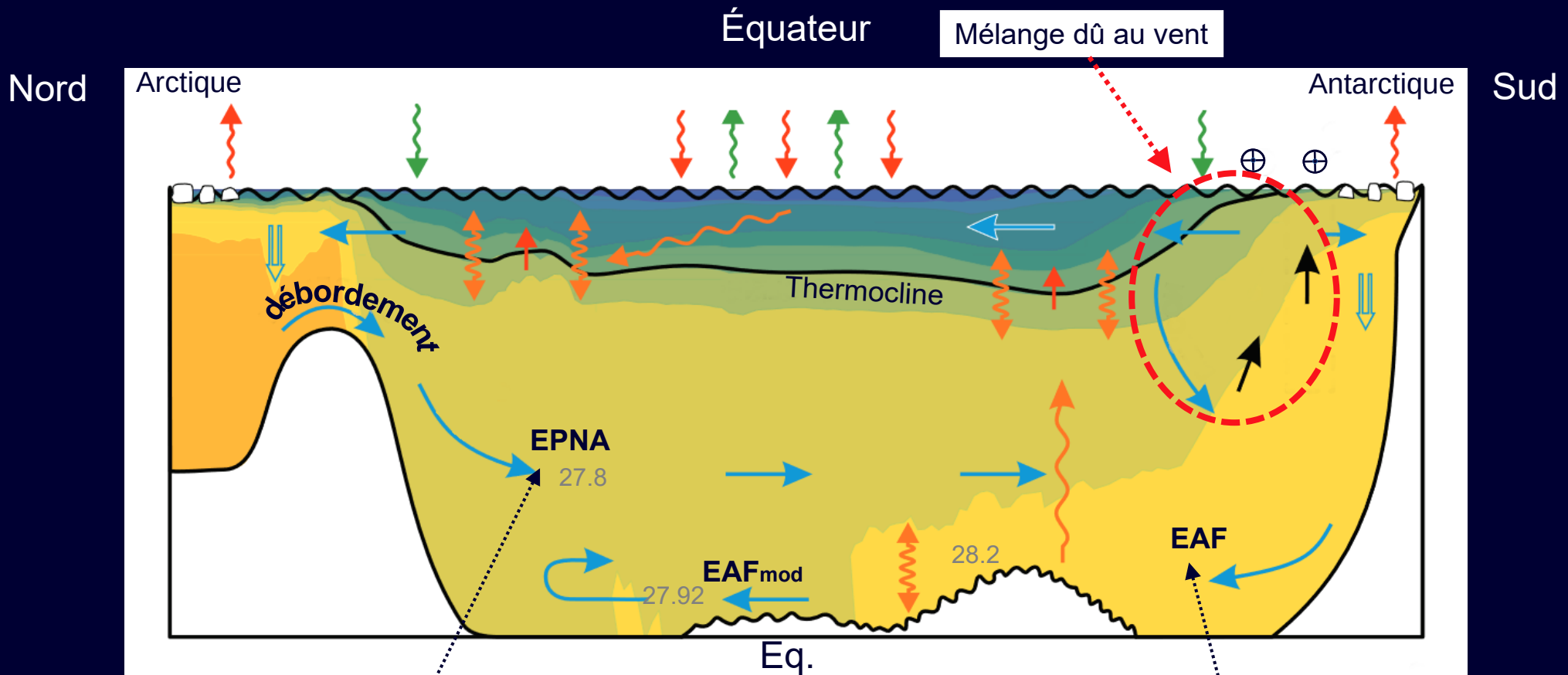


# Formation d'eaux denses en mer de Norvège et du Groenland

La source arctique est l'Eau Profonde du Bassin Eurasien, modifiée par les eaux denses formées sur le plateau continental arctique en hiver.



# Schéma de la circulation de l'océan atlantique et de la MOC



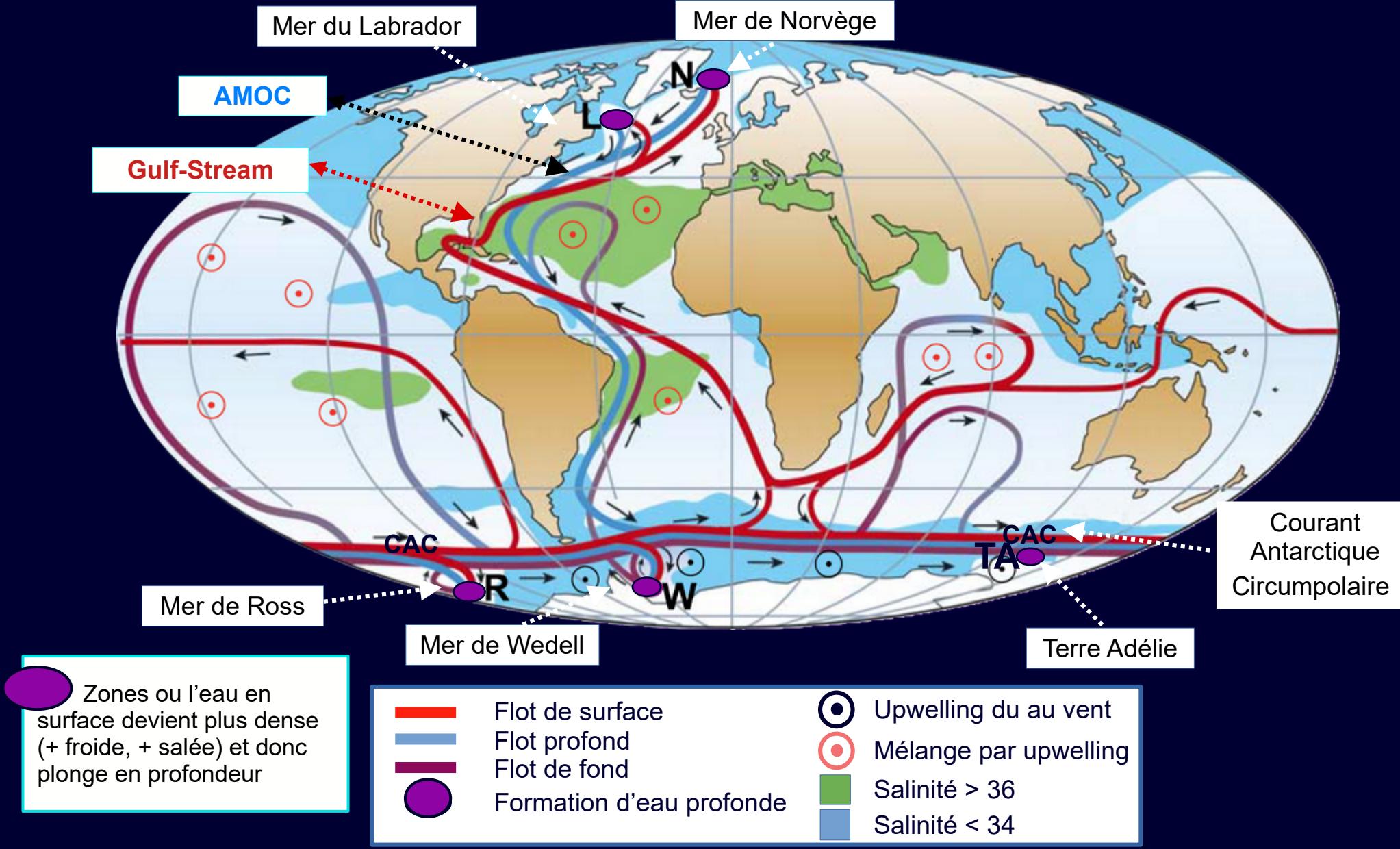
Eau Profonde Nord Atlantique

Eau Antarctique de Fond

- |  |                      |  |                       |  |                          |
|--|----------------------|--|-----------------------|--|--------------------------|
|  | Transport            |  | Mélange par Upwelling |  | Formation d'eau profonde |
|  | Upwelling dû au vent |  | Onde interne          |  | Flux de chaleur          |
|  | Vent                 |  | Mélange diapycnal     |  | Flux d'eau douce         |
|  |                      |  |                       |  | Banquise                 |

# Circulation méridienne de retournement

## AMOC Atlantic meridional overturning circulation

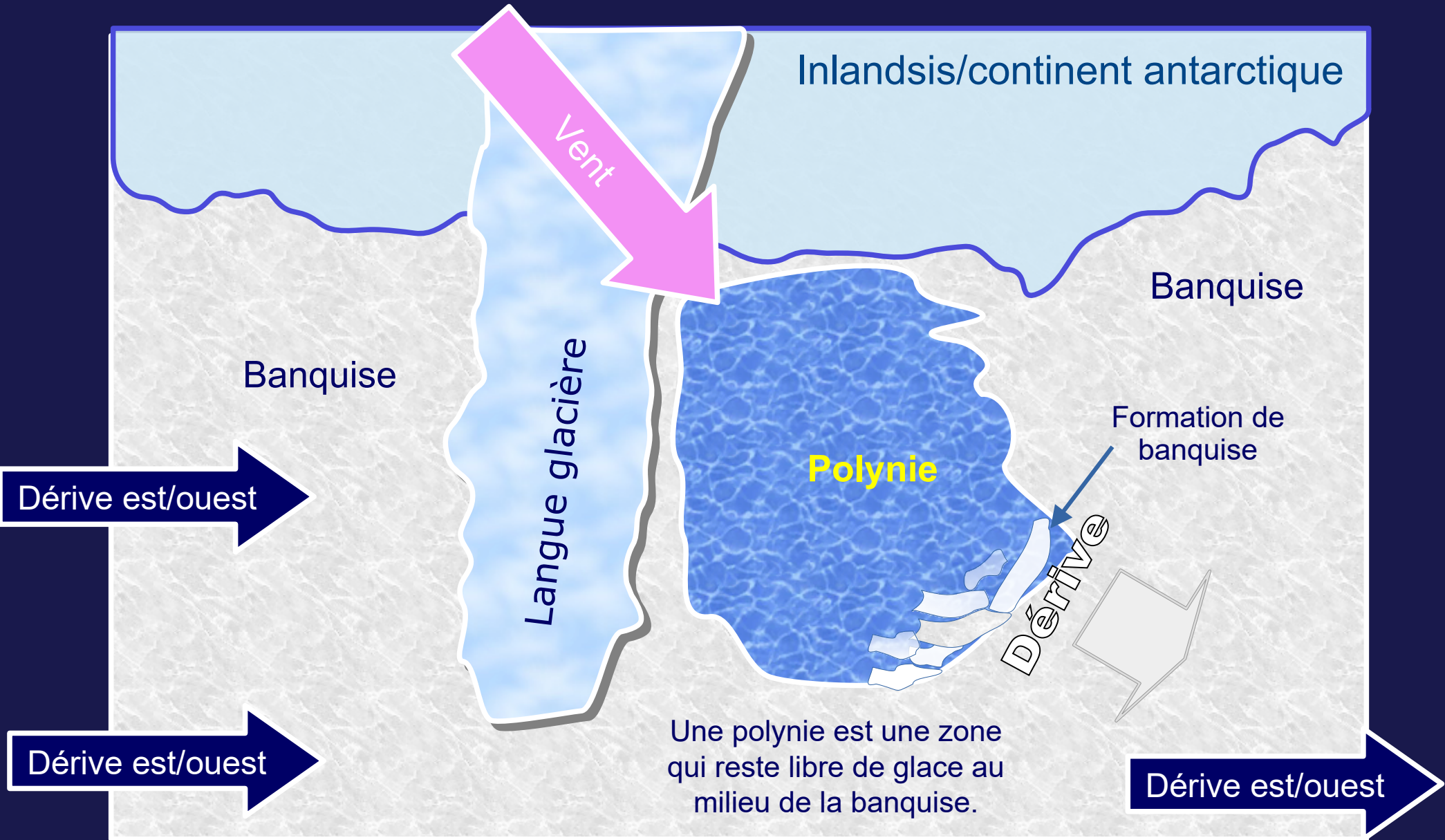


Zones où l'eau en surface devient plus dense (+ froide, + salée) et donc plonge en profondeur

- Flot de surface
- Flot profond
- Flot de fond
- Formation d'eau profonde
- Upwelling du au vent
- Mélange par upwelling
- Salinité > 36
- Salinité < 34

Adapté de Kuhlbrodt, T. et al. On the driving processes of the Atlantic meridional overturning circulation. Rev. Geophys. 45, RG2001 (2007).

# Rôle des polynies



Les polynies : une action importante sur la physique de l'océan antarctique côtier par formation d'eau « dense ».

# Circulation méridienne de retournement

nature  
geoscience

ARTICLES

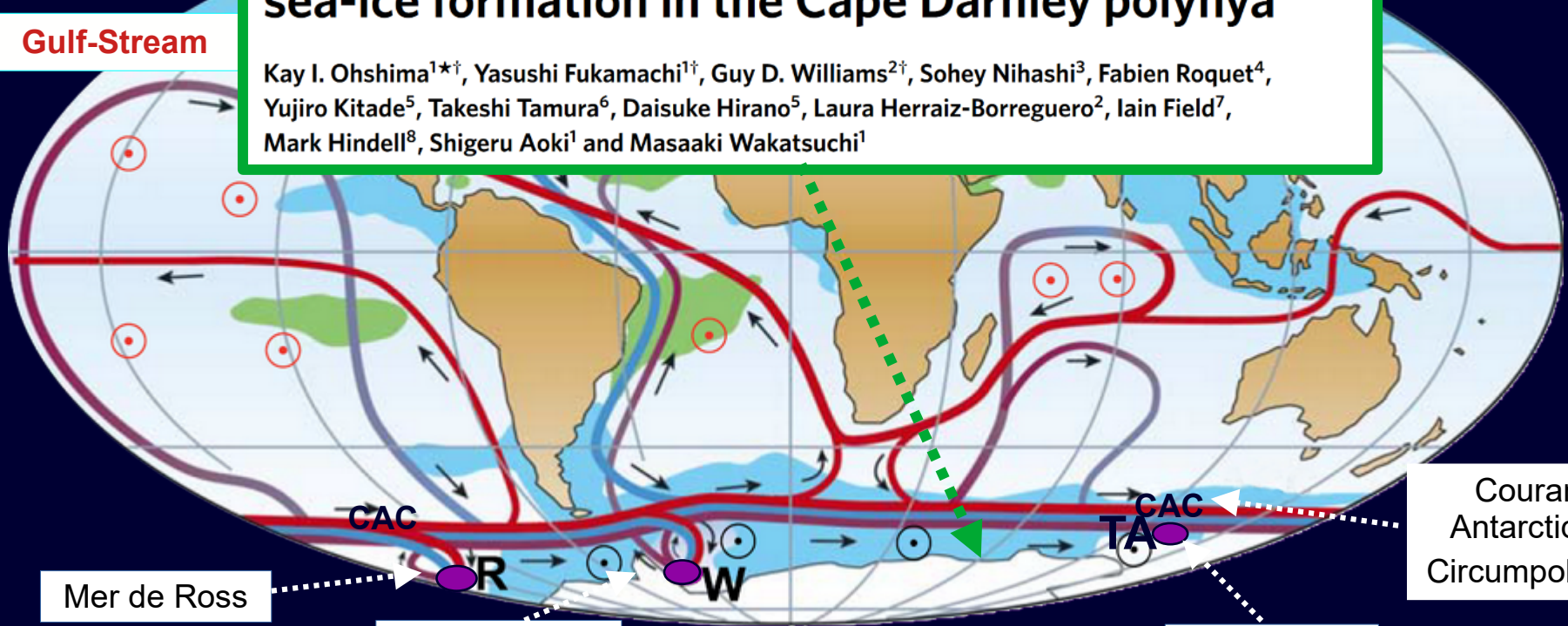
PUBLISHED ONLINE: 24 FEBRUARY 2013 | DOI: 10.1038/NCEO1738

## Antarctic Bottom Water production by intense sea-ice formation in the Cape Darnley polynya

Kay I. Ohshima<sup>1\*</sup>†, Yasushi Fukamachi<sup>1†</sup>, Guy D. Williams<sup>2†</sup>, Sohey Nihashi<sup>3</sup>, Fabien Roquet<sup>4</sup>, Yujiro Kitade<sup>5</sup>, Takeshi Tamura<sup>6</sup>, Daisuke Hirano<sup>5</sup>, Laura Herraiz-Borreguero<sup>2</sup>, Iain Field<sup>7</sup>, Mark Hindell<sup>8</sup>, Shigeru Aoki<sup>1</sup> and Masaaki Wakatsuchi<sup>1</sup>

AMOC

Gulf-Stream



Courant  
Antarctique  
Circumpolaire

Mer de Ross

Mer de Wedell

Terre Adélie

Zones où l'eau en surface devient plus dense (+ froide, + salée) et donc plonge en profondeur

Flot de surface

Flot profond

Flot de fond



Formation d'eau profonde



Upwelling du au vent



Mélange par upwelling

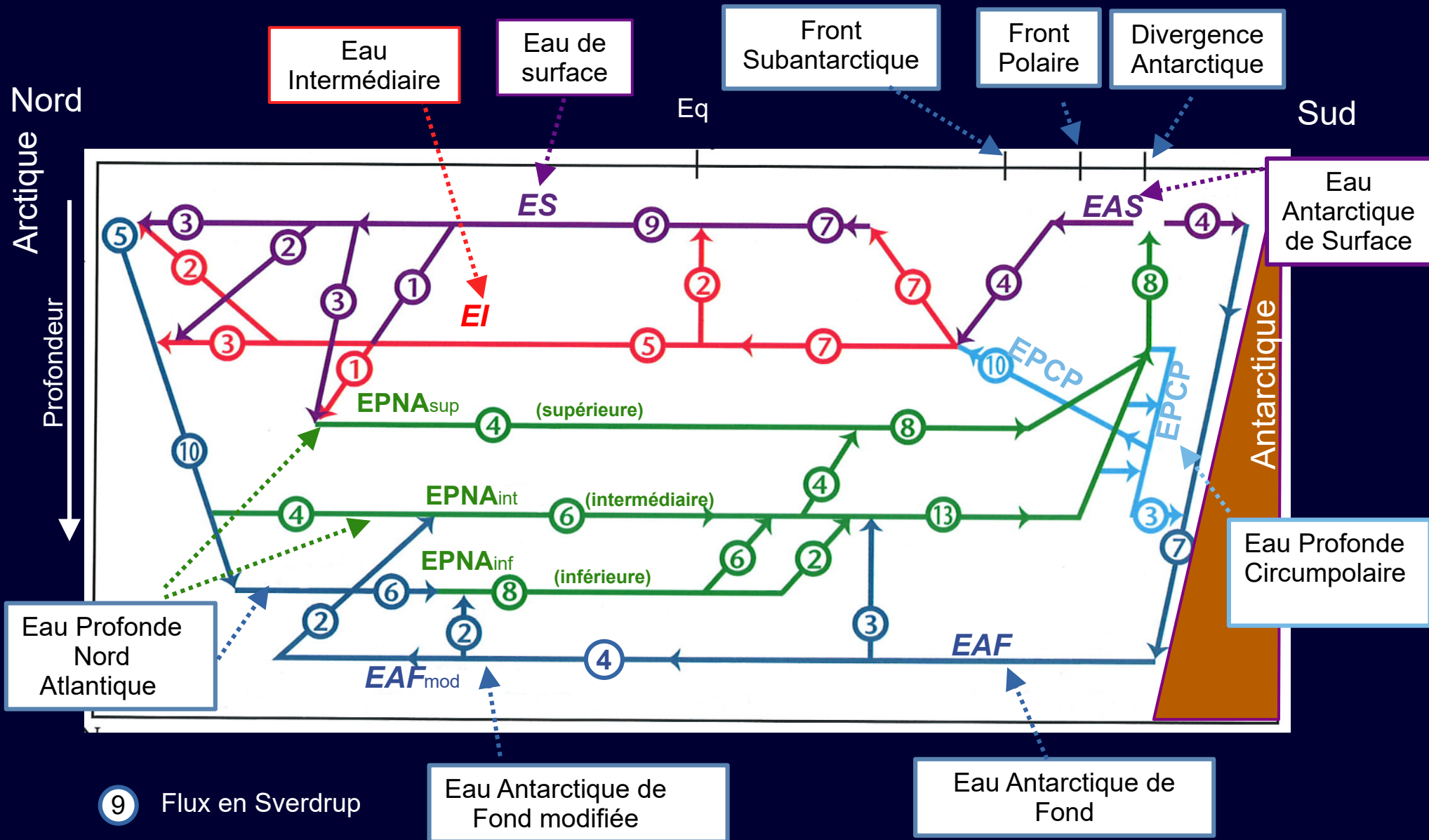


Salinité > 36

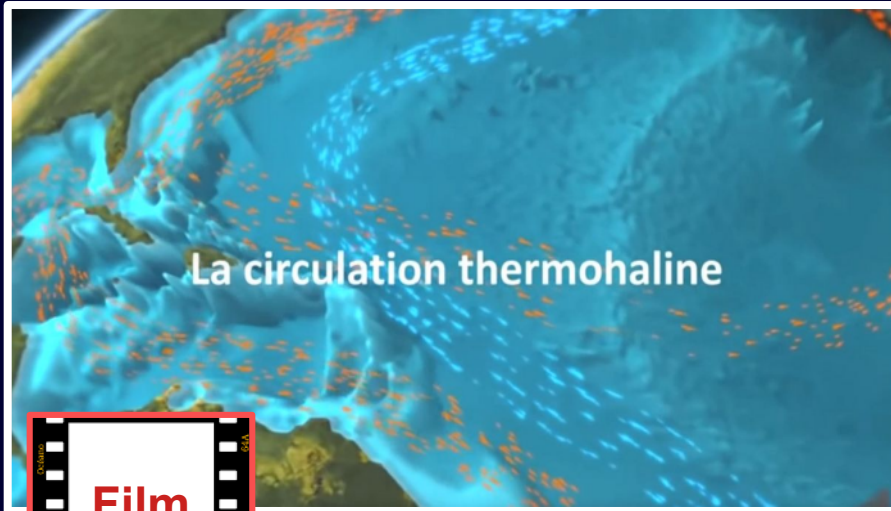


Salinité < 34

# Schéma à 6 couches de la circulation thermohaline dans l'Atlantique



# Circulation thermohaline, petit film



© Météo-France

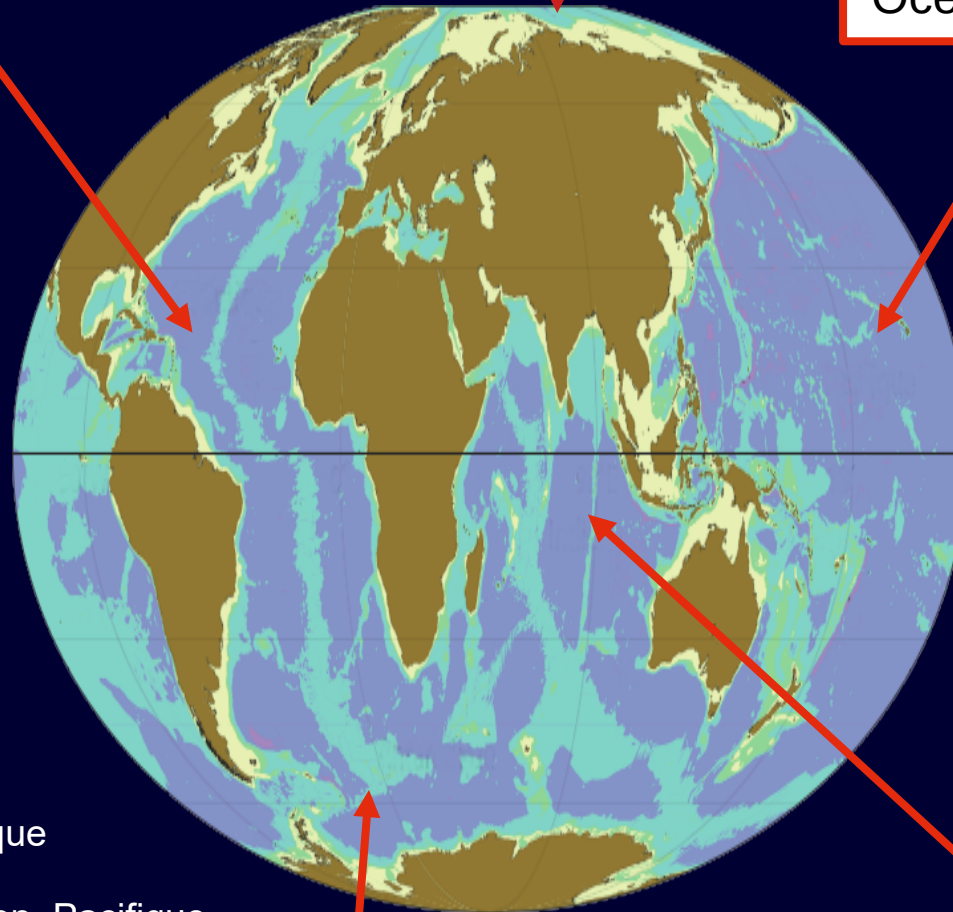
© Observatoire Midi-Pyrénées, LEGOS, Mercator Océan,  
Copernicus Marine Services

# Description des Océans

Océan Atlantique

Océan Arctique

Océan Pacifique



Océan Indien

Océan Austral/Antarctique

Combien d'océans ?

1 : L'océan mondial

3 : Atlantique, Indien, Pacifique

4 : Atlantique, Austral, Indien, Pacifique

5 : Atlantique, Arctique, Austral, Indien, Pacifique



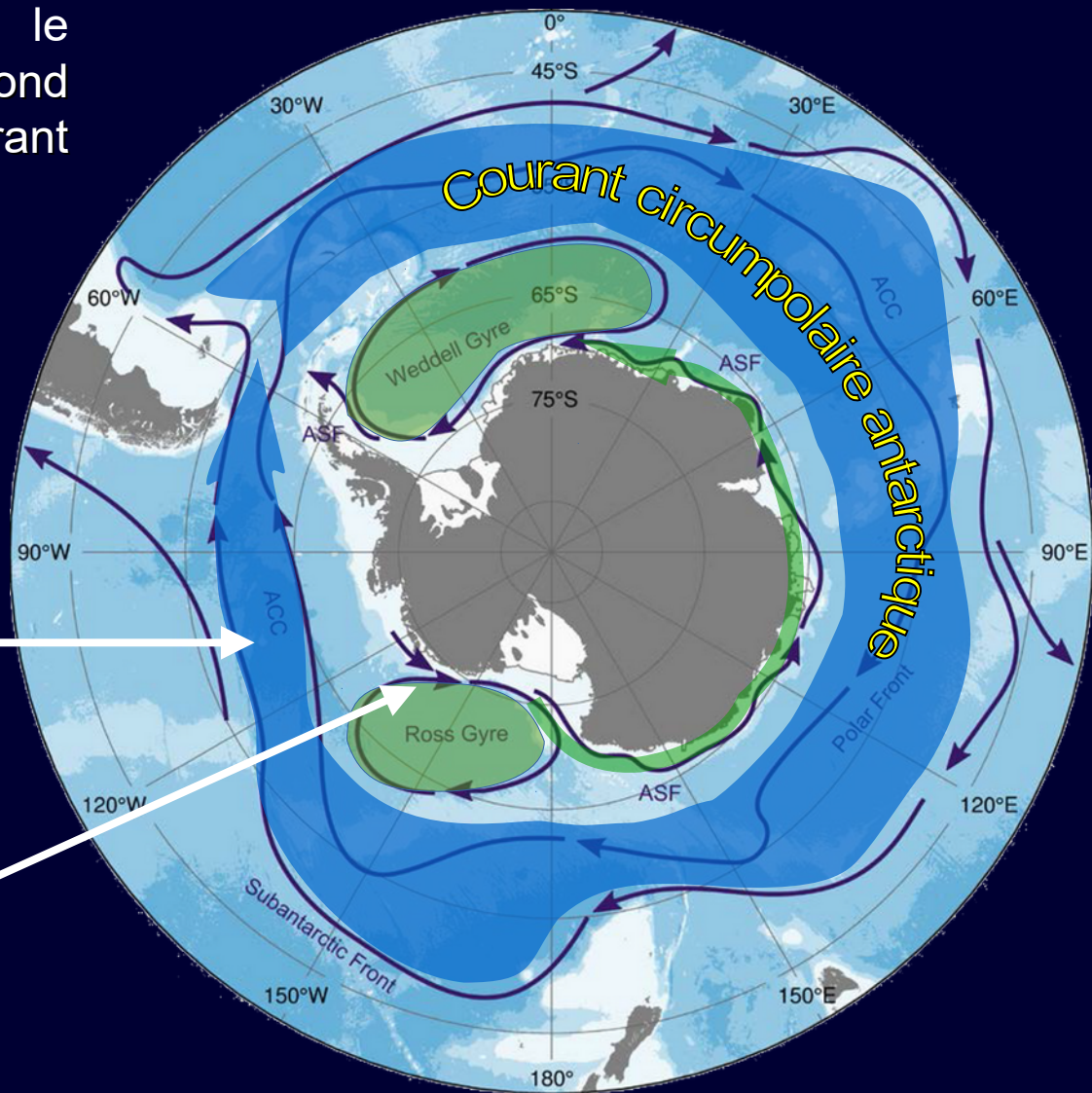
Océan Austral/Antarctique

# Océan Austral/Antarctique

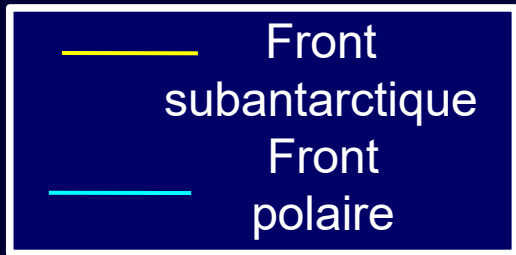
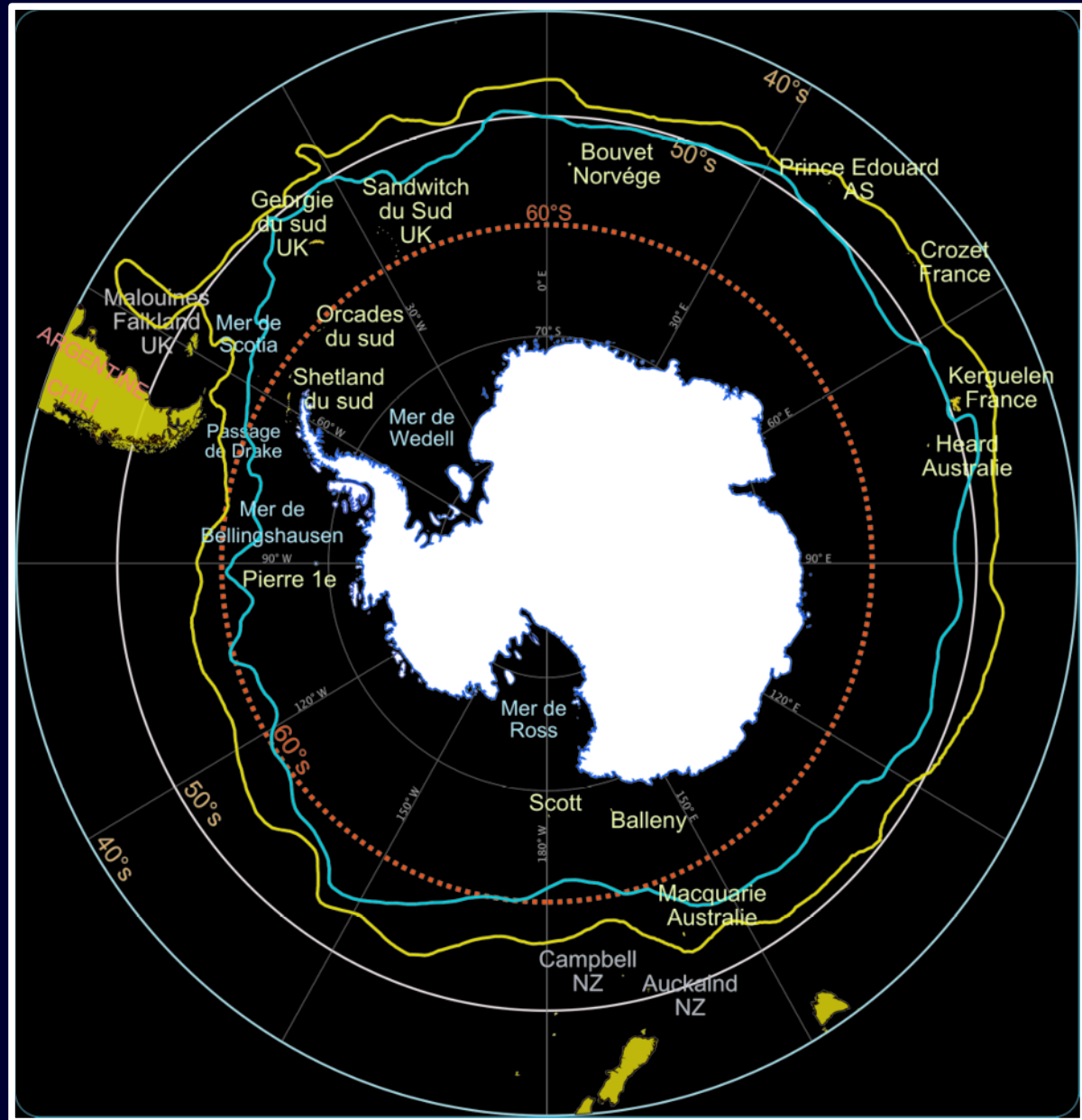
Océan austral : Océan baignant le continent antarctique. Il correspond aux eaux parcourues par le courant circumpolaire antarctique.

Le courant circumpolaire antarctique transporte d'ouest en est plus de 140 millions de mètres cubes d'eau par seconde (140 Sv).

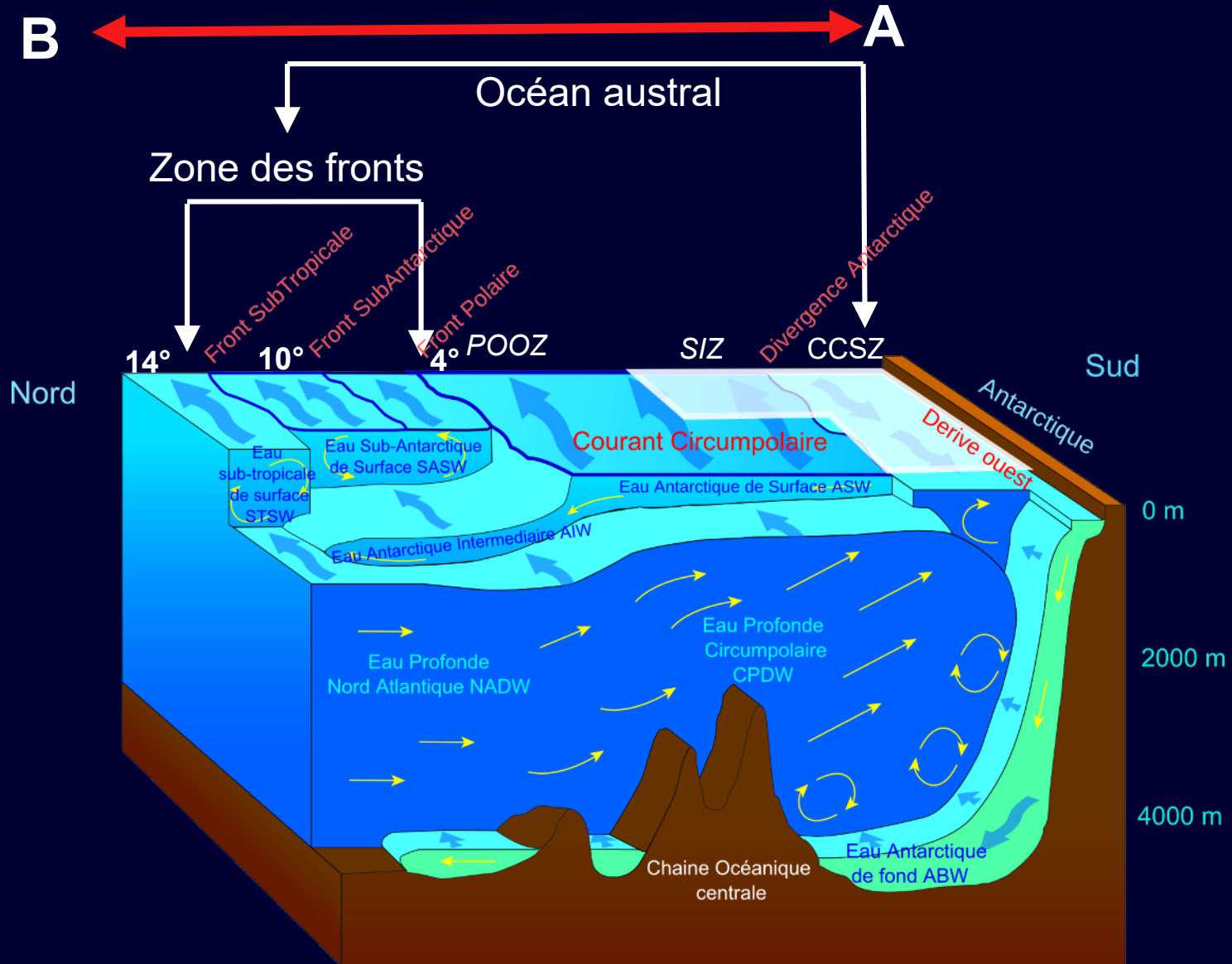
Sur la côte du continent, un courant est → ouest et des gyres (« tourbillons »)



# Océan Austral/Antarctique, fronts océaniques

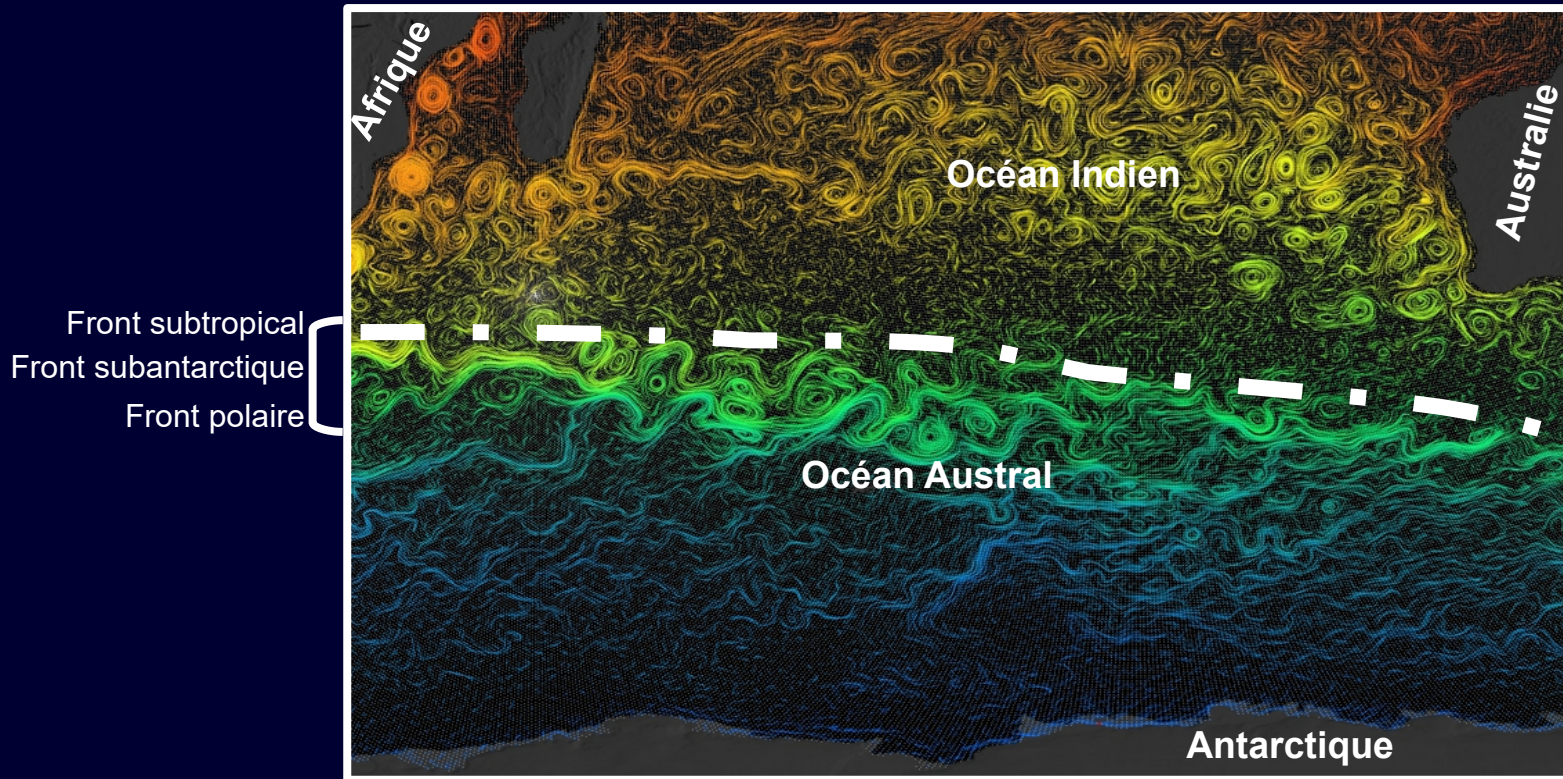


# Océan Austral/Antarctique, hydrologie



POOZ : permanently open ocean zone, SIZ : seasonal ice zone, CCSZ : coastal and continental shelf zone

# Limite nord « turbulente »



# Océan Austral/Antarctique

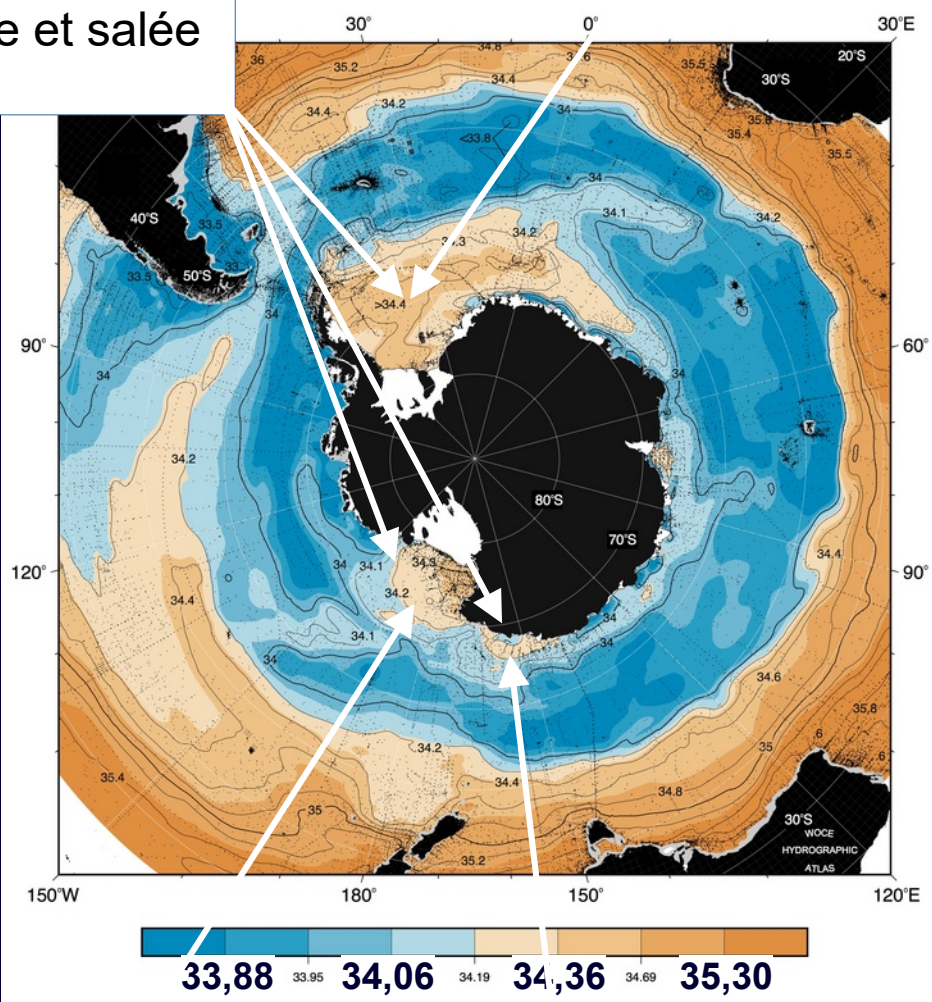
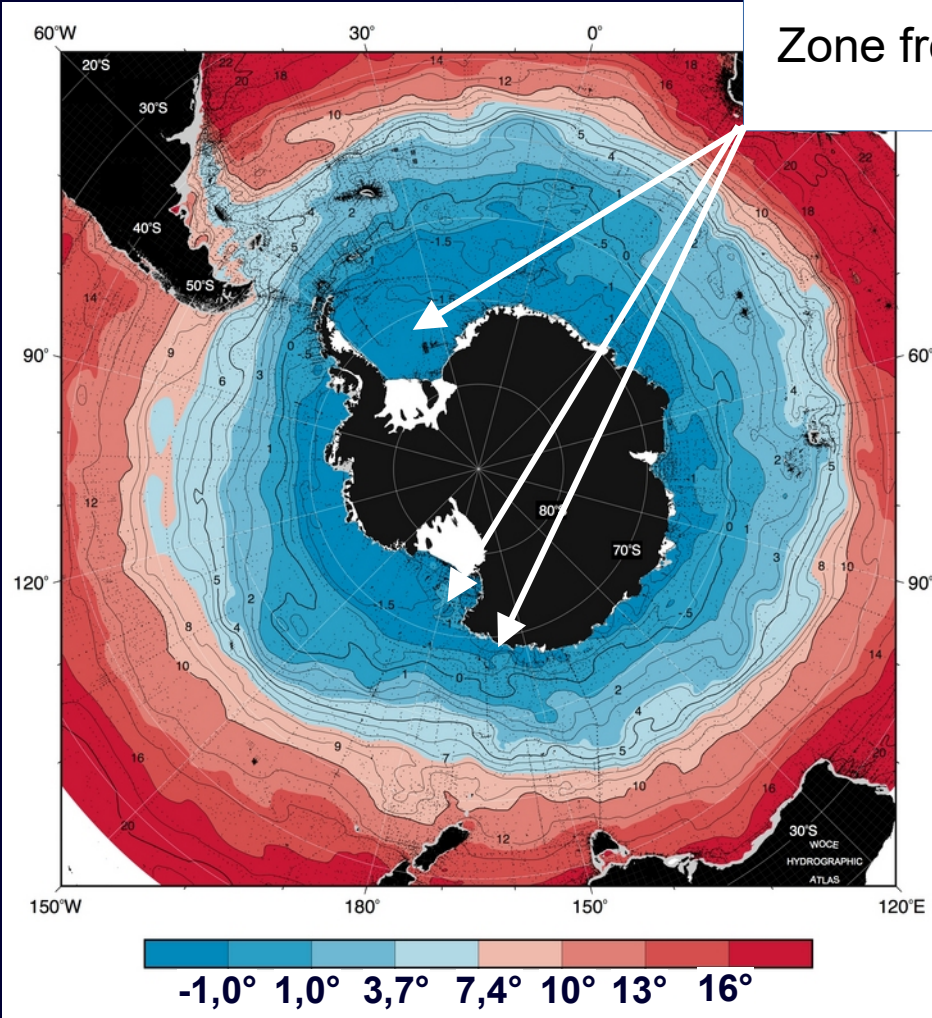
Z = 50 m

Température potentielle

Salinité

Mer de Wedell

Zone froide et salée

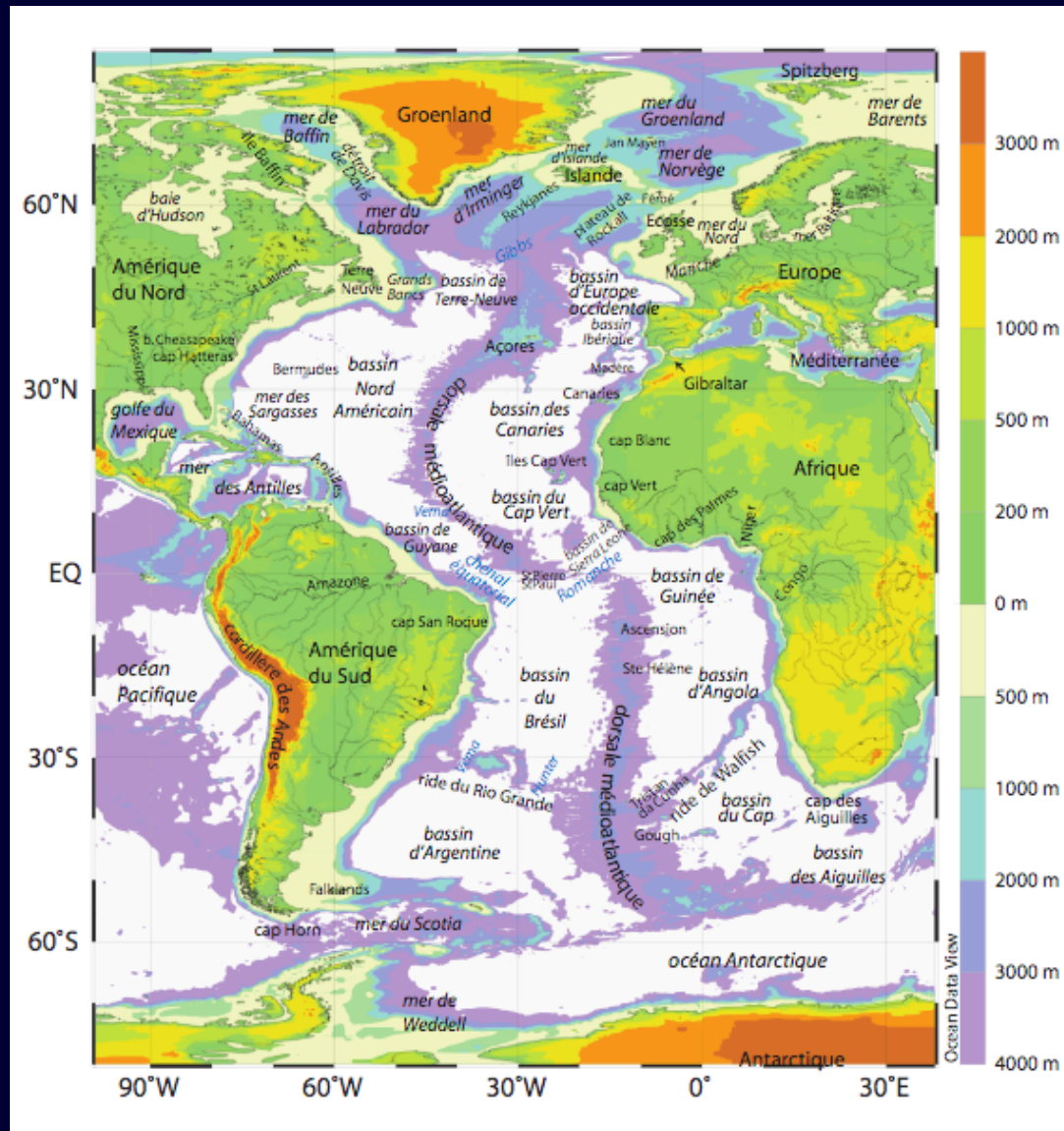


Mer de Ross

Terre Adélie

Océan Atlantique

# Océan Atlantique



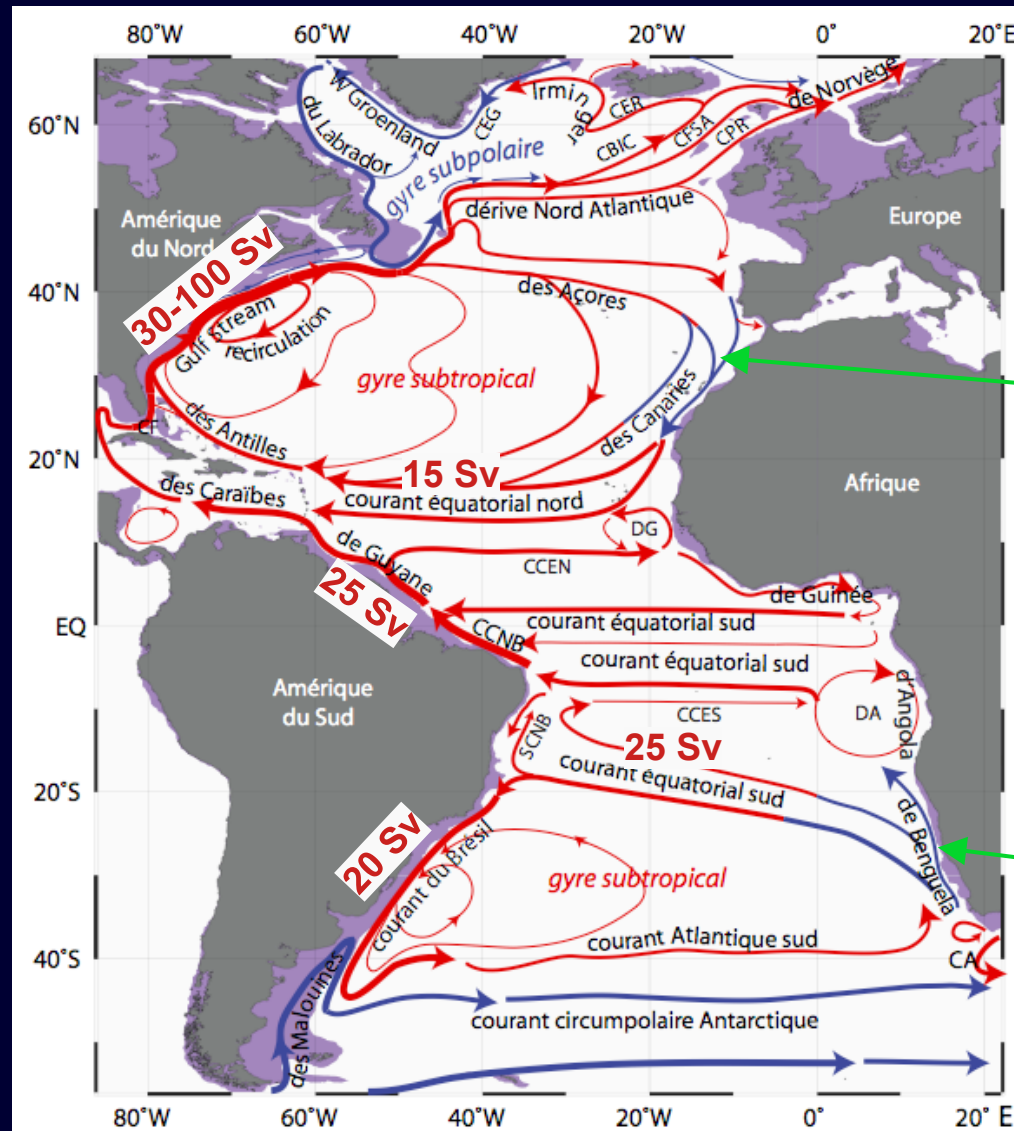
106,5 millions km<sup>2</sup>

## Bathymétrie de l'océan Atlantique

En blanc Z > 4000m



# Océan Atlantique : circulation générale



CCEN et CCES Contre Courant Équatorial Nord et Sud, CBIC Courant du bassin d'Island Central, CFSA Courant du Font SubArctique, DG dôme de Guinée, DA dôme d'Angola, CA Courant des Aiguilles, SNCB Sous-Courant Nord Bresi, CCNB Courant Côtier Nord Brésilien.

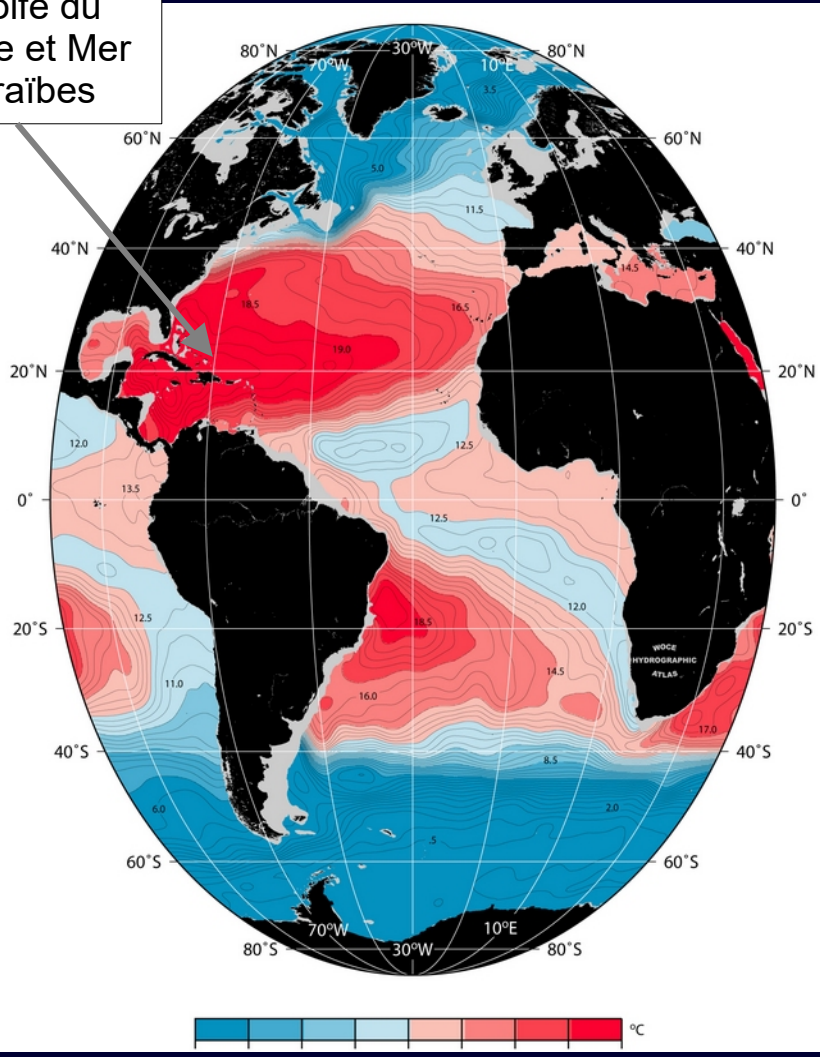
\*Zone d'Upwelling : remontée d'eau.

L'océan planétaire, Michèle Fieux, 2010

# Océan Atlantique, températures à 200 et 1000m

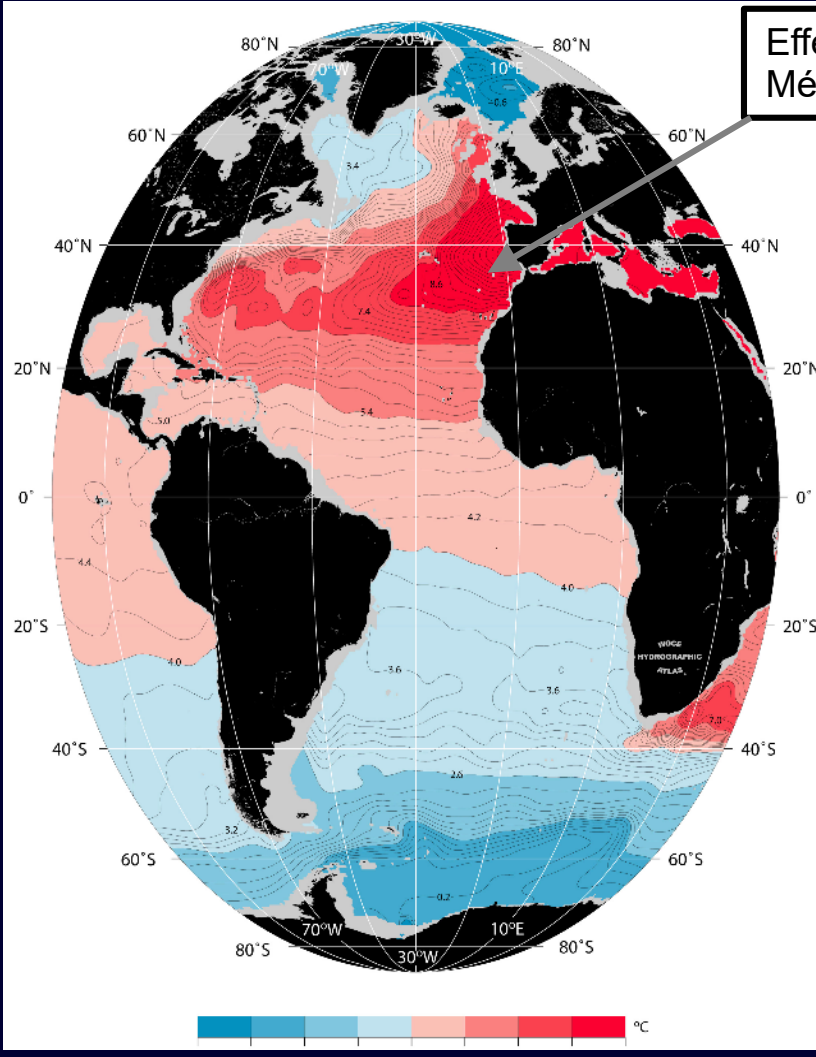
## Température potentielle à 200m

Effet Golfe du Mexique et Mer des Caraïbes



## Température potentielle à 1000m

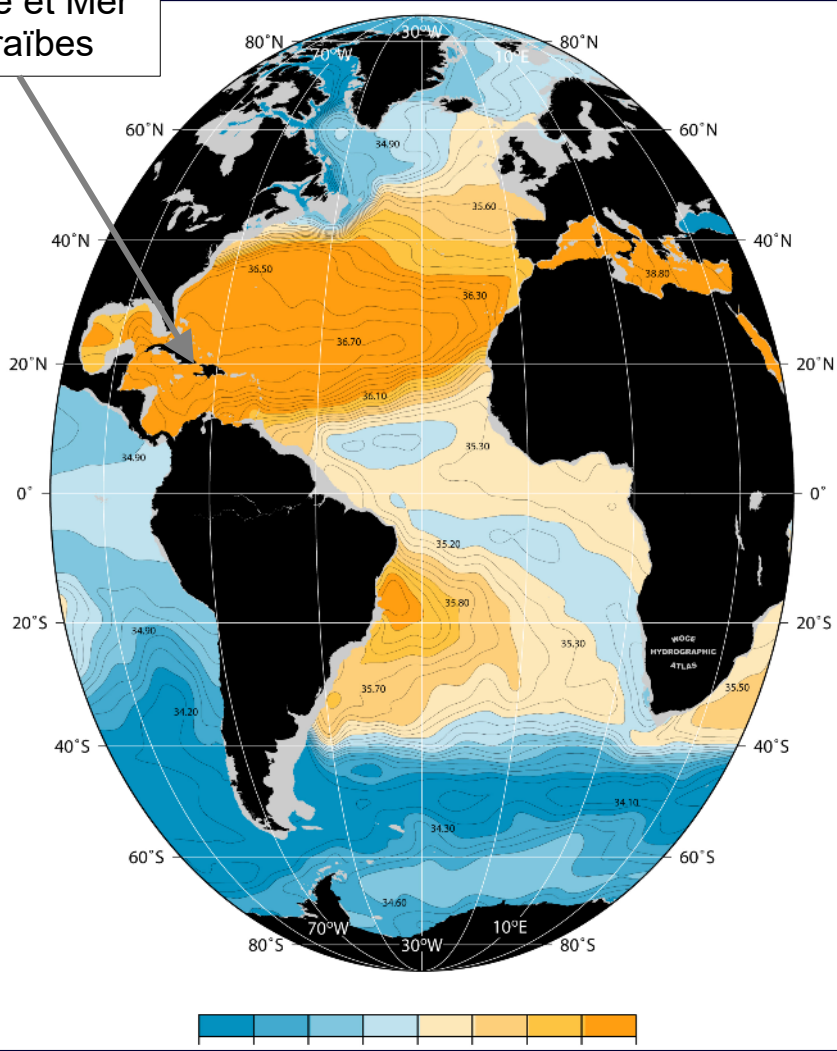
Effet de la Mer Méditerranée



# Océan Atlantique, salinités à 200 et 1000m

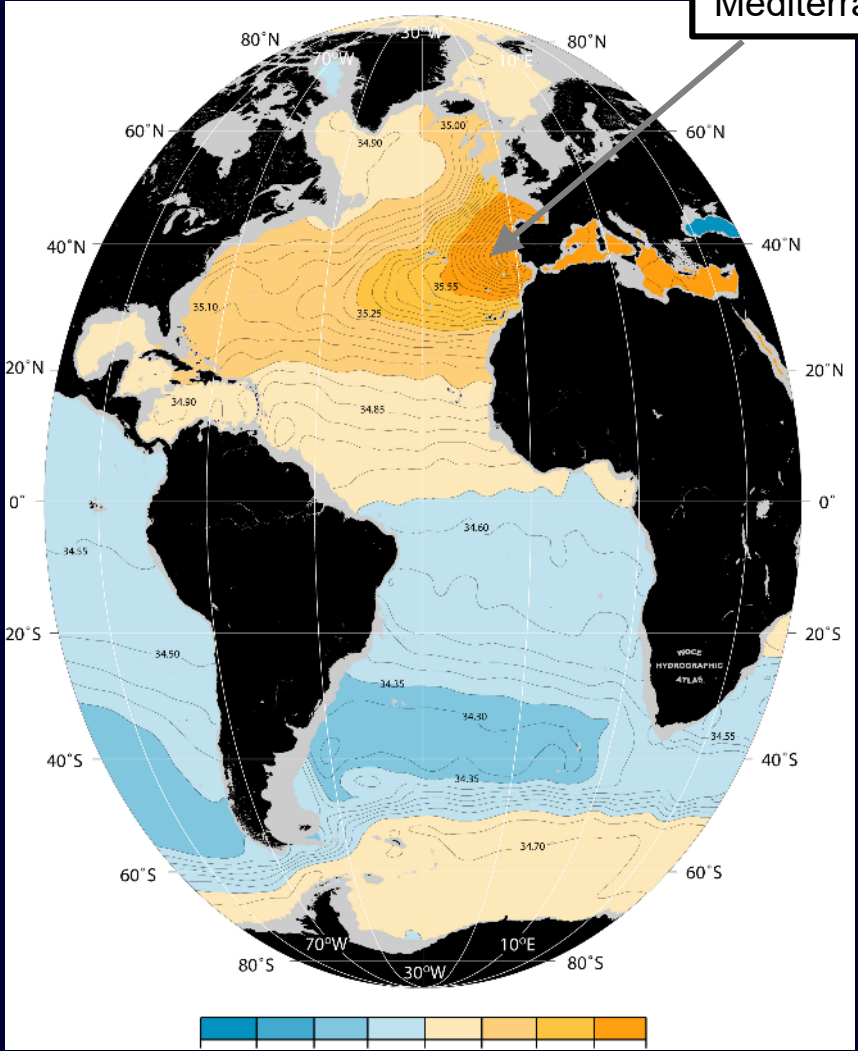
## Salinité à 200m

Effet Golfe du Mexique et Mer des Caraïbes

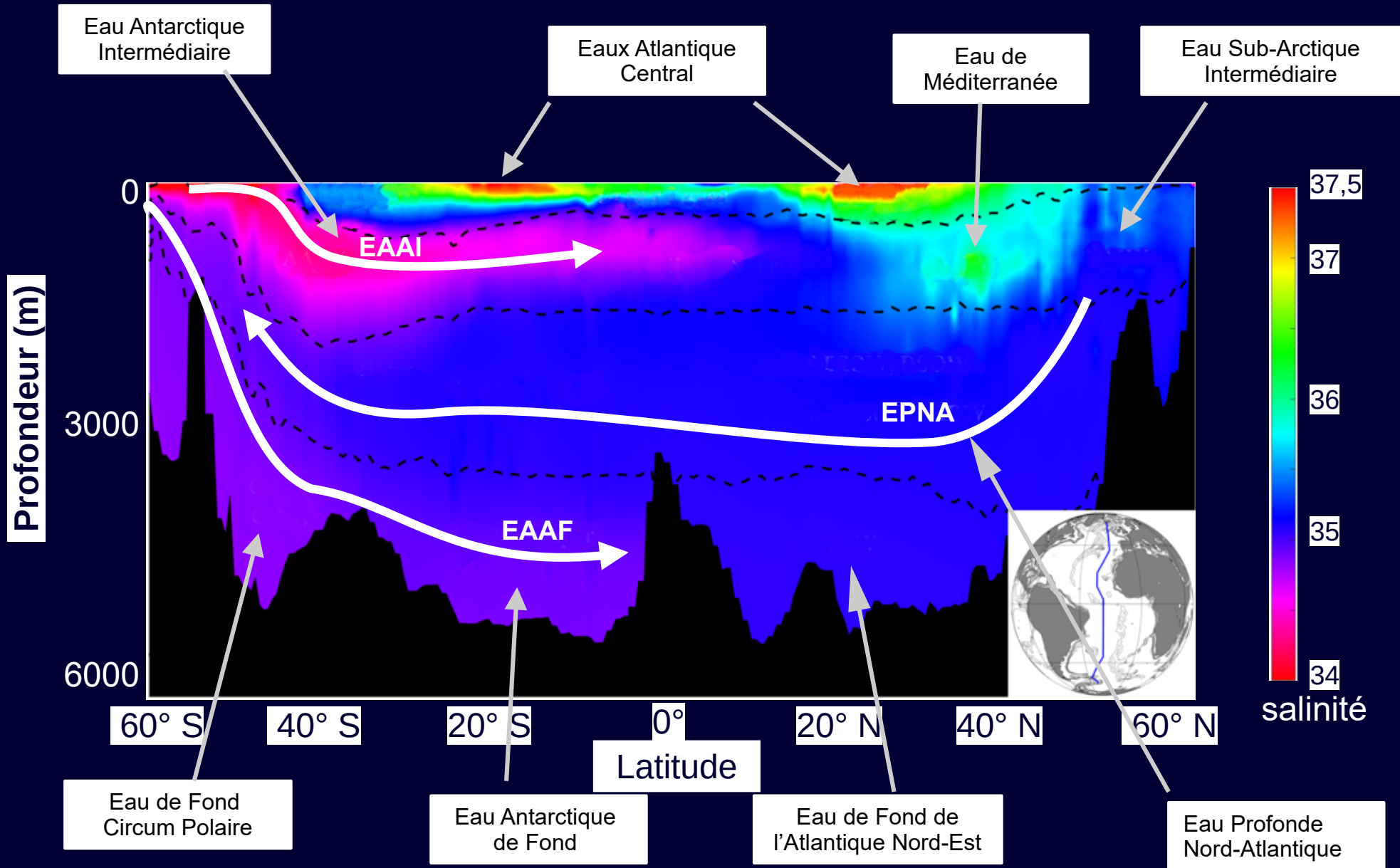


## Salinité à 1000m

Effet de la Mer Méditerranée

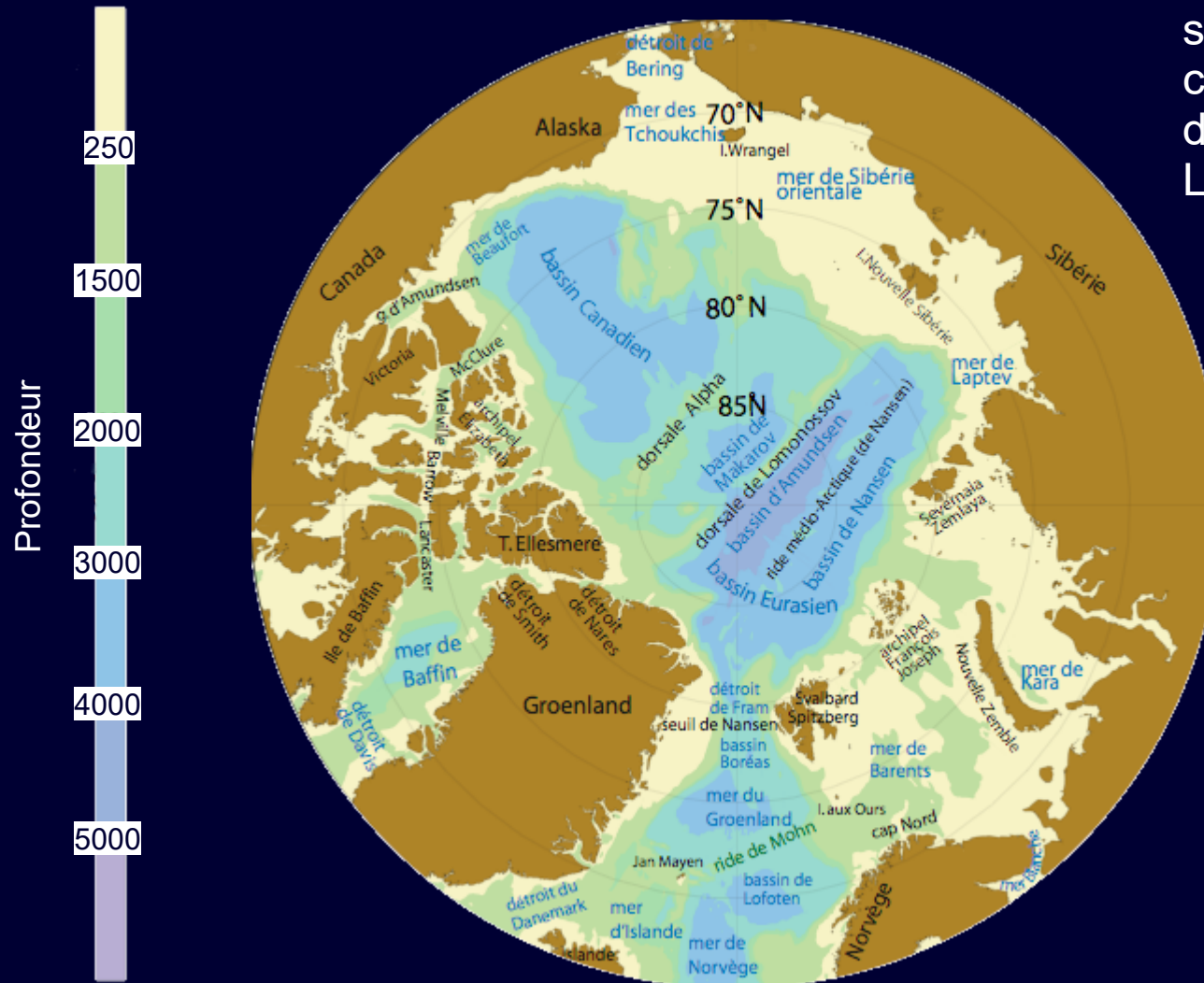


# Diagramme des salinités des masses d'eaux de l'Atlantique



Océan Arctique ou méditerranée arctique ??

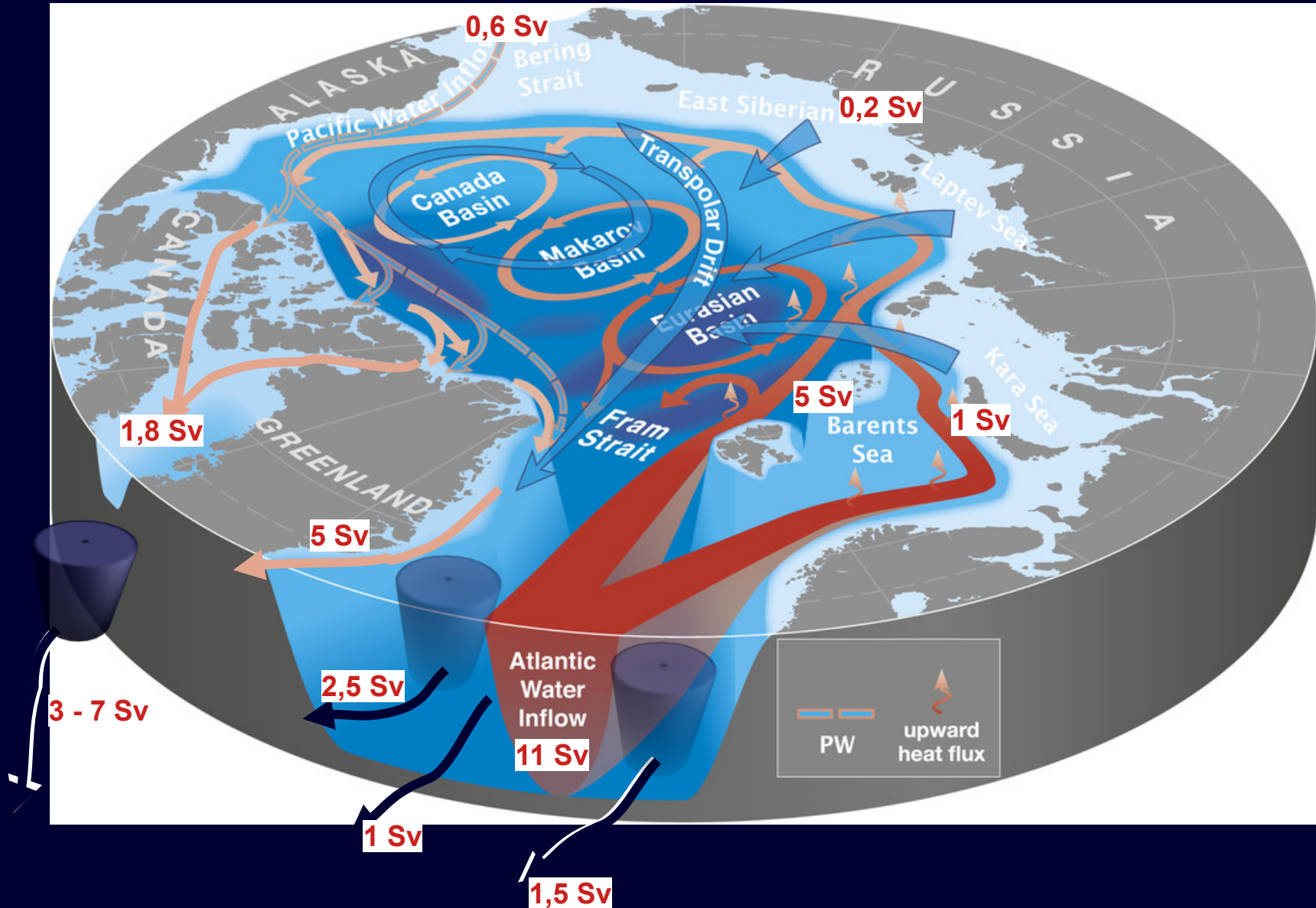
# Océan Arctique ou méditerranée arctique ??



L'océan Arctique est souvent considérée comme une mer annexe de l'océan Atlantique : La méditerranée arctique

14,06 millions km<sup>2</sup>

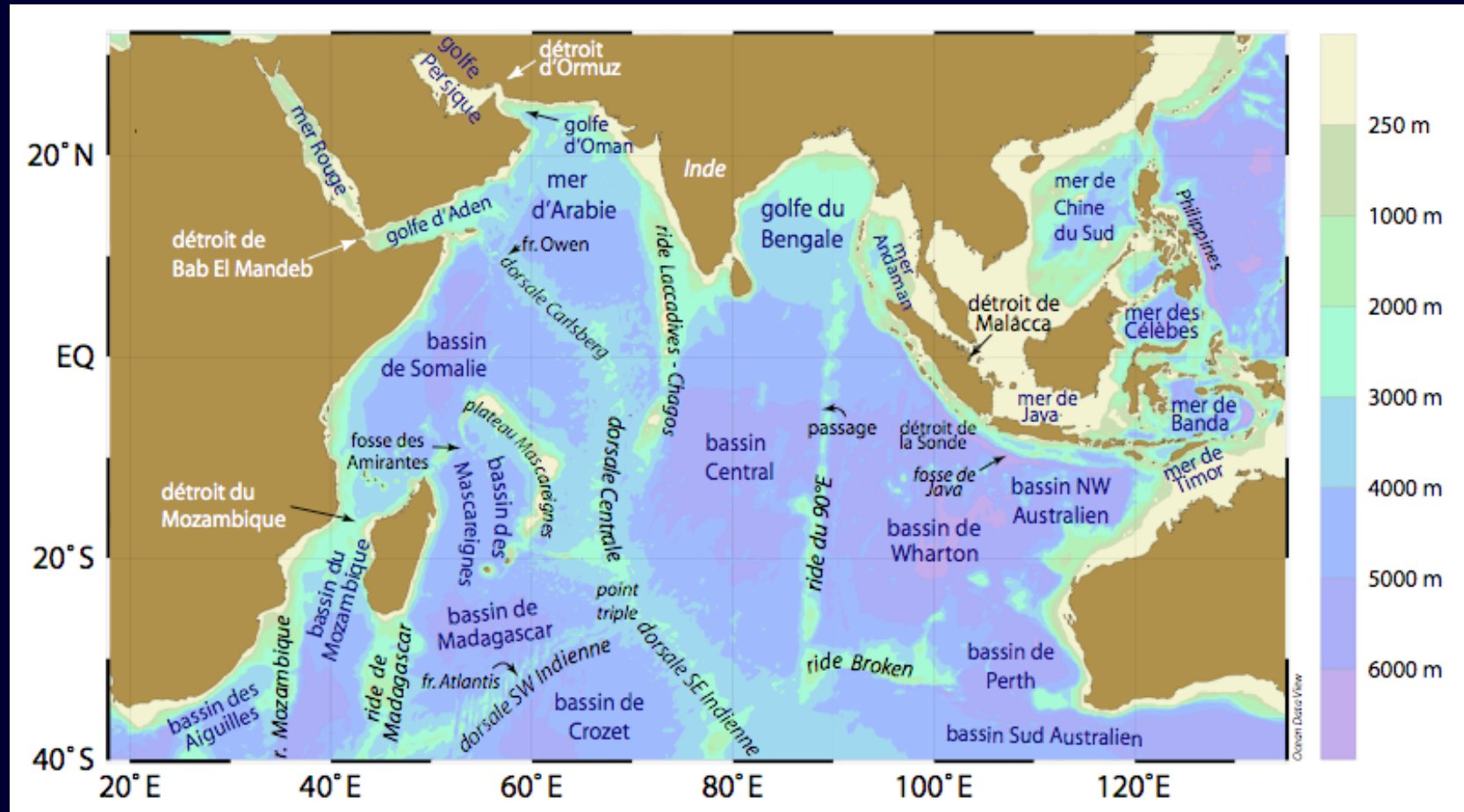
# Océan Arctique ou méditerranée arctique ?? circulation océanique



Océan Indien



# Océan Indien



70,56 millions km<sup>2</sup>

Un océan fermé au nord par l'Eurasie avec un cloisonnement en de nombreux bassins profonds.

# Océan Indien

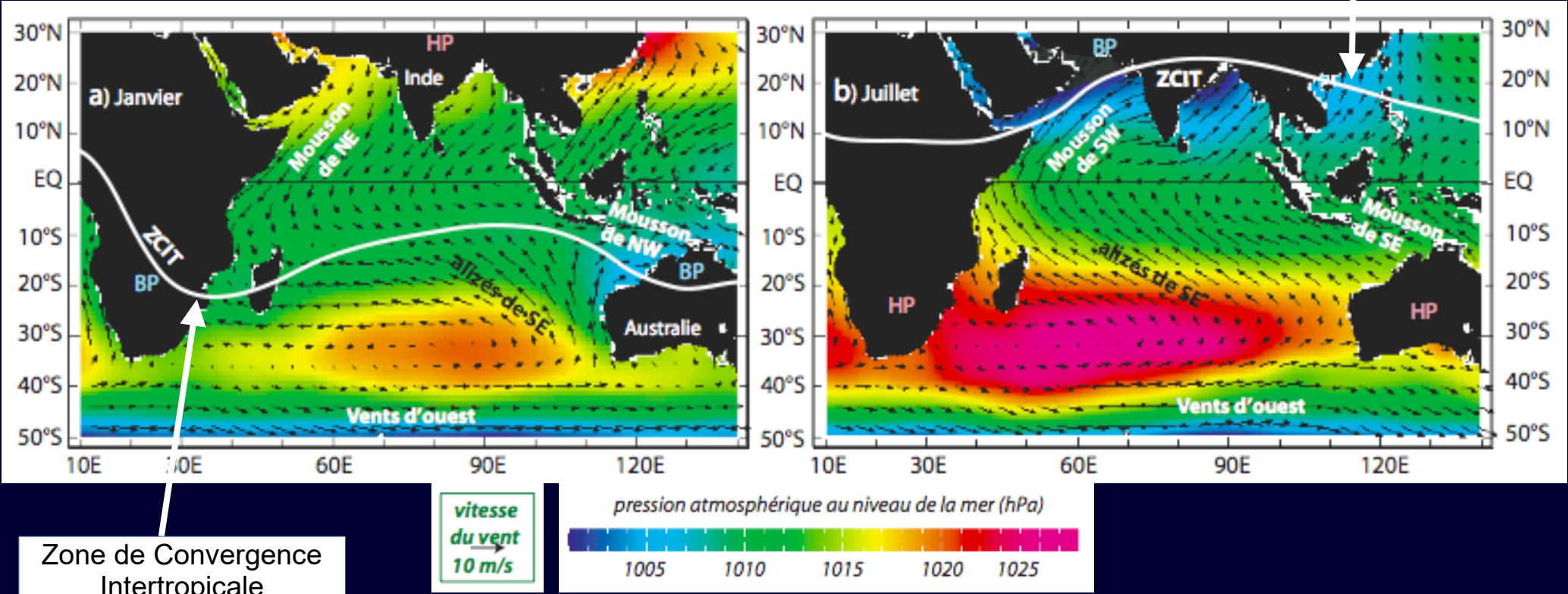
## une grande variabilité saisonnière : le régime des moussons

### Situation atmosphérique

**Janvier**

**Juillet**

Zone de Convergence Intertropicale



Zone de Convergence Intertropicale

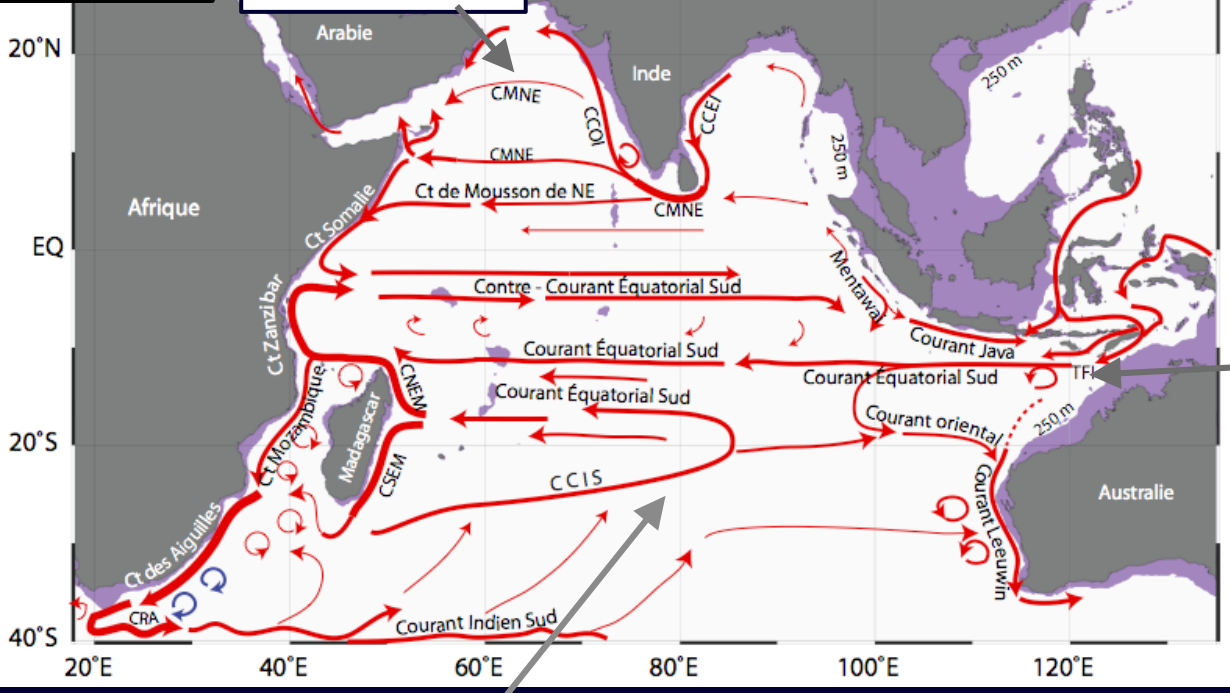
Vents moyens et pressions atmosphériques (a) en janvier, (b) en juillet.

**Janvier**

Courant de Mousson de NE

Janvier - Mousson de Nord-Est

Océan Indien :  
Principaux courants



« Throughflow »  
Indonésien

Courant de  
Mousson de SW

Grand tourbillon  
de Somalie

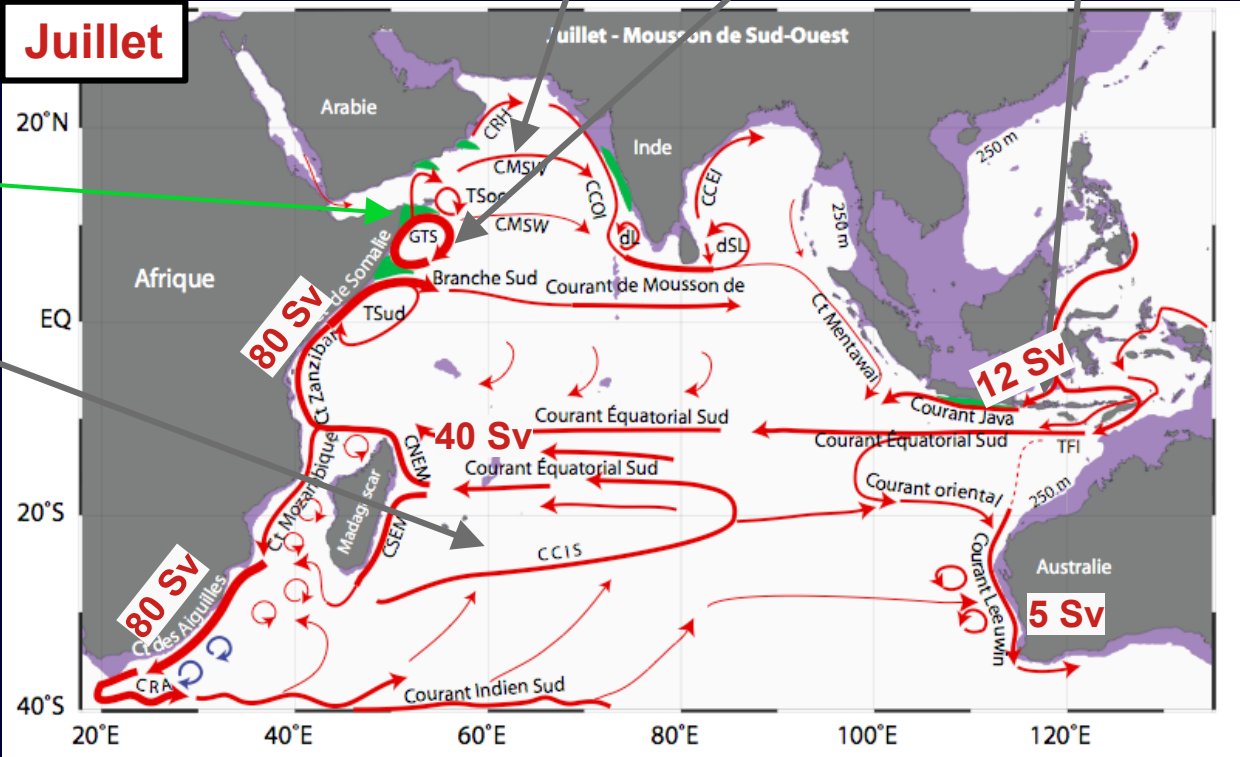
**Juillet**

Juillet - Mousson de Sud-Ouest

Zone  
d'Upwelling

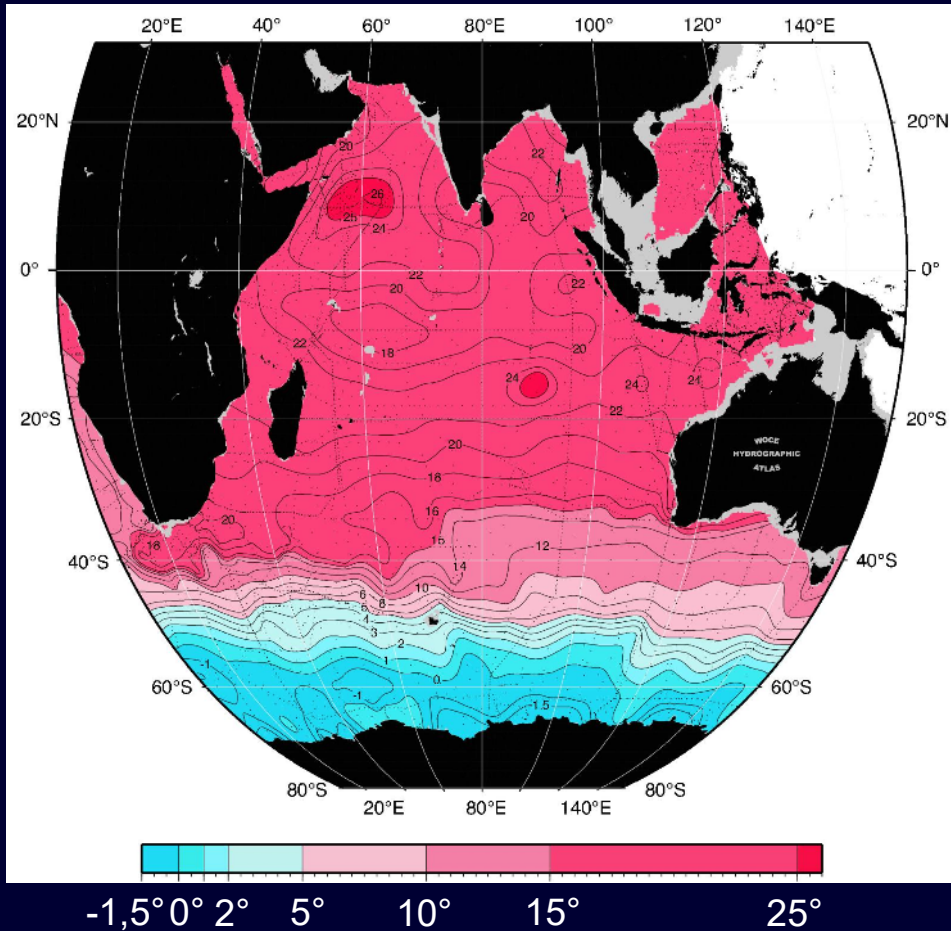
Contre-Courant  
Subtropical du Sud

Un très fort contraste  
saisonnier dû aux moussons

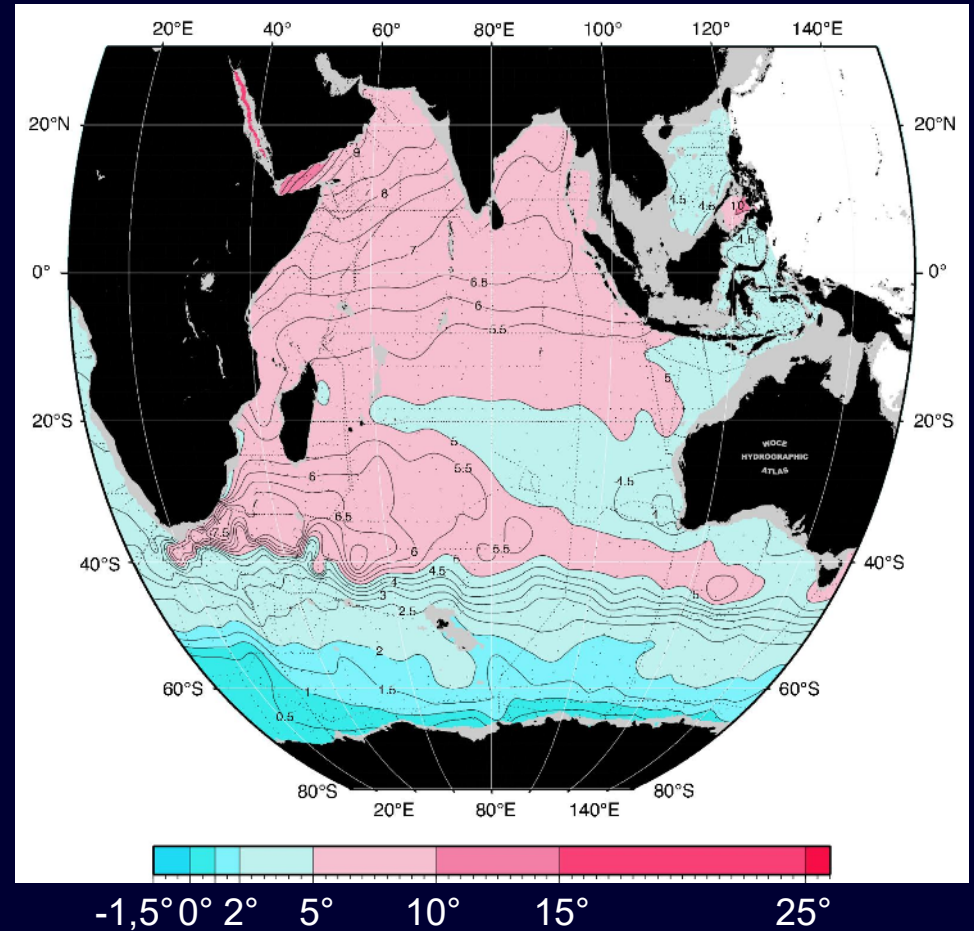


# Océan Indien, températures

## Température potentielle à 100m

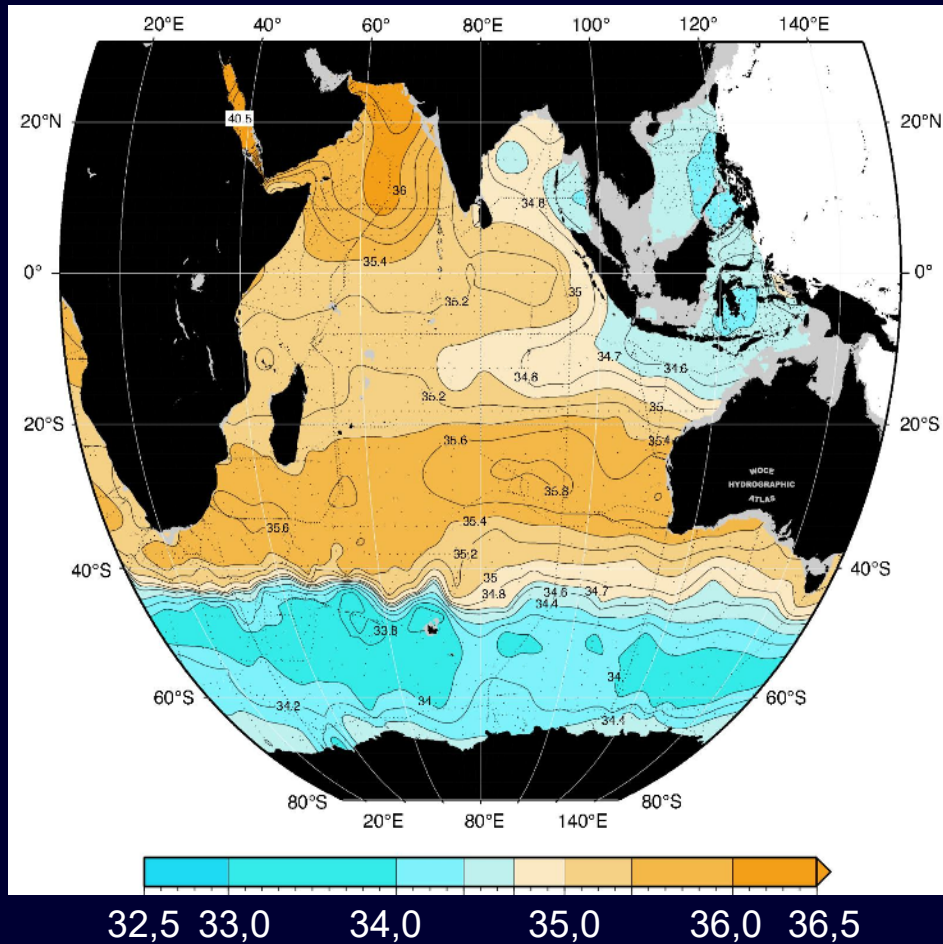


## Température potentielle à 1000m

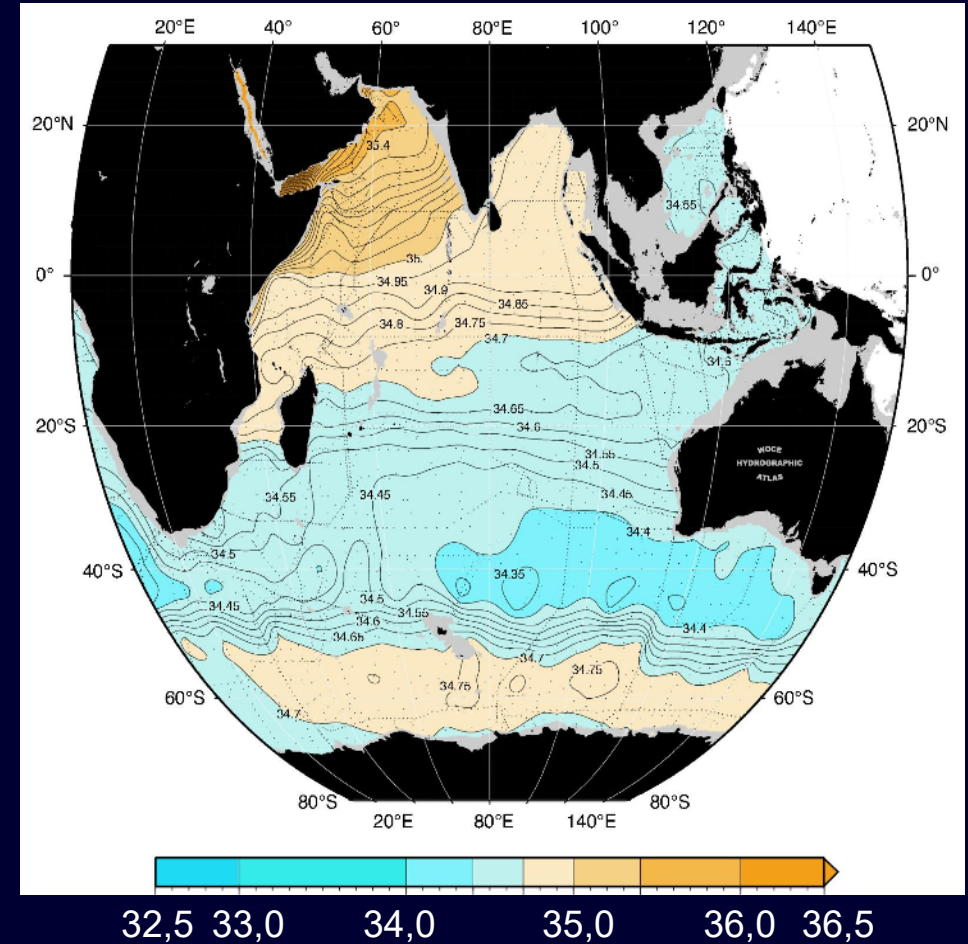


# Océan Indien, salinité

## Salinité à 100m

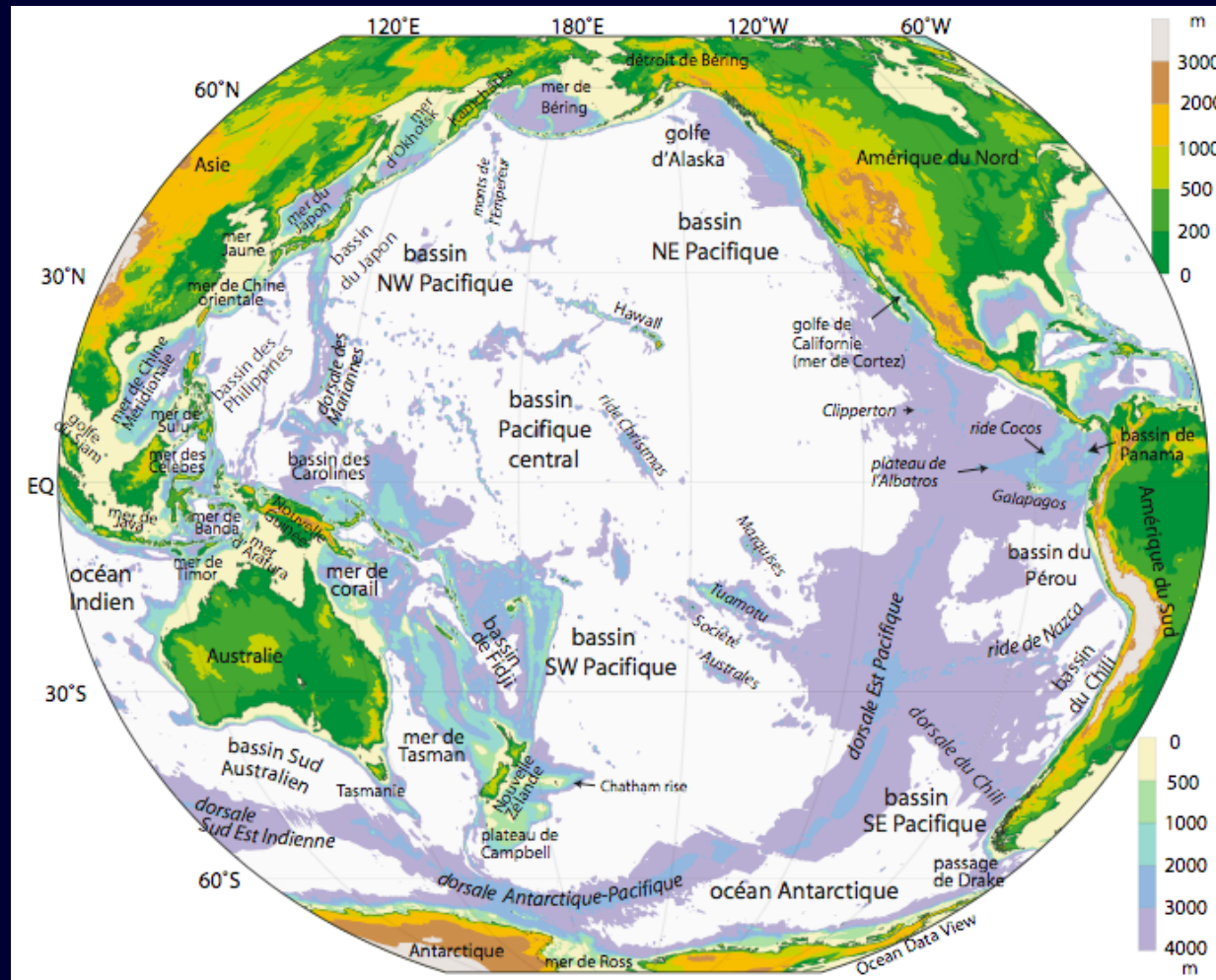


## Salinité à 1000m



Océan Pacifique

# Océan Pacifique

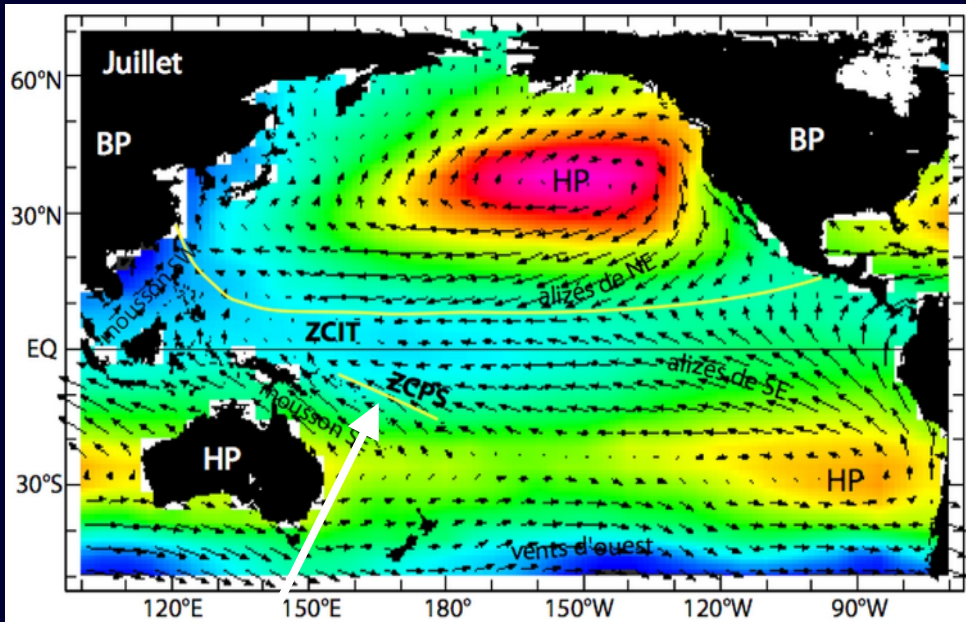


165,2 millions km<sup>2</sup>

Bathymétrie de l'Océan Pacifique  
En blanc Z > 4000m

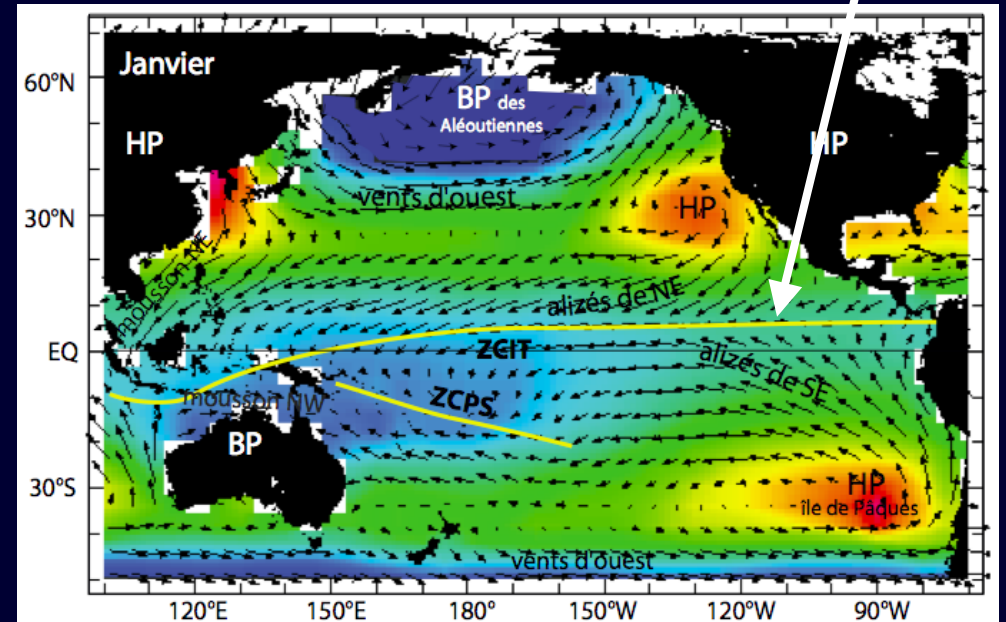
# Océan Pacifique

Janvier



Juillet

Zone de Convergence Intertropicale



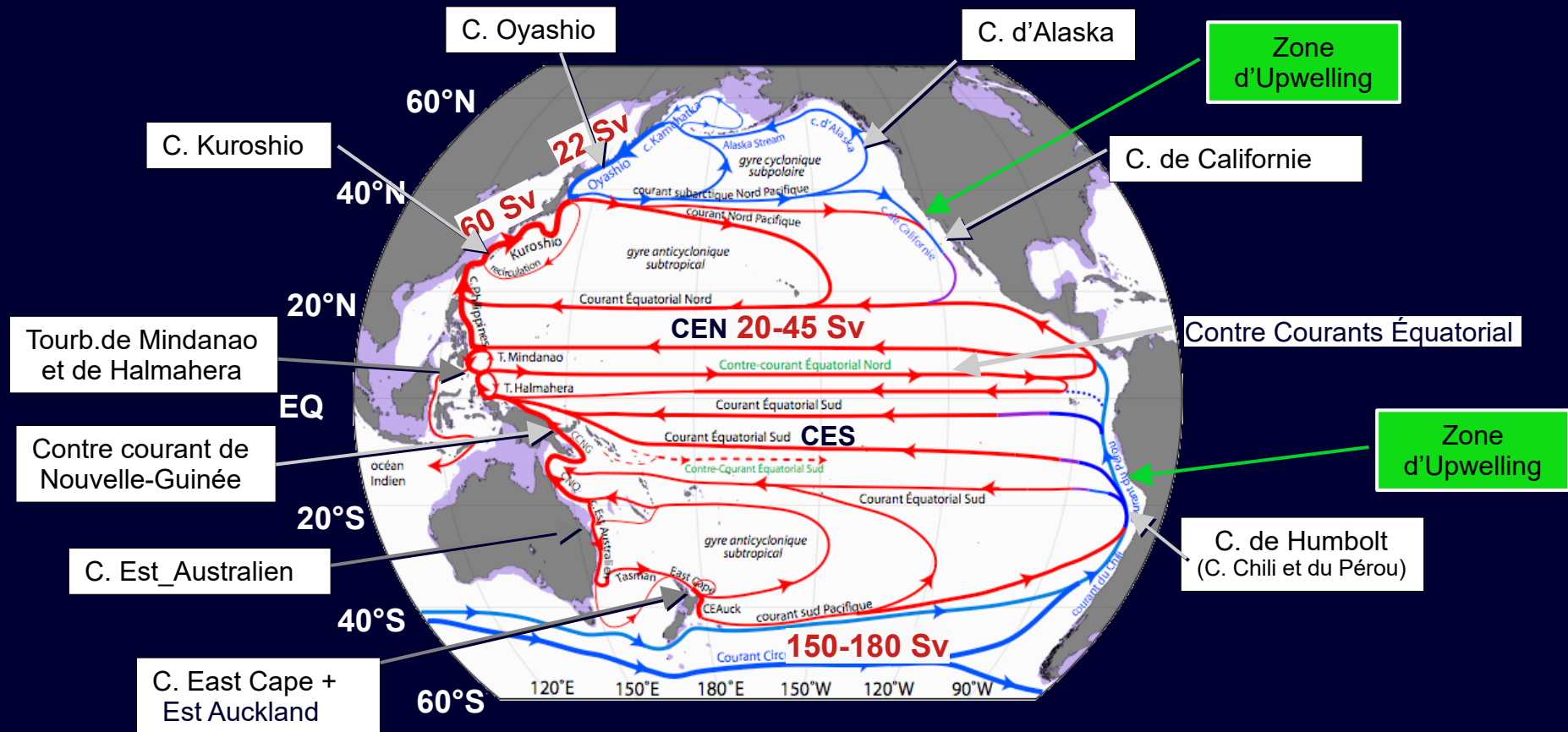
Zone de Convergence Pacifique Sud

Pression atmosphérique au niveau de la mer (mbar)





# Circulation de surface de l'Océan Pacifique (mai à décembre).

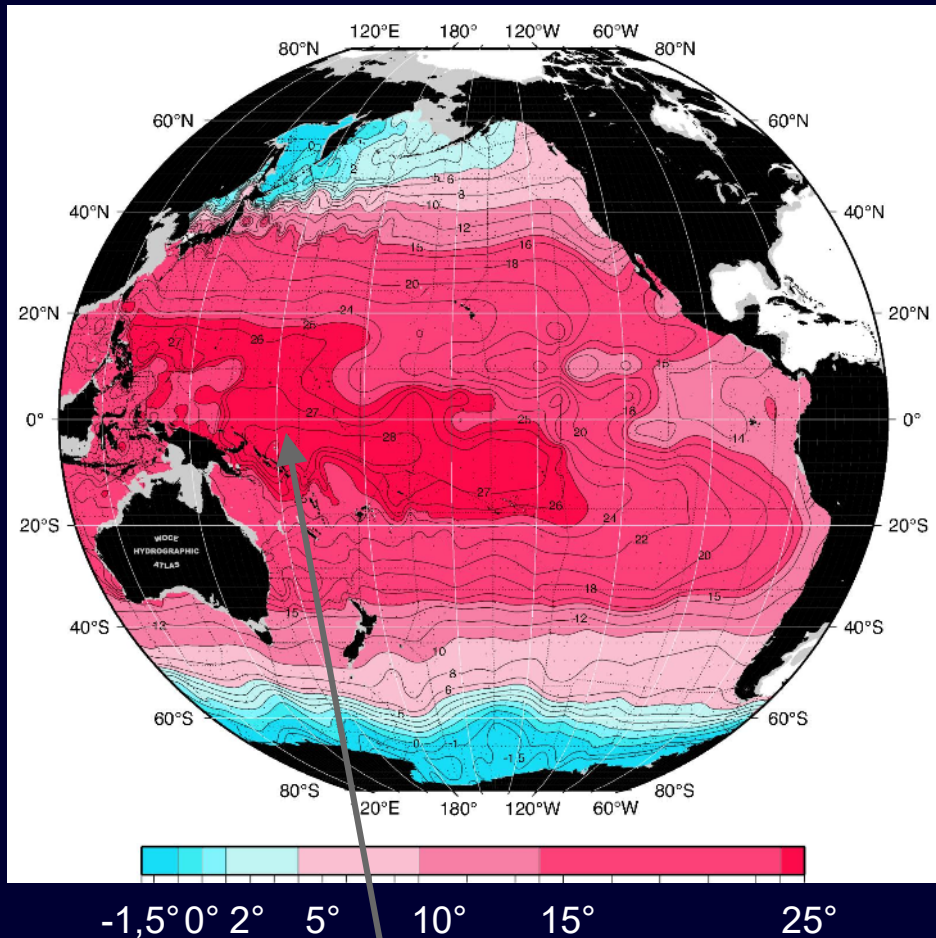


Circulation de surface de l'Océan Pacifique de mai à décembre ; de janvier à avril le CCNG (Contre courant de Nouvelle Guinée) change de sens.

Courants Équatorial Sud et Nord	CES, CEN	Courant Est Auckland	CEAuck
Contre Courants Équatorial Sud et Nord	CCES et CCEN	Courant Nord Queensland	CNQ
Sous Courants Équatorial Sud et Nord	SCE, SCES, SCEN	Tourbillon de Mindanao	
Contre courant de Nouvelle Guinée	CCNG	Tourbillon de Halmahera	
Courant Équatorial Intermédiaire	CEI	Tourbillon anticyclonique de d'East Cape	

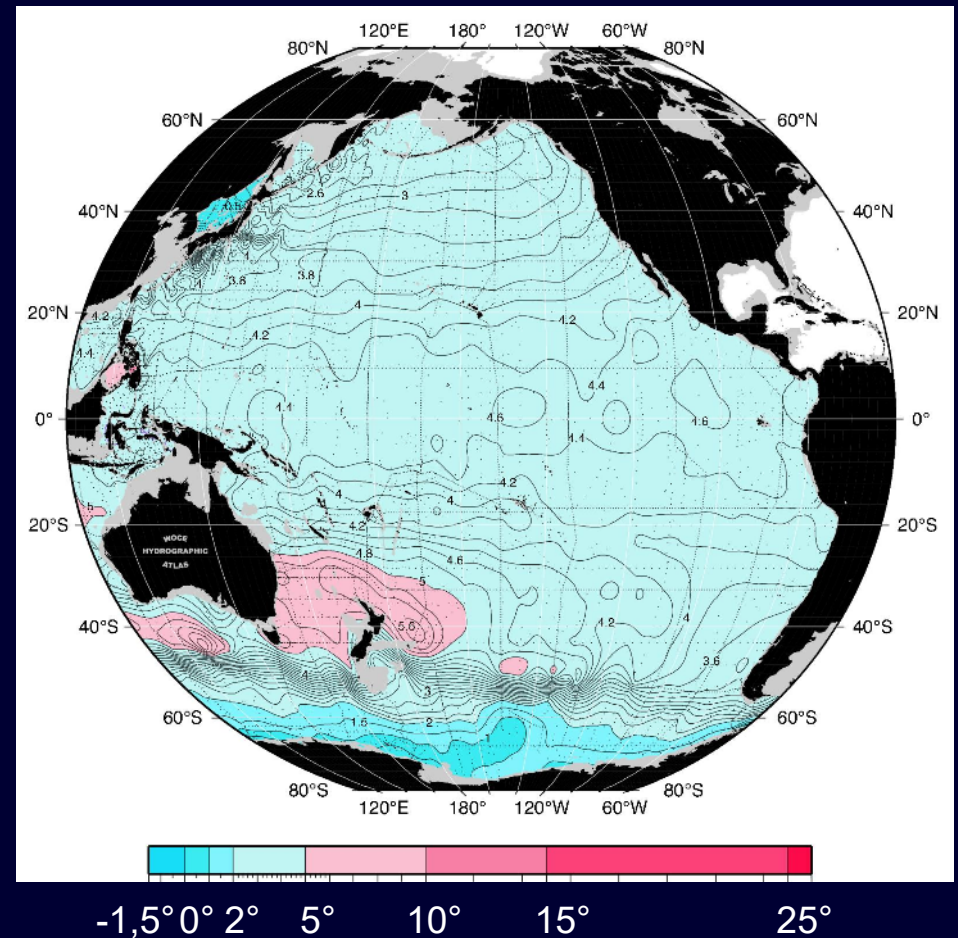
# Océan Pacifique, températures

## Température potentielle à 100 m



« Piscine chaude » de la terre

## Température potentielle à 1000 m



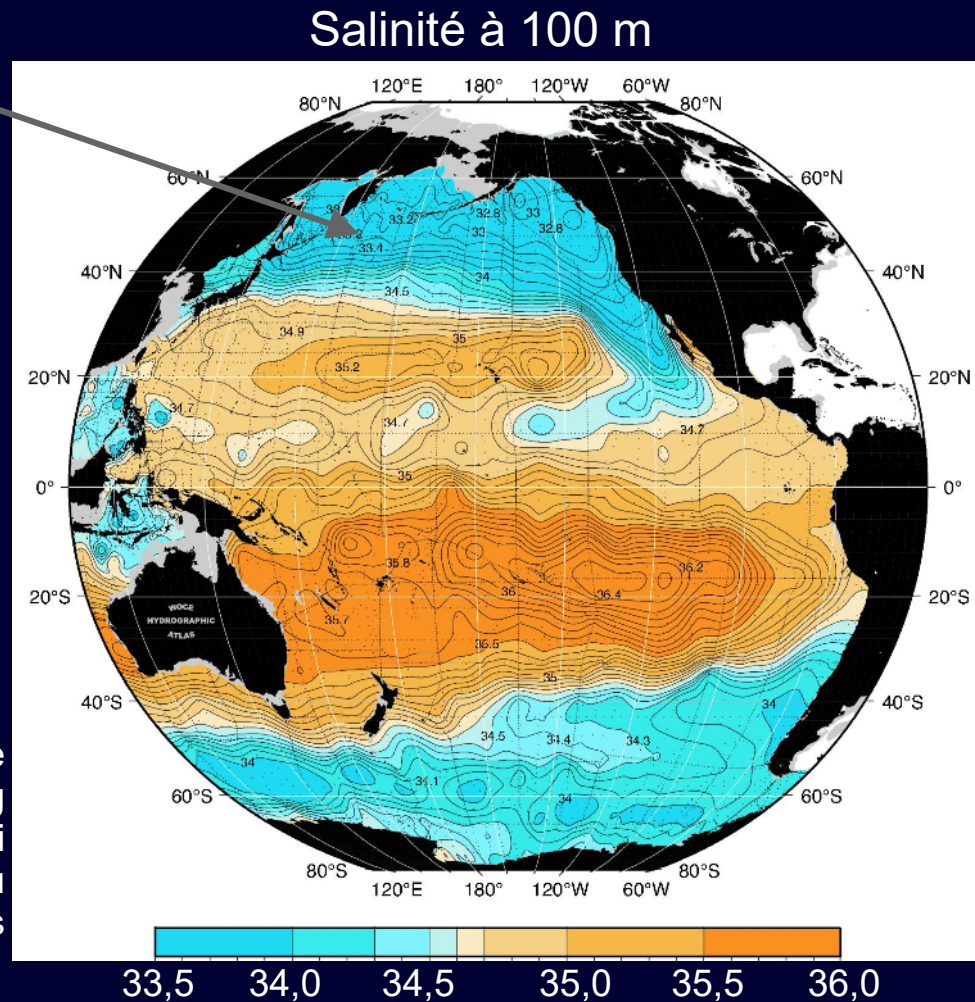
# Océan Pacifique, salinité

Zone froide et dessalée

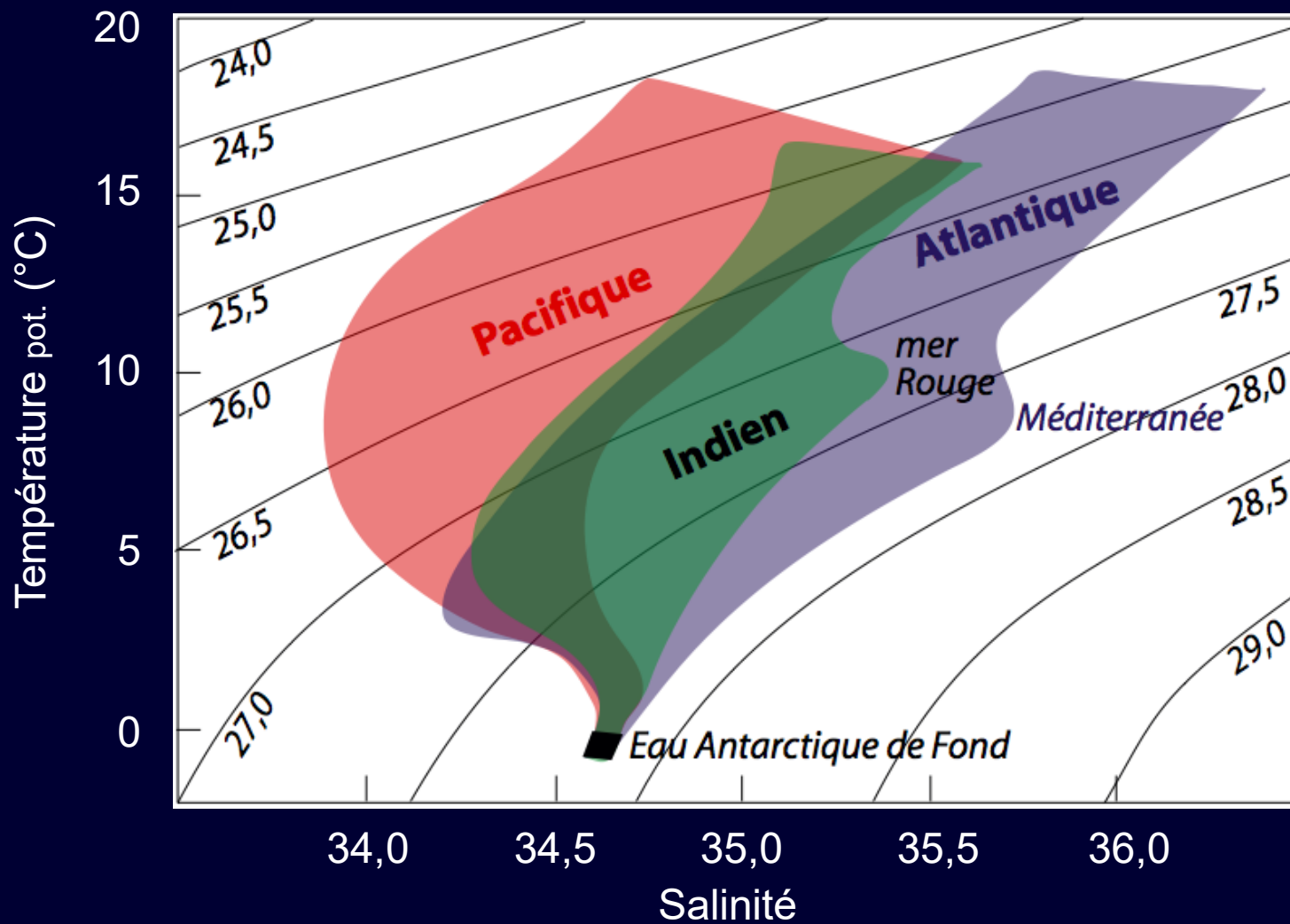
Pourquoi n'y a-t-il pas de formation d'eau profonde dans le Pacifique Nord ?

- Les eaux du Kurushio sont peu salées car il a pour origine une région où les précipitations sont supérieures à l'évaporation.
- Le Pacifique Nord : peu d'évaporation et précipitations importantes.

Ainsi, malgré la formation de glace de mer dans le détroit de Béring en hiver, les conditions qui permettent la plongée d'eau profonde ne sont pas toutes réunies dans le Pacifique Nord.

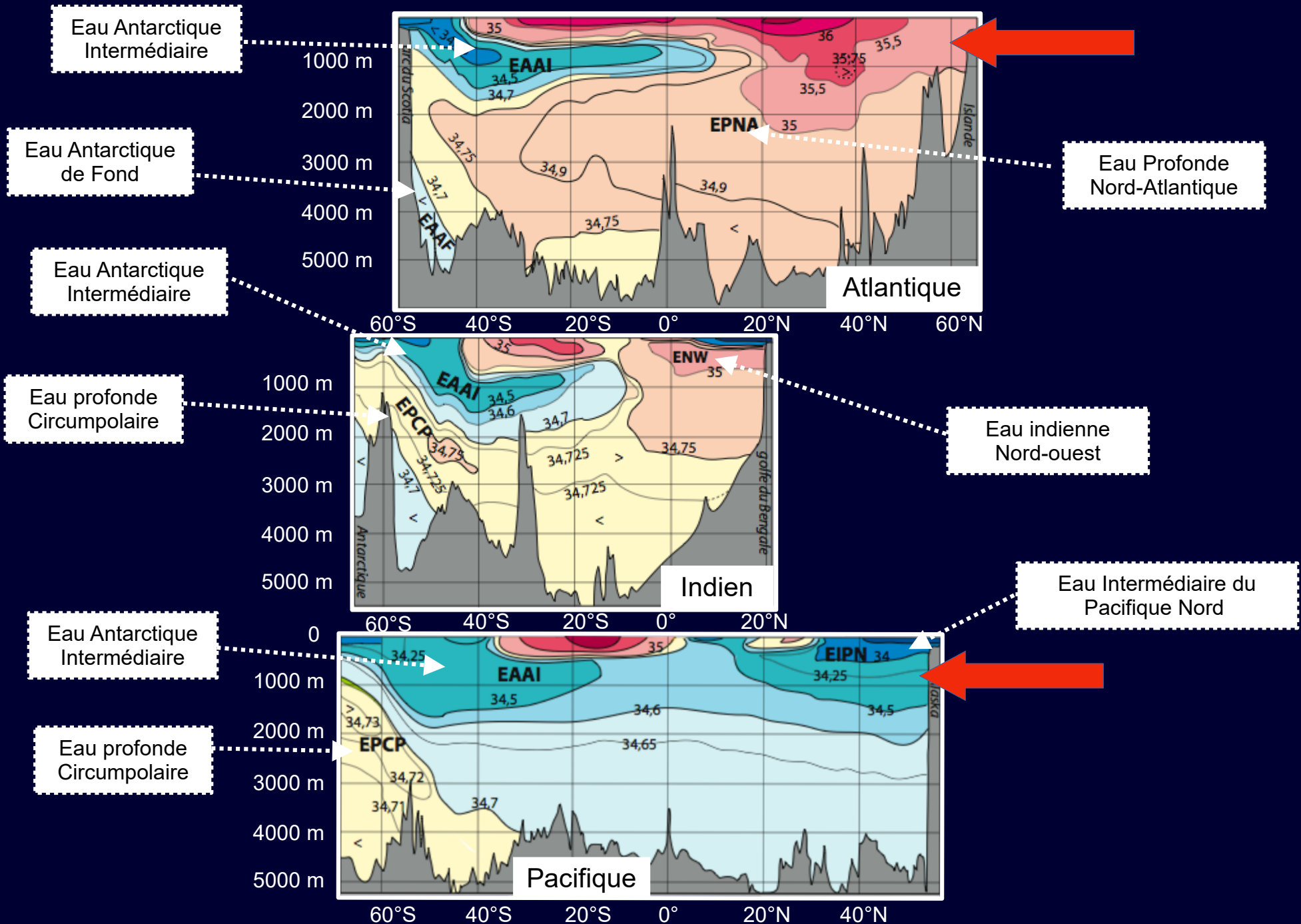


Comparaison des trois océans : Atlantique, Indien, Pacifique



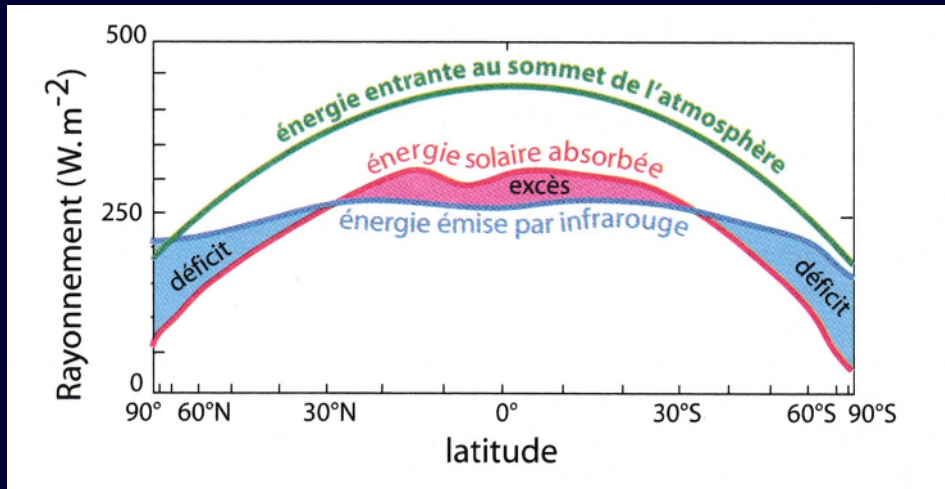
Enveloppes des caractéristiques T-S des océans sous la couche de surface chaude

# Sections des salinités pour les océans Atlantique, Indien et Pacifique

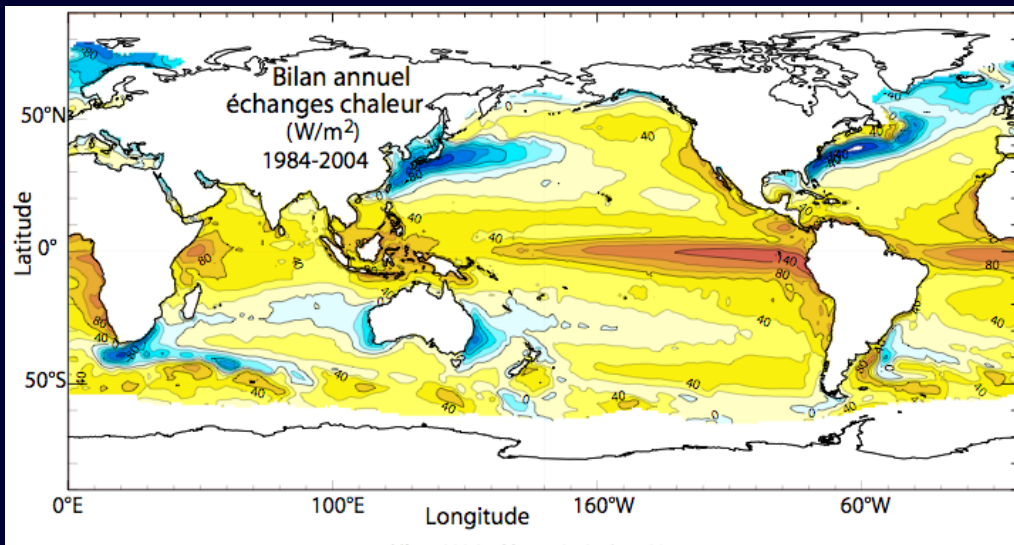
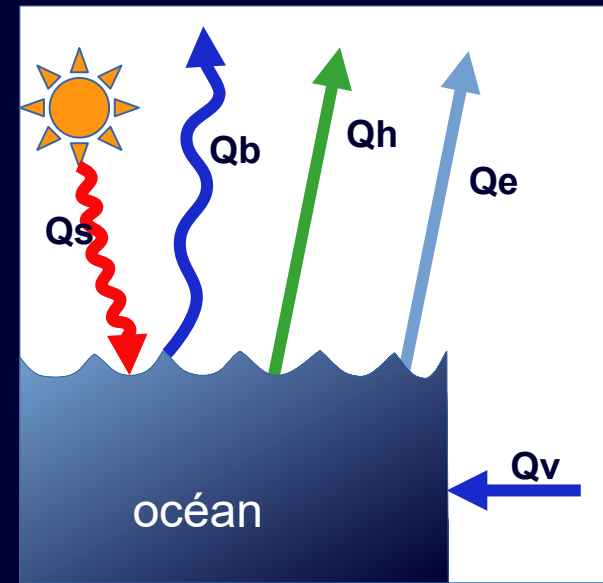


Flux de chaleurs : Interaction océan/atmosphère

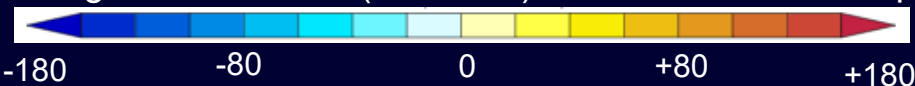
# Bilan annuel des échanges de chaleur Océan/Atmosphère



Distribution en fonction de la latitude de l'énergie solaire incidente, solaire absorbée et réémise sous forme d'infrarouge.



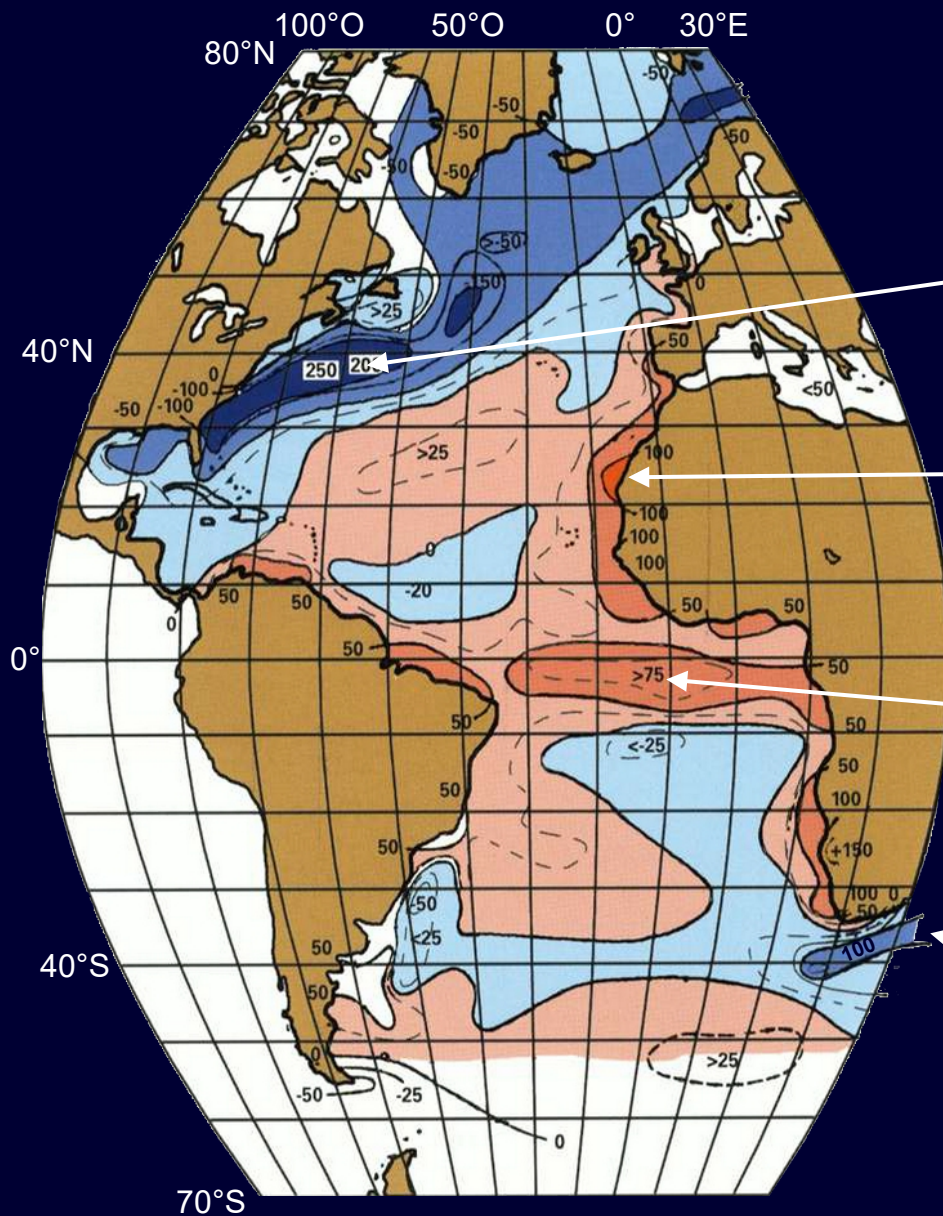
Échanges de chaleurs (en  $W\ m^{-2}$ ) entre océan et atmosphère



Flux de chaleur	Moy. $W/m^2$	Variations $W/m^2$
<b>Qs</b> : Flux par rayonnement solaire	+150	80 à 200
<b>Qb</b> : Flux radiatif de grande longueur d'onde	-50	Faibles
<b>Qh</b> : Flux par conduction et convection (Chaleur sensible)	-10	0 à -40
<b>Qe</b> : Flux par évaporation / condensation (Chaleur latente)	-90	-50 à -160
<b>Qv</b> : flux par transport d'eau	0	-100 à +200



# Bilan de l'échange énergétique de l'océan Atlantique.



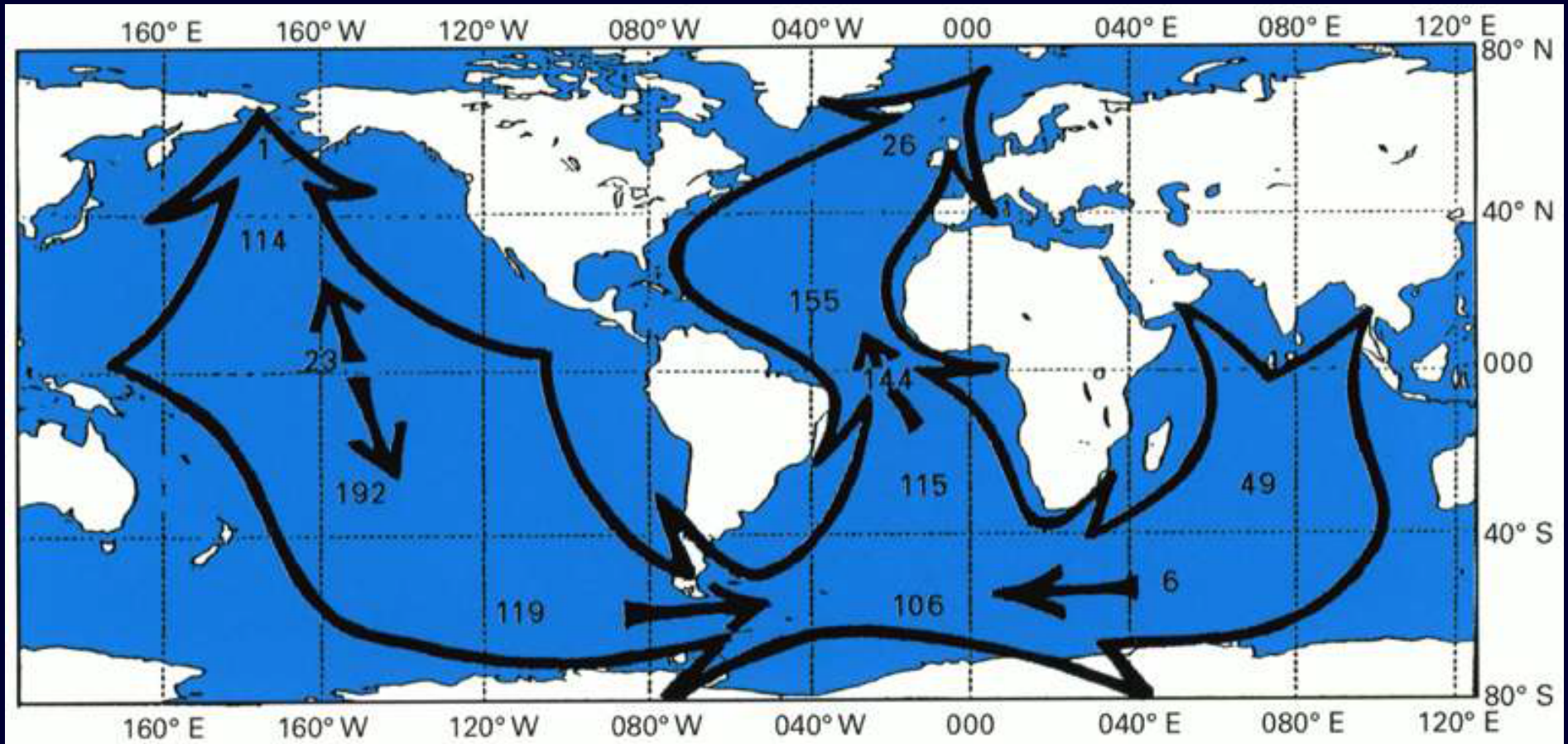
Déficit associé au Gulf Stream de 250  $\text{watts/m}^2$  vers 40° N quand le courant chaud pénètre dans une région où l'air est sec et froid : perte de « chaleur latente » par intense évaporation.

Gain pour l'océan associé à une zone de remontée d'eau froide.

Gain pour l'océan d'environ 75  $\text{watts/m}^2$  dans la région équatoriale.

Déficit associé au courant chaud des Aiguilles

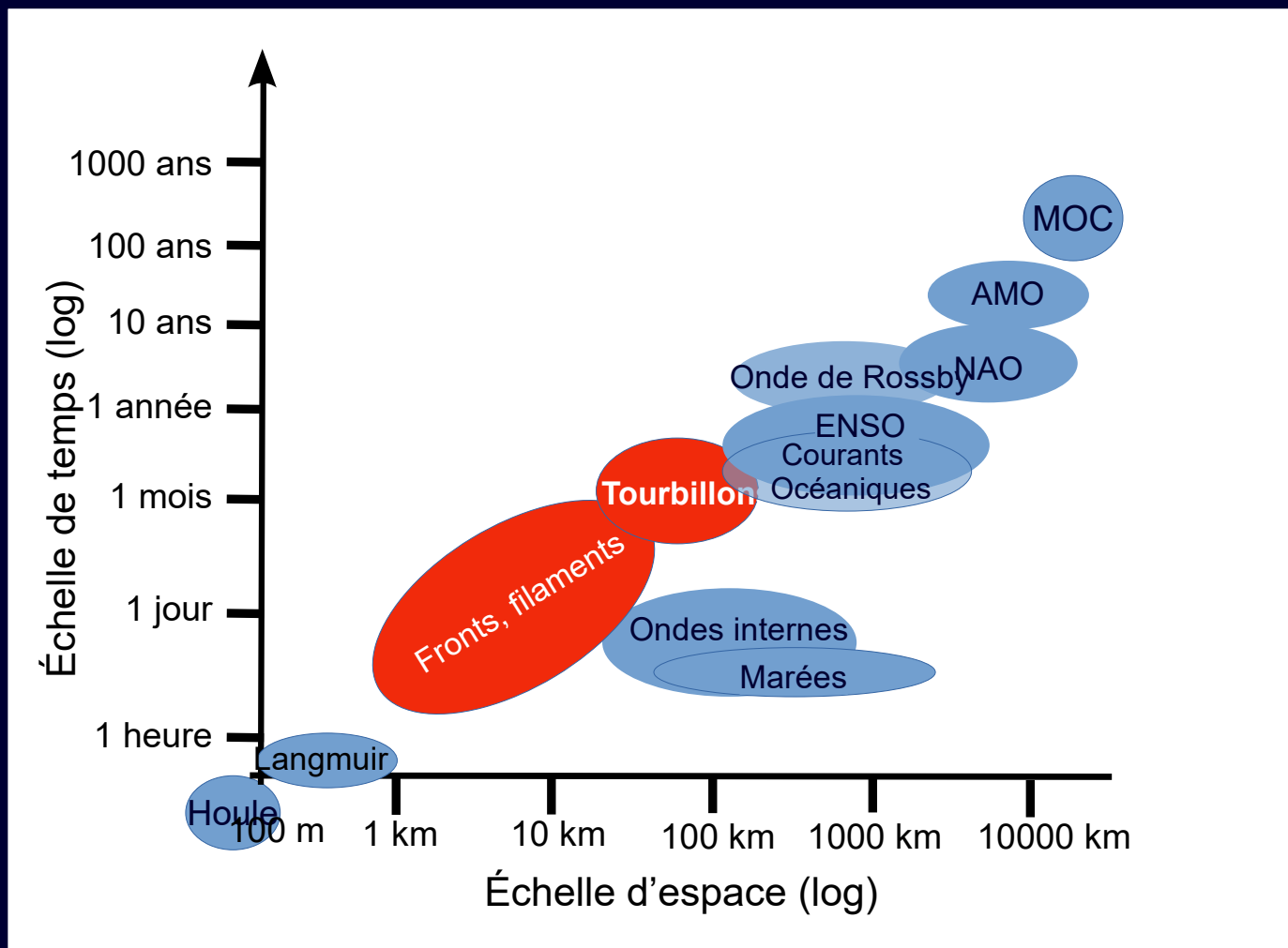
# Transport thermique océanique mondial



Le transport thermique océanique mondial. Schéma adapté d'une étude de STOMMEL en 1980. Les chiffres indiquent le transport thermique en  $10^{13}$  watts, soit 0,01 petawatt. On remarque que l'Atlantique est alimenté en chaleur par les deux autres océans et cette chaleur se concentre dans l'Atlantique nord.

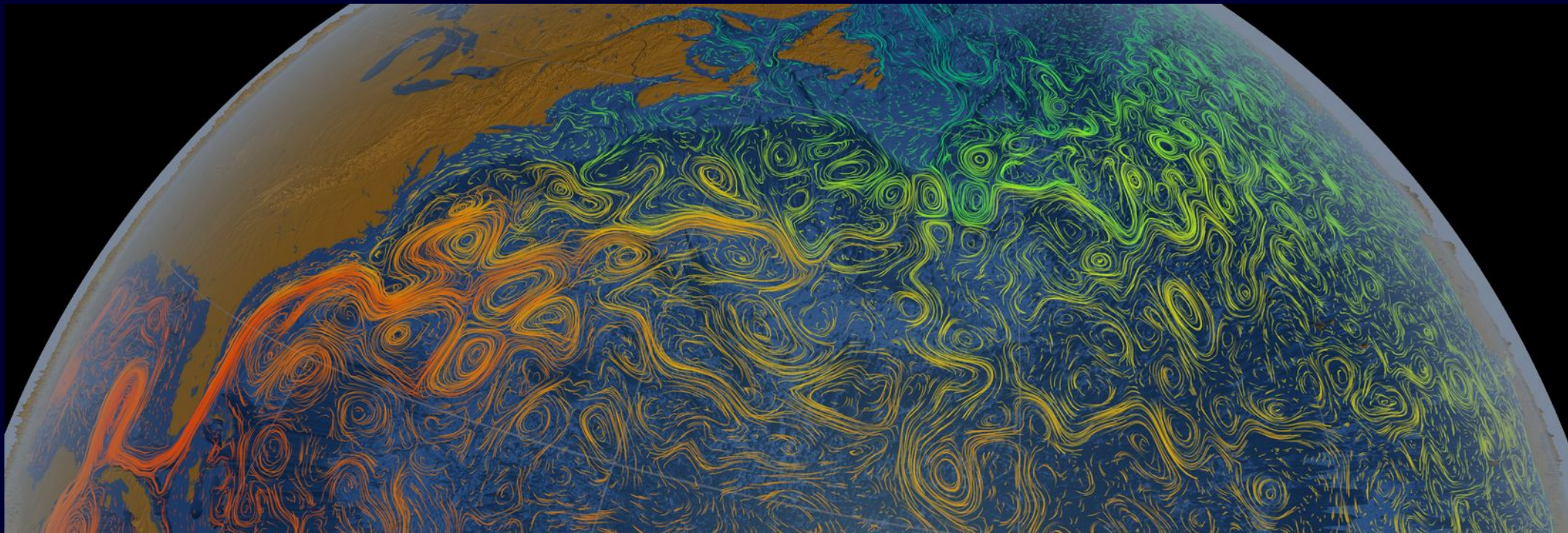
Changeons d'échelles dans la dynamique de l'océan

# Échelles de temps et d'espace dans la dynamique de l'océan



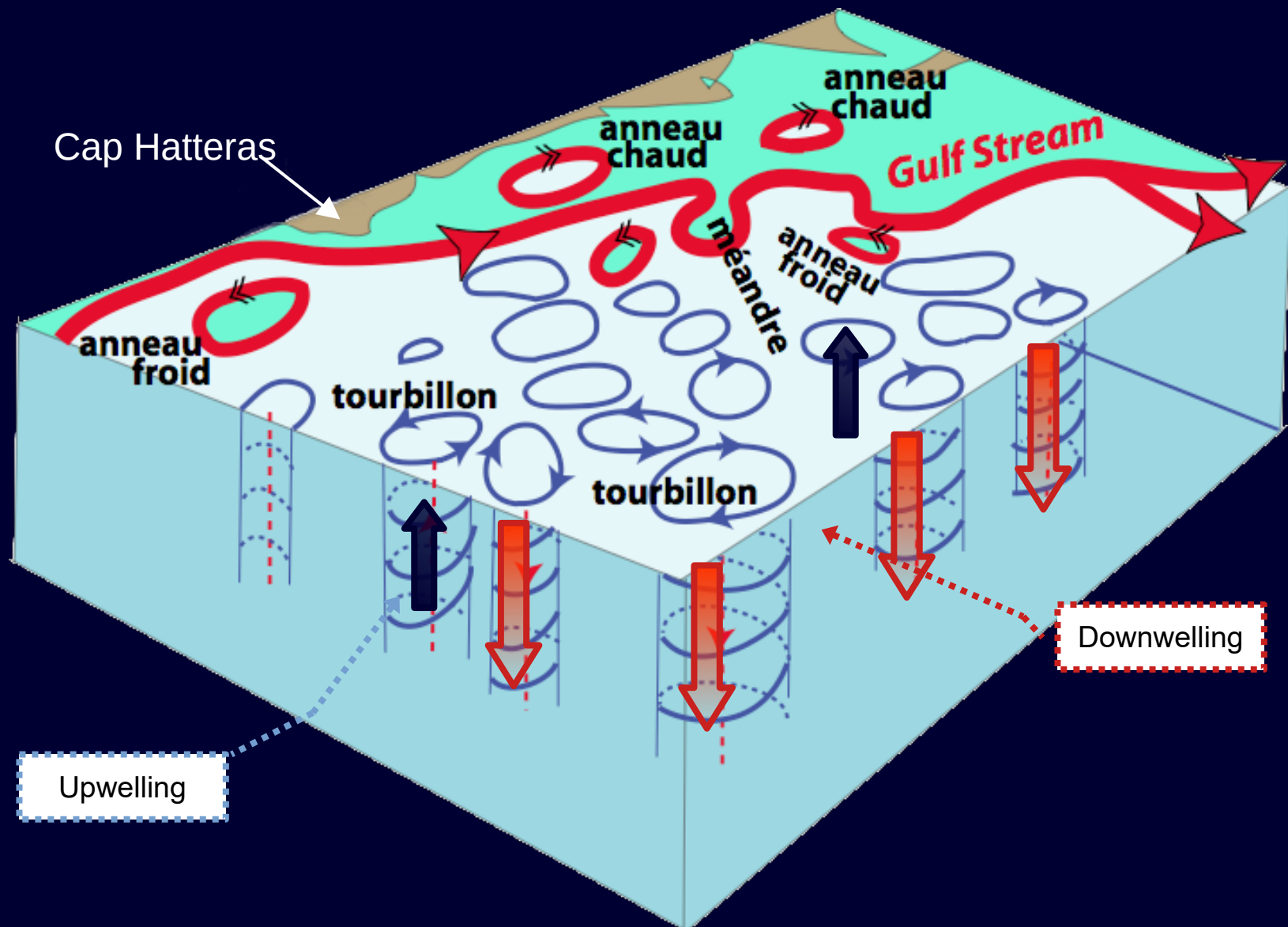
Échelles de temps et d'espace de composants de la dynamique physique de l'océan

# Circulation à mésoéchelle



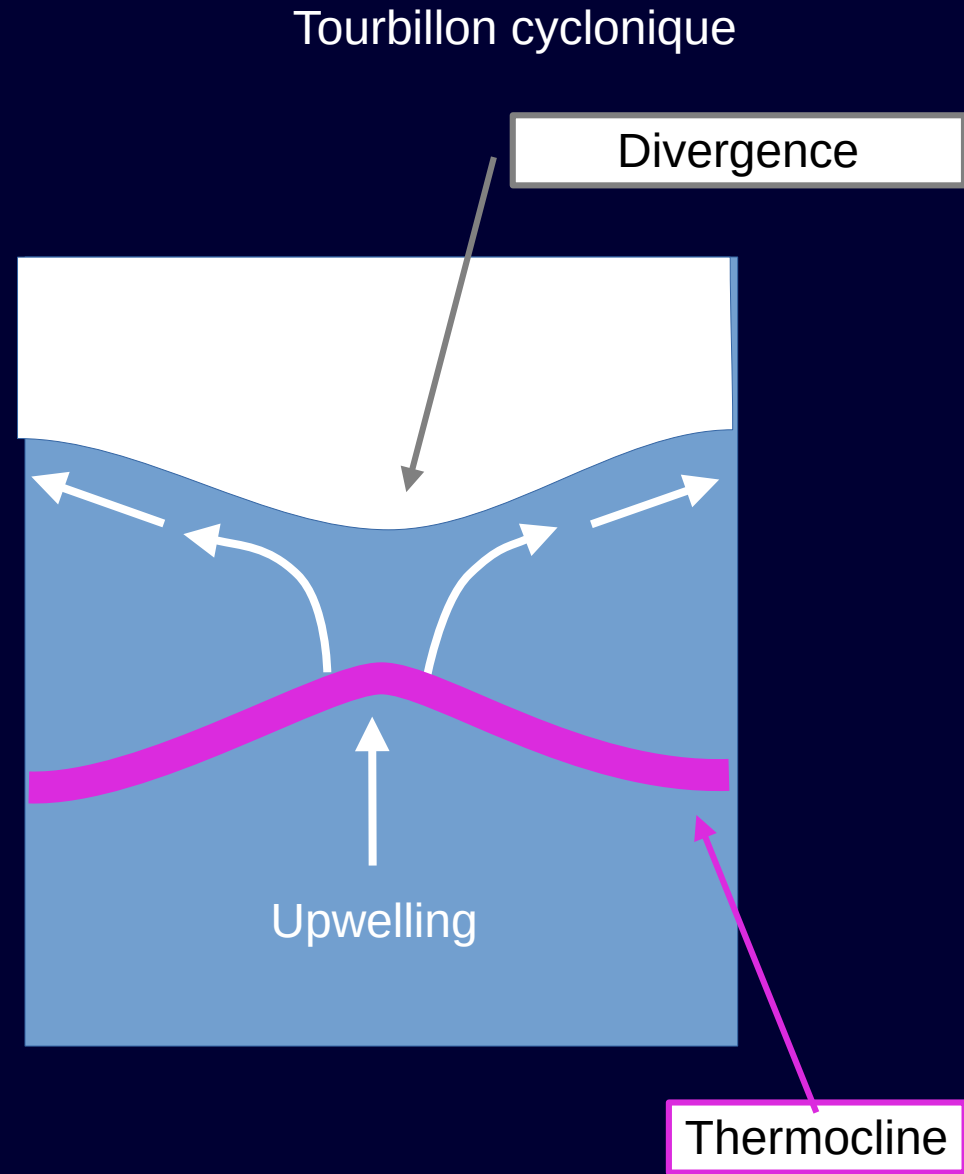
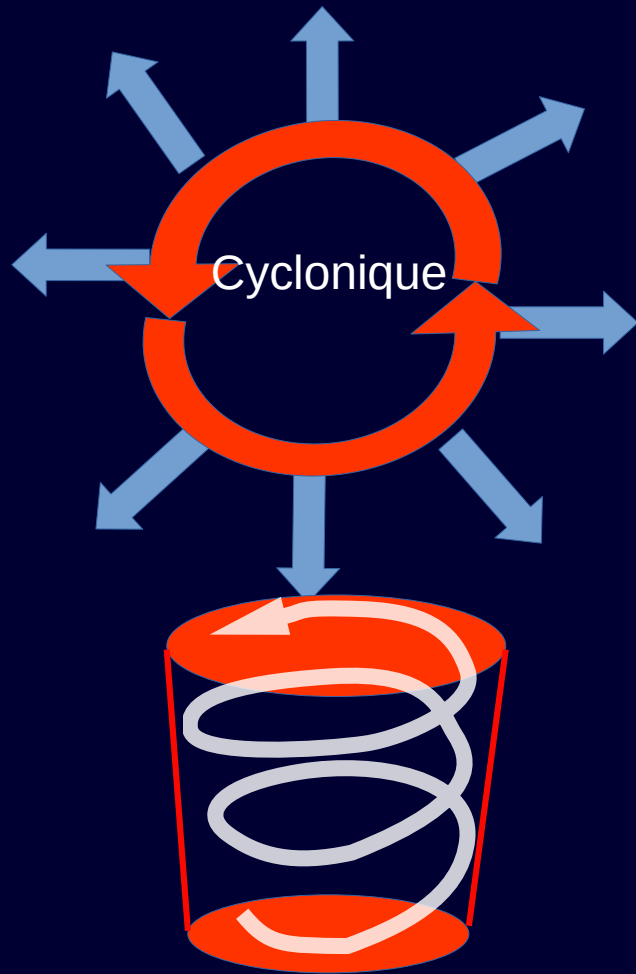
<https://svs.gsfc.nasa.gov/3913>

# Méandres, anneaux et tourbillons du Gulf Stream



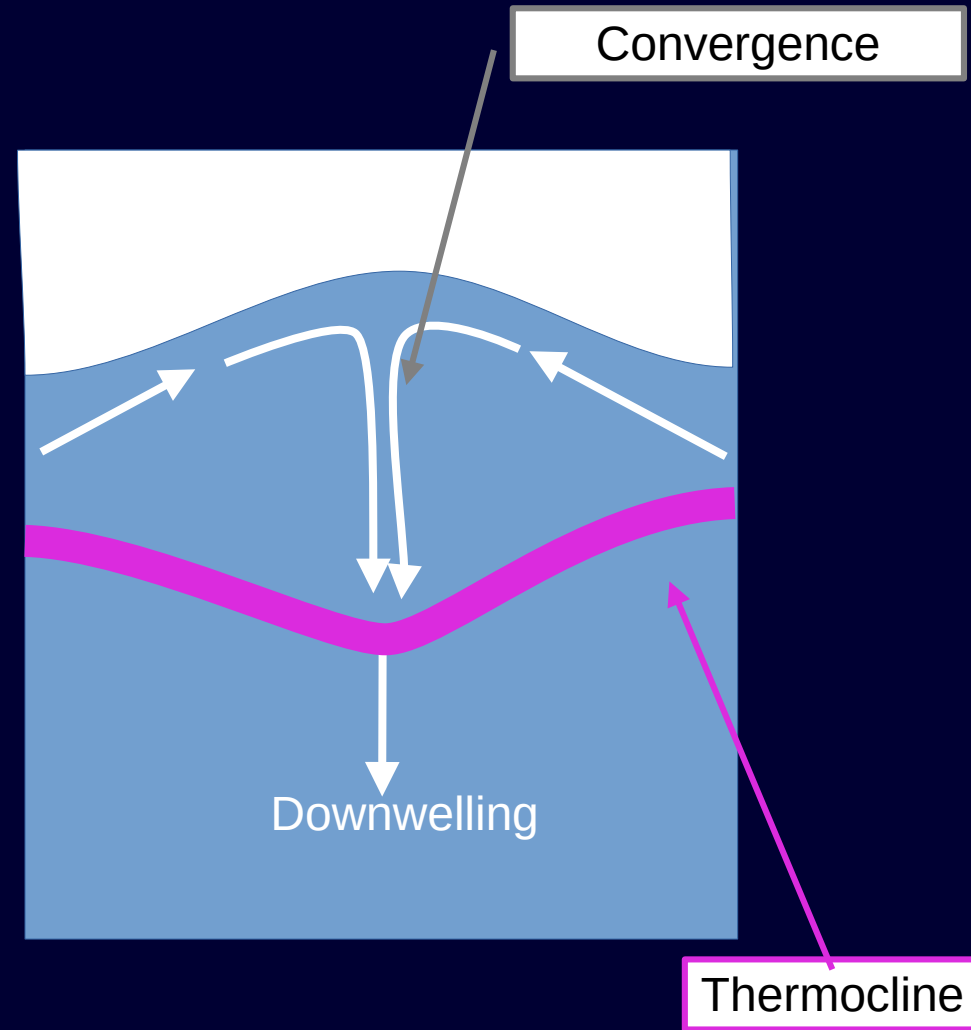
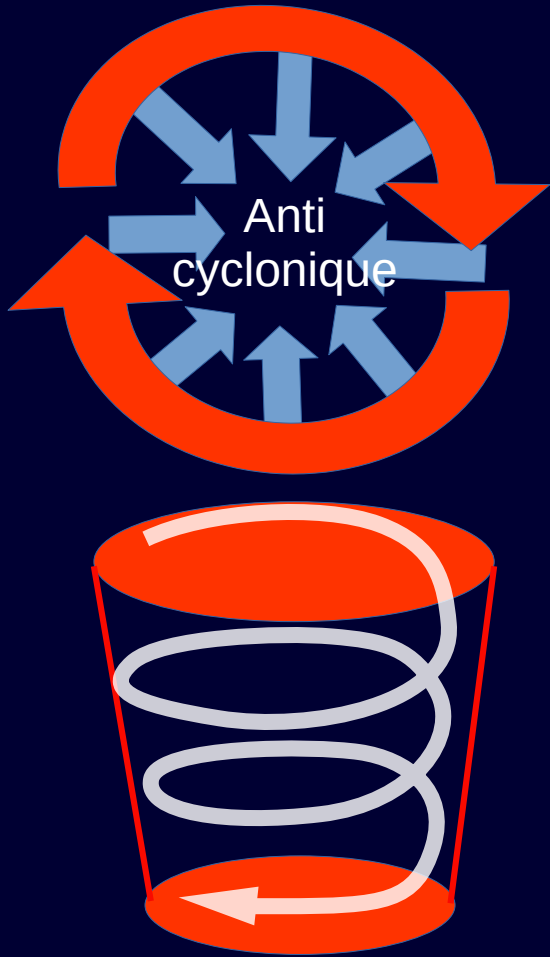
\*Upwelling : remontée d'eau. Downwelling : plongée d'eau.

# Tourbillon cyclonique dans l'hémisphère nord



# Tourbillon anticyclonique dans l'hémisphère nord

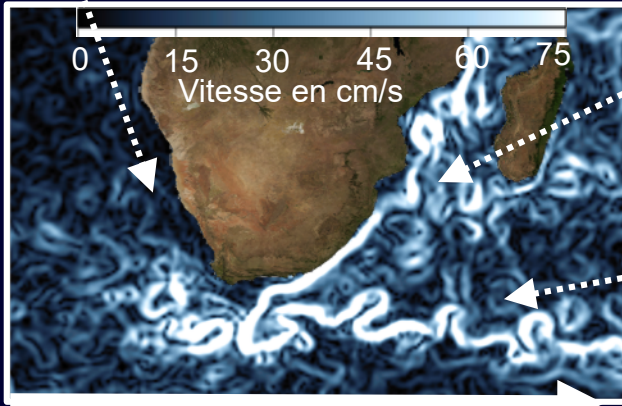
Tourbillon anticyclonique





# Le courant des Aiguilles : une zone d'activité mésoéchelle intense

Courant du Benguela

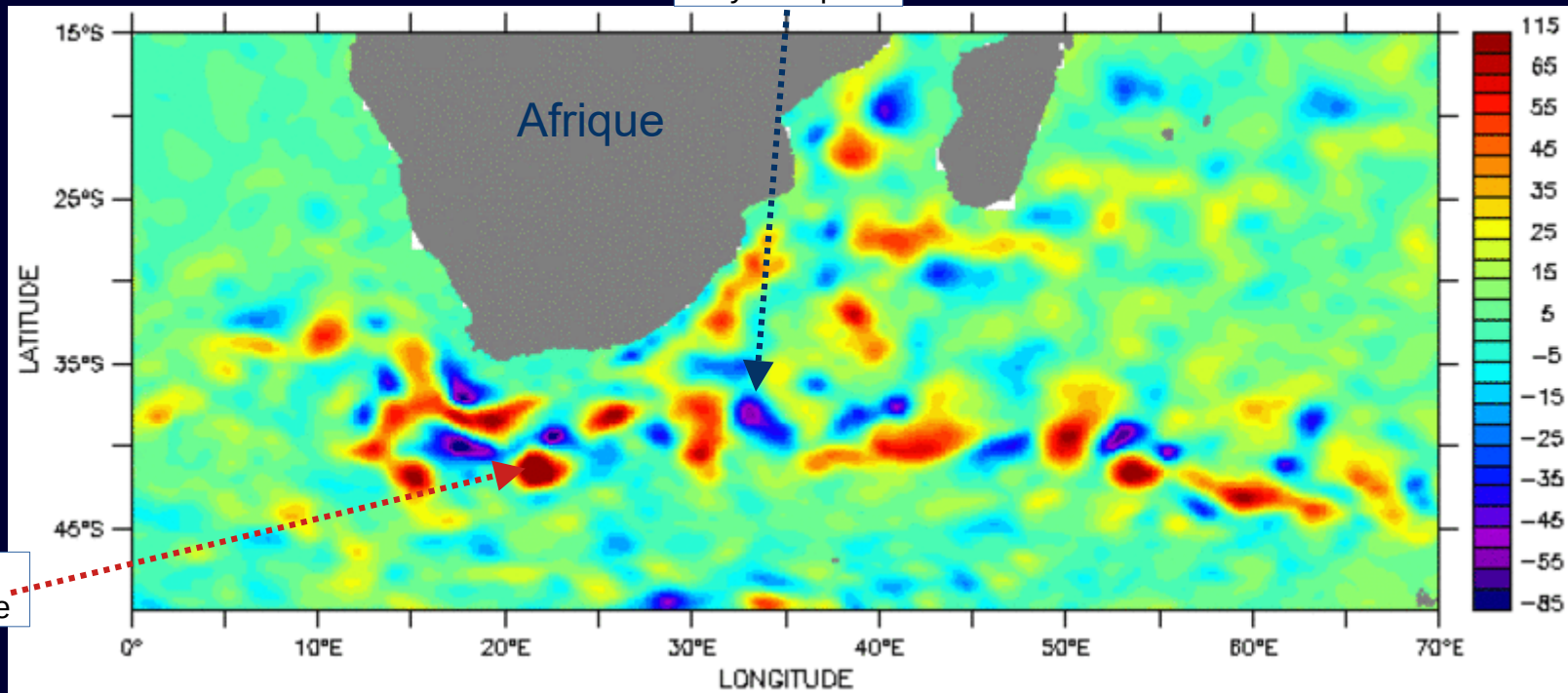
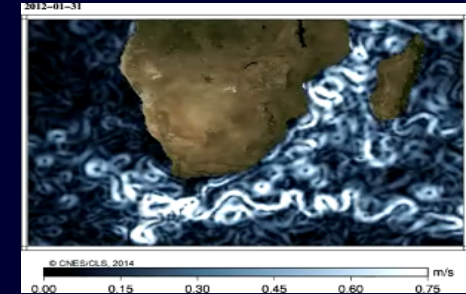


Courant des Aiguilles

Courant de retour des Aiguilles

Courant SubAntarctique

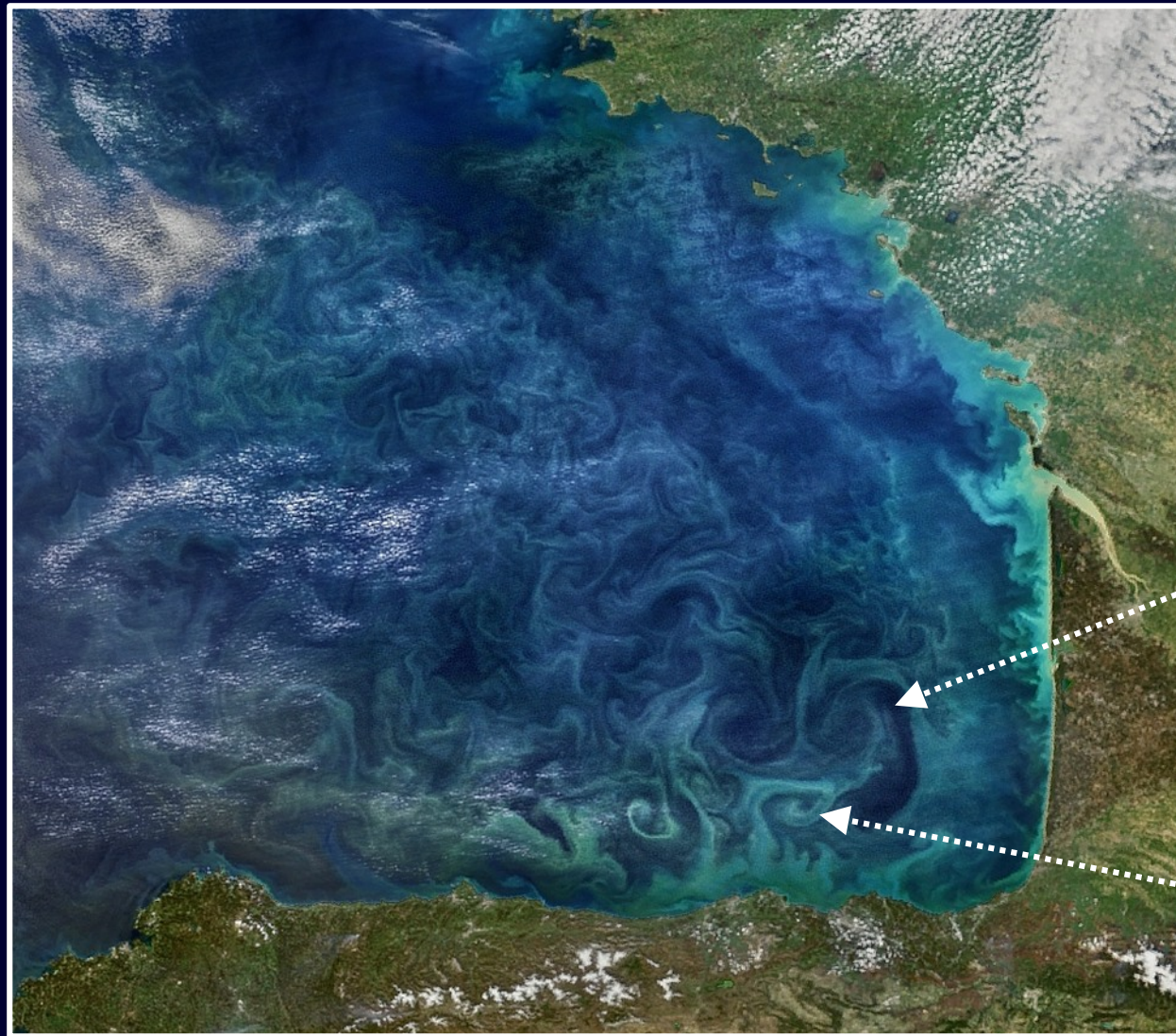
Tourbillon cyclonique



Hauteur d'anomalie (cm)

Mesure par altimétrie satellitaire des anomalies de hauteurs de mer.

# Golfe de Gascogne, mésoéchelle

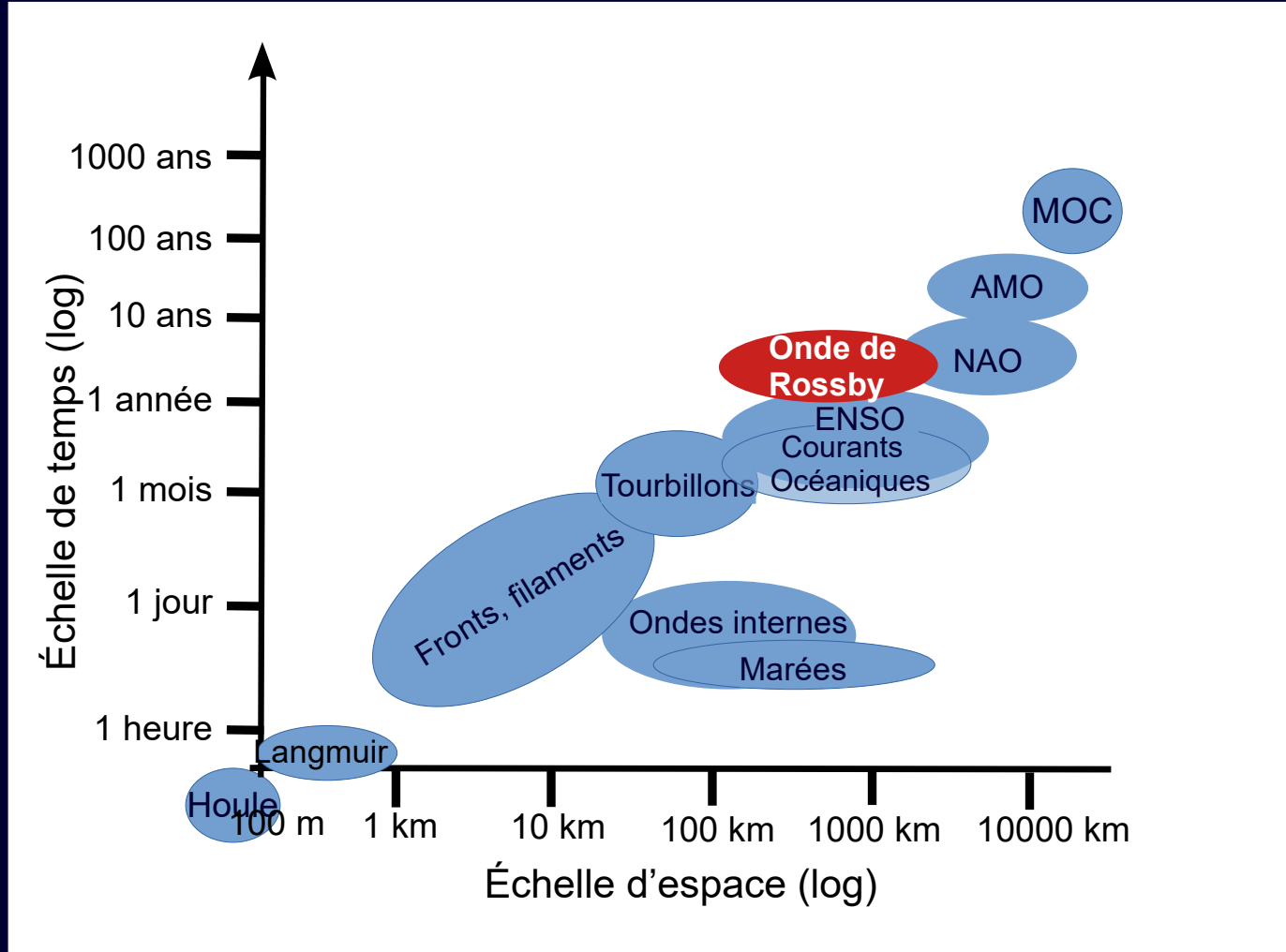


Tourbillon  
cyclonique

Tourbillon  
anticyclonique

Bloom de phytoplancton dans le golfe de Gascogne

# Échelles de temps et d'espace dans la dynamique de l'océan



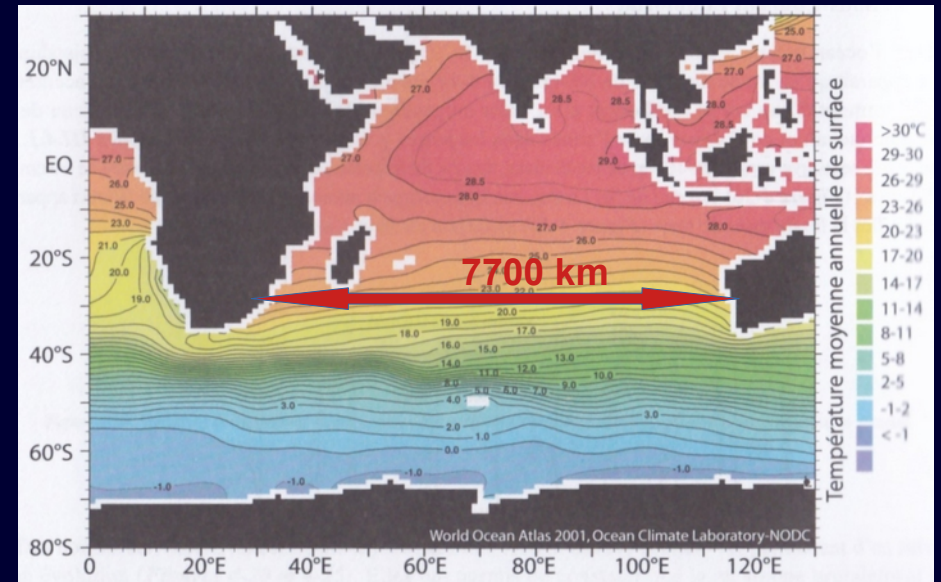
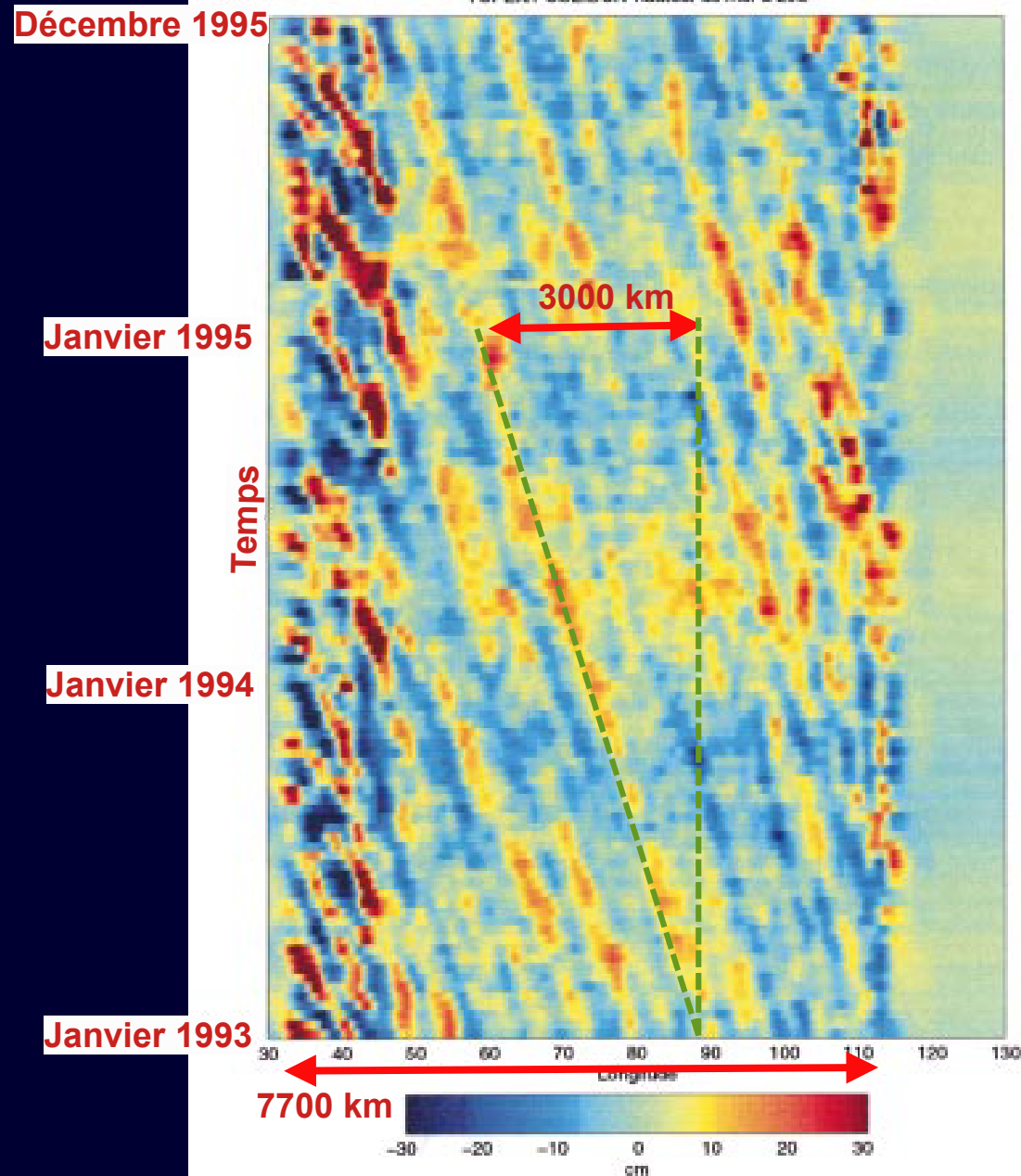
Échelles de temps et d'espace de composants de la dynamique physique de l'océan

## Ondes de Rossby et ondes de Kelvin

Des ondes "planétaires" traversent les océans, d'est en ouest pour les ondes de Rossby, ou inversement pour les ondes de Kelvin.

Elles sont vues comme la réponse de l'océan à des perturbations de grande échelle (supérieure à 400-500km) qui sont créées par des variations de vent, par des ondes se propageant le long des frontières océaniques ou encore par des tourbillons.

# Ondes de Rossby



Ondes de Rossby.

Évolution temporelle du niveau de la mer à une latitude de 29°S dans l'océan Indien. L'abscisse est en degré de longitude, des côtes d'Afrique (30°E) aux côtes de l'Australie (130°E), l'ordonnée en années, de décembre 1992 à décembre 1995.

Les couleurs marquent l'élévation du niveau de la mer.

$$3000 \text{ km} / 2 / 365 / 24 \cong 170 \text{ m/heure}$$

## Ondes de Rossby et ondes de Kelvin

Elles interagissent avec la circulation océanique générale, transportent chaleur et énergie d'une rive à l'autre et provoquent ainsi une intensification de courants comme le Gulf Stream ou le Kuroshio.

Les ondes de Rossby se propagent vers l'ouest avec des périodes longues et à des vitesses qui dépendent de la latitude, rapides à l'équateur et plus lentes lorsque l'on s'en éloigne.

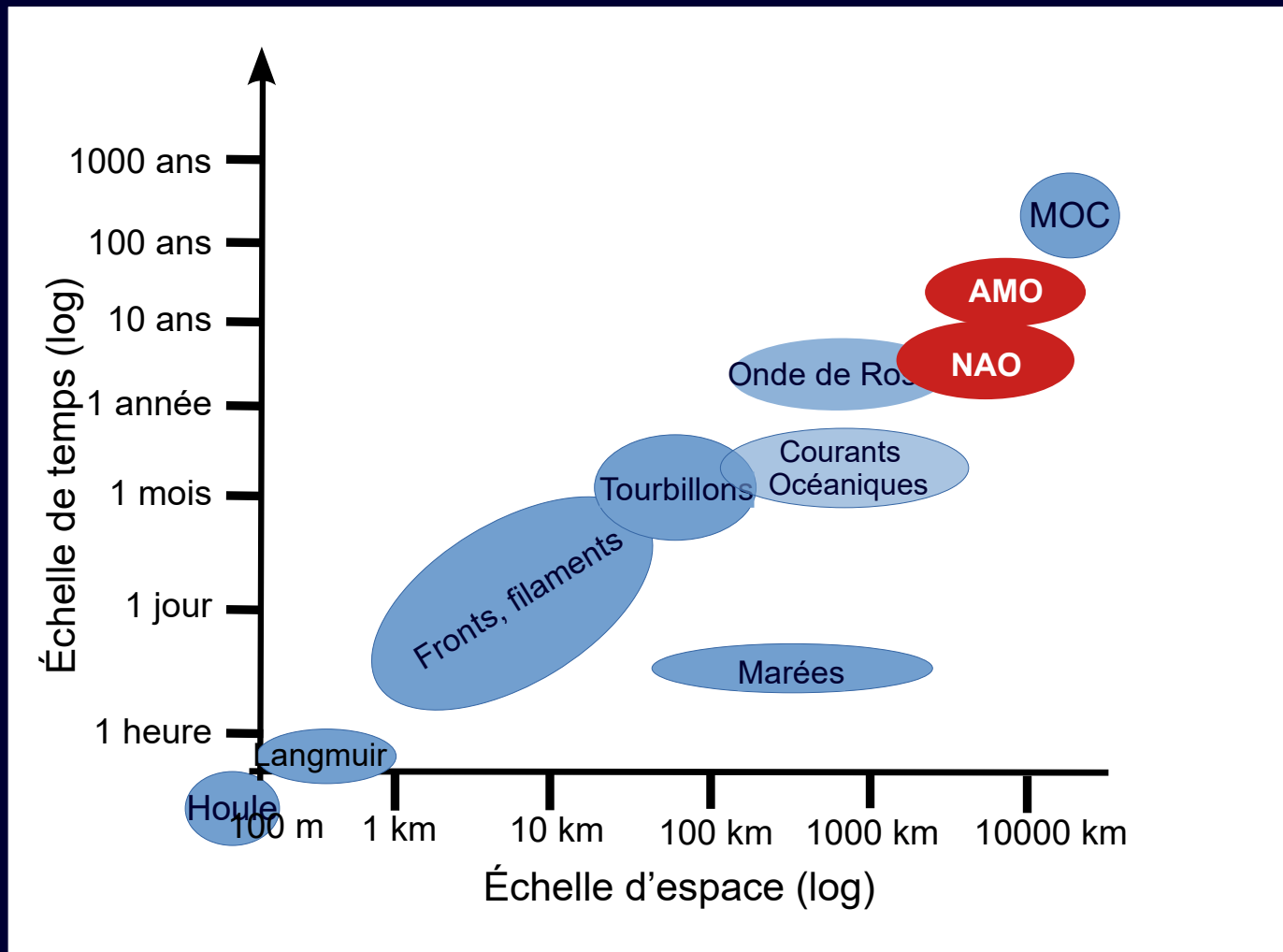
Les ondes de Kelvin se propagent principalement vers l'est en restant piégées le long d'une frontière, qui peut être une côte ou l'équateur, qui leur sert de guide. À l'équateur, elles jouent un rôle très important dans le développement du phénomène El Niño.

Interactions Océan/atmosphère à longues échelles des temps

NAO : Oscillation Nord-Atlantique

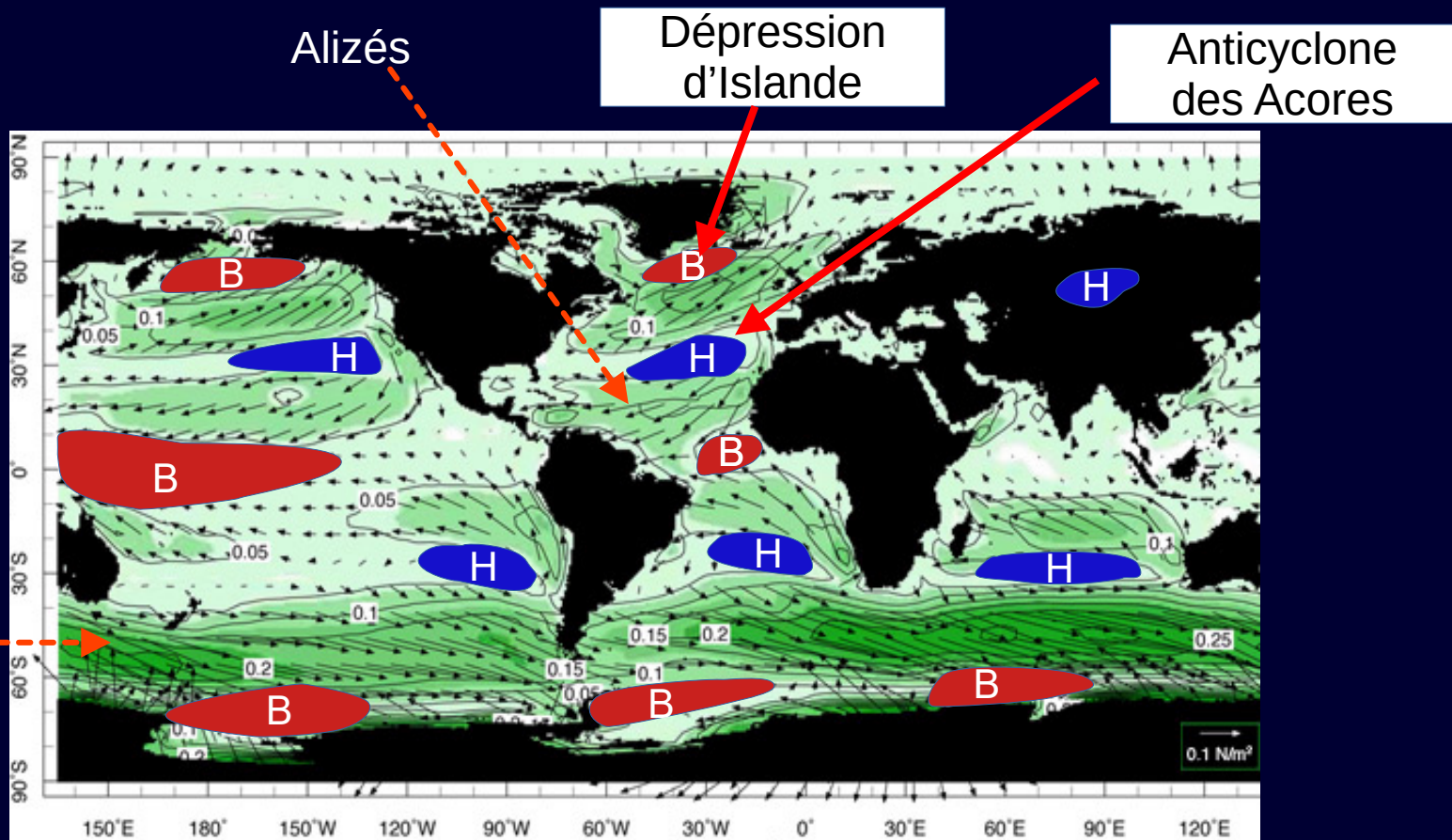


# NAO : Oscillation Nord-Atlantique



Échelles de temps et d'espace de composants de la dynamique physique de l'océan

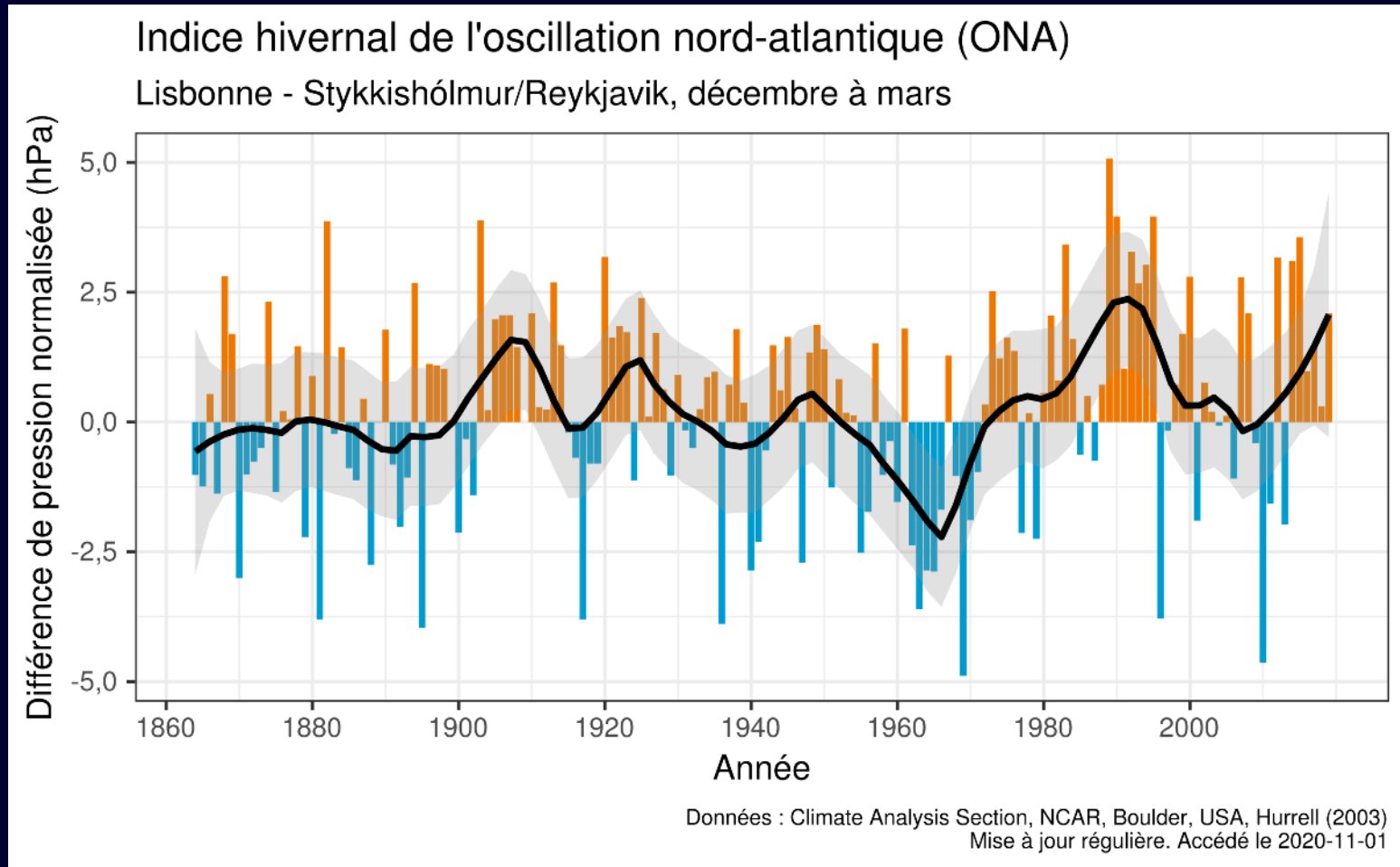
# Pression atmosphérique et vents de surface sur l'océan



Stress éolien moyen annuel sur l'océan.

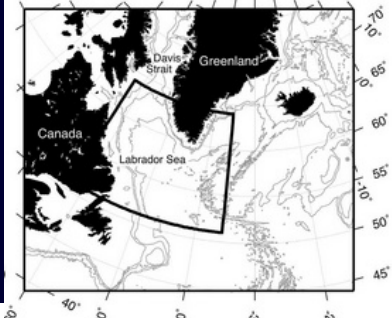
# NAO : Oscillation Nord-Atlantique

L'oscillation nord-atlantique (plus connue sous le sigle anglais NAO) désigne un phénomène touchant le système climatique du nord de l'océan Atlantique.

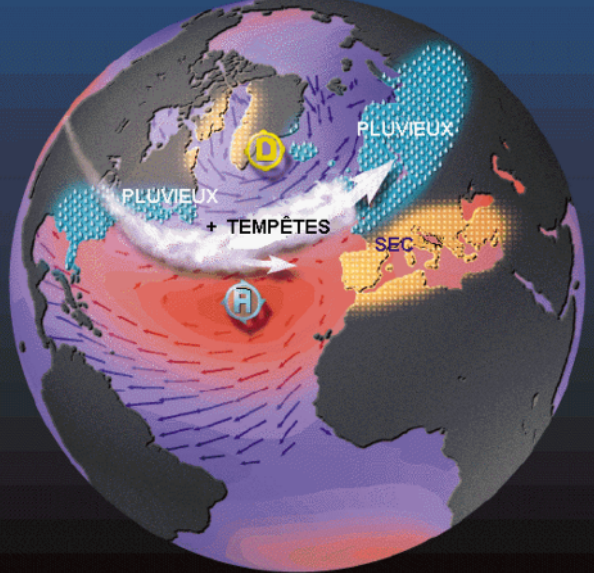


L'indice « NAO » se mesure comme la différence de pression atmosphérique entre l'anticyclone des Açores et la dépression d'Islande (anomalie de pression au niveau de la mer normalisée (décembre à mars) à Lisbonne, Portugal et Stykkisholmur, Islande..

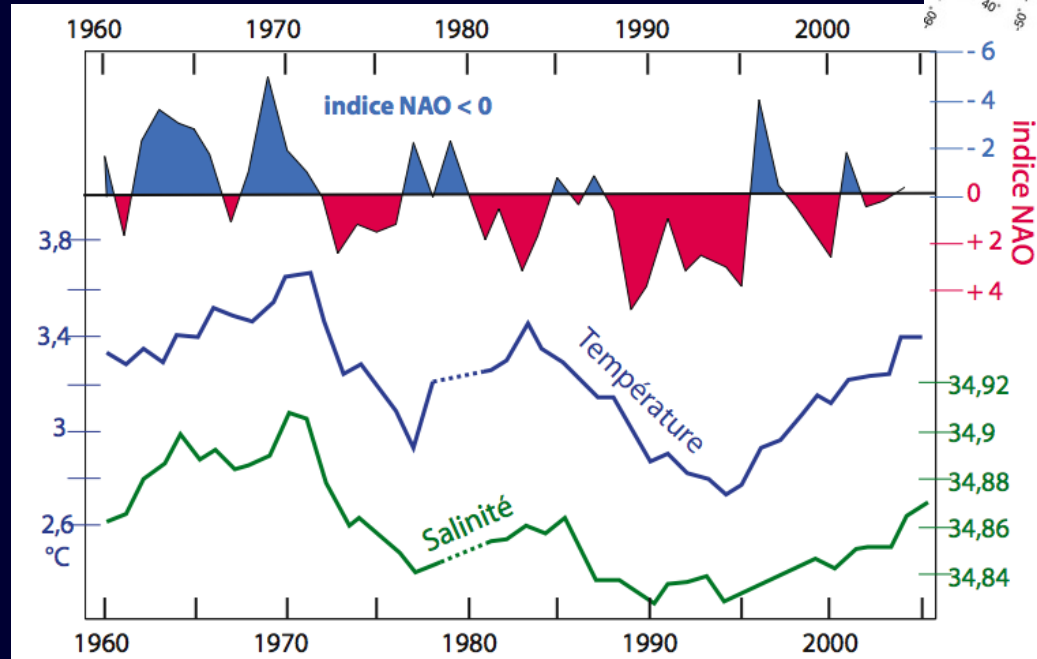
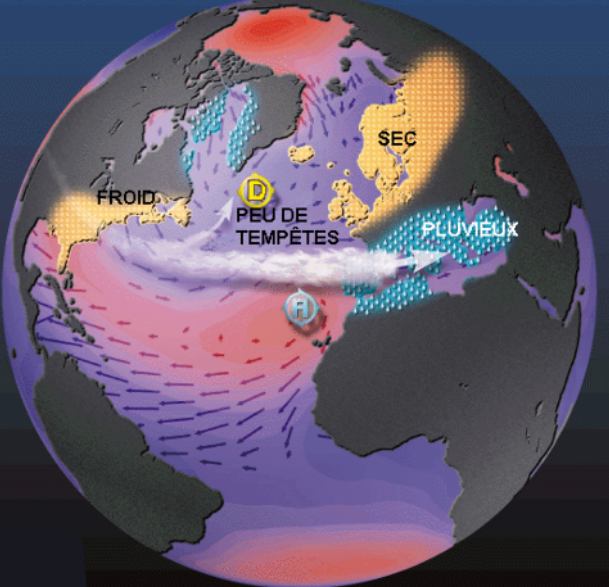
# NAO : Oscillation Nord-Atlantique



## OSCILLATION NORD-ATLANTIQUE POSITIVE

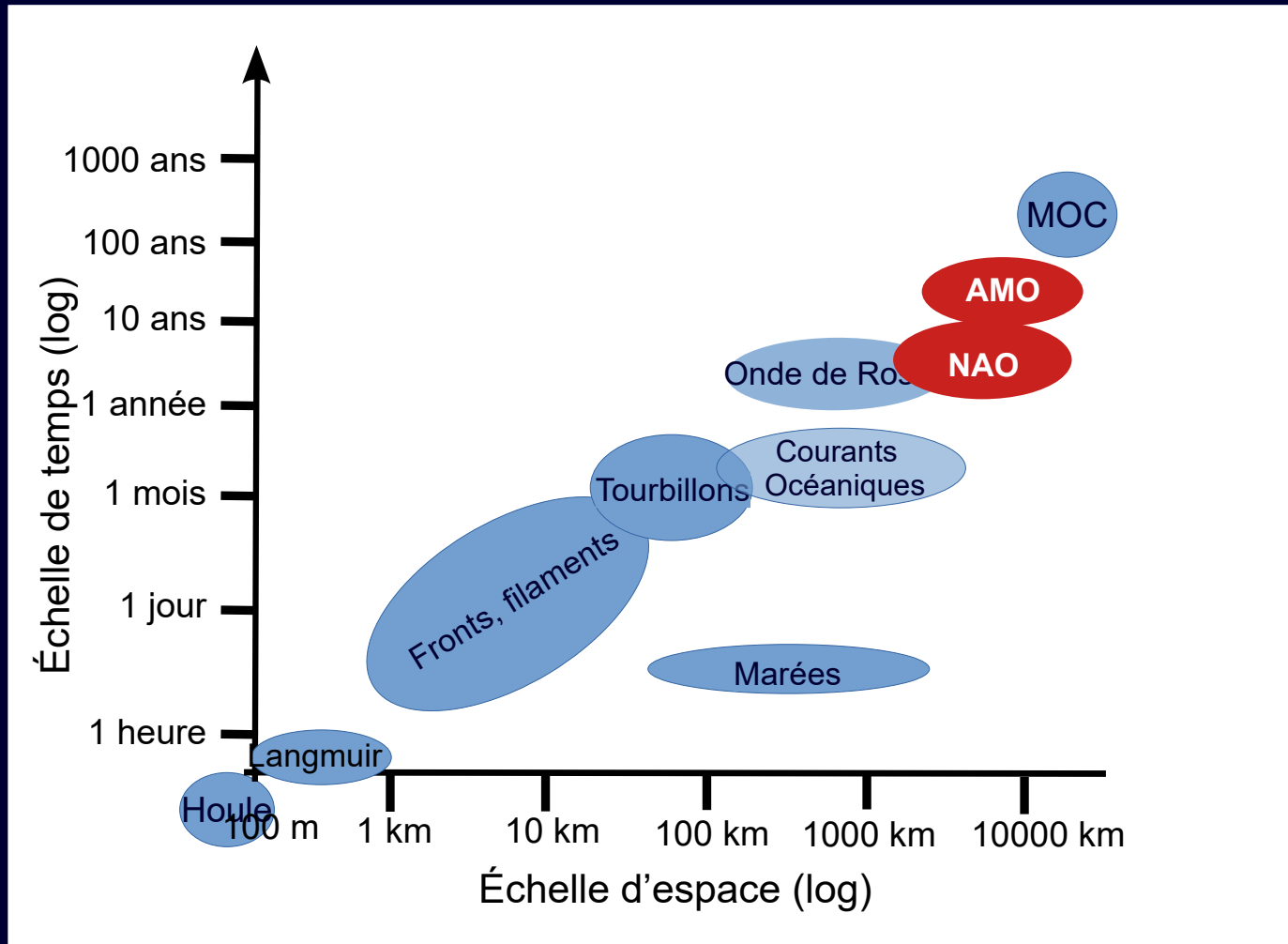


## NÉGATIVE



Comparaison entre l'indice NAO et la température et la salinité de l'eau de mer du Labrador de 1960 - 2005

# AMO : Oscillation atlantique multidécennale

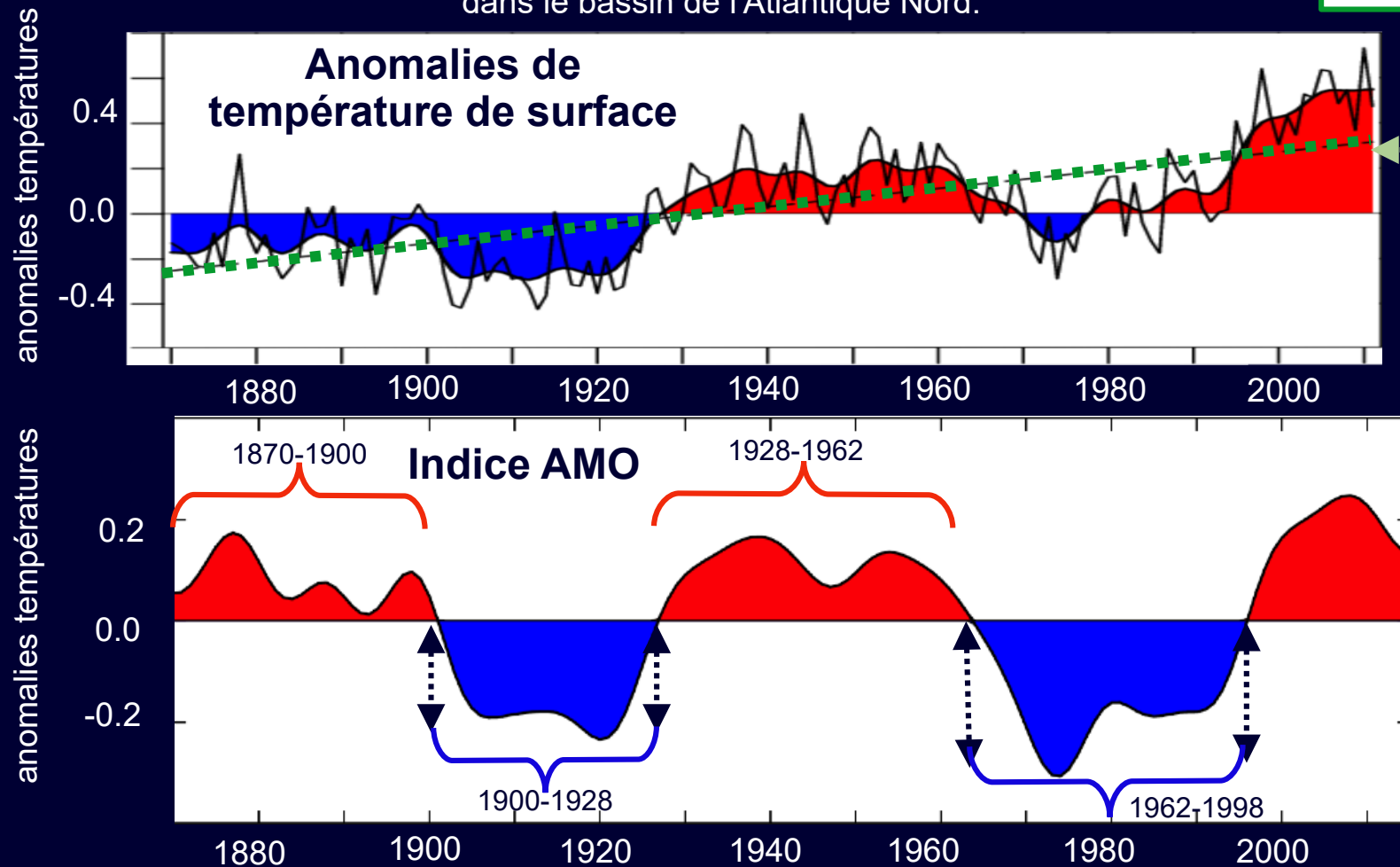


Échelles de temps et d'espace de composants de la dynamique physique de l'océan

# Oscillation atlantique multidécennale

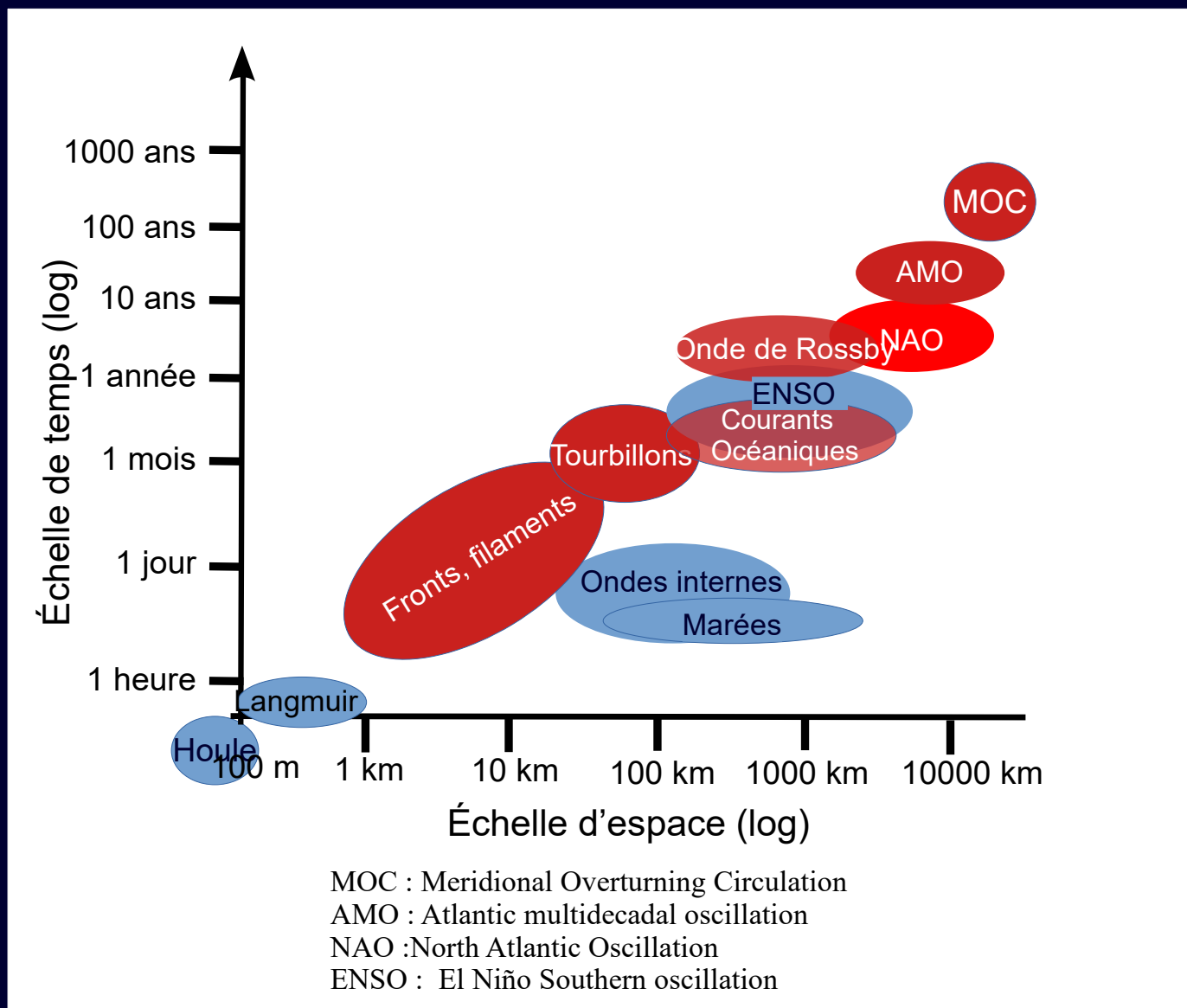
Anomalies moyennes des températures de surface de la mer (SST)  
dans le bassin de l'Atlantique Nord.

Tendance linéaire  
1870 -2015



L'oscillation multidécennale atlantique (AMO) : variabilité naturelle se produisant dans l'océan Atlantique Nord avec une période estimée de 60 à 80 ans.

# Échelles de temps et d'espace dans la dynamique de l'océan



Échelles de temps et d'espace de composants de la dynamique physique de l'océan

## «Autovariation» du système planétaire

Le **système planétaire peut évoluer de manière autonome**, même sans forçages extérieurs.

La disparité des éléments qui le constituent, ainsi que leurs différents temps de réponse, font qu'un état d'équilibre statistique moyen unique ne sera jamais atteint.

**C'est ce qui est appelé l'« autovariation » du système planétaire.**

Ce concept rejoint celui du « **chaos** » en physique, découvert dans les années 1970 par un météorologue américain, **Edward Lorenz**, qui stipule que certains **systèmes physiques interactifs non linéaires**, même simples, **ne convergent pas vers un état d'équilibre unique** mais admettent plusieurs états (appelés « **attracteurs** ») vers lesquels le système physique peut converger.

Il est impossible de prédire, à partir d'une situation donnée (définie par des «conditions initiales» même très précises), vers lequel de ces états le système va évoluer. Le système est susceptible d'osciller naturellement entre plusieurs états possibles.

C'est ce qui explique **l'autovariation du système climatique**, composé de plusieurs milieux qui peuvent interagir de façon très complexe.

Merle, J. Océan et climat. (IRD Éditions, 2006).



Fin de la session 2

## Documents audiovisuels

IPSL. (2018, 29 novembre). Gyres subtropicaux - Gilles Reverdin. [Vidéo]. Canal-U. <https://www.canal-u.tv/73775>.

IPSL. (2018, 29 novembre). Upwellings marins - Alban Lazar. [Vidéo]. Canal-U. <https://www.canal-u.tv/73787>.

IPSL. (2018, 29 novembre). El niño - Alban Lazar. [Vidéo]. Canal-U. <https://www.canal-u.tv/73795>.

IPSL. (2018, 29 novembre). Convection profonde - Formation d'eaux denses - Marie-Noëlle Houssais. Canal-U. <https://www.canal-u.tv/73763>

## Quelques références synthétiques

- Doglioli, A. M. Notes de cours de Introduction à l'Océanographie Physique. (2014). [https://people.mio.osupytheas.fr/~doglioli/Doglioli\\_NotesCours\\_IntroductionOceanographiePhysique.pdf](https://people.mio.osupytheas.fr/~doglioli/Doglioli_NotesCours_IntroductionOceanographiePhysique.pdf)
- Jørgensen, L. L. & at al. The Second World Ocean Assessment II, Volume 1. (2021).
- Jørgensen, L. L. & at al. The Second World Ocean Assessment II, Volume 2. (2021).
- Le Calvé, O. Propriétés Physiques du Milieu Marin Un cours d'introduction à l'océanographie physique. (2002). <http://lecalve.univ-tln.fr/oceano/polycop/poly.pdf>
- Orsi, A. H. & Whitworth, T. I. Hydrographic atlas of the World Ocean Circulation Experiment (WOCE). 1: Southern Ocean. (Southampton Oceanography Center, 2005).
- Koltermann, K. P. et al. Hydrographic Atlas of the World Ocean Circulation Experiment (WOCE) Volume 3: Atlantic Ocean. (National Oceanography Center, 2011).
- Koltermann, K. P. & Talley, L. D. Hydrographic Atlas of the World Ocean Circulation Experiment (WOCE) Volume 4: Indian Ocean. (National Oceanography Center, 2013).
- Talley, L. D., Sparrow, M., Chapman, P. & Gould, J. Hydrographic Atlas of the World Ocean Circulation Experiment (WOCE) Volume 2: Pacific Ocean. (National Oceanography Center, 2007).
- Merle, J. Océan et climat. (IRD Éditions, 2006). doi:10.4000/books.irdeditions.25499.
- L'océan à découvert. (CNRS éditions, 2017).
- Fieux, M. L'océan planétaire. (Les Presses de l'ENSTA, 2010).